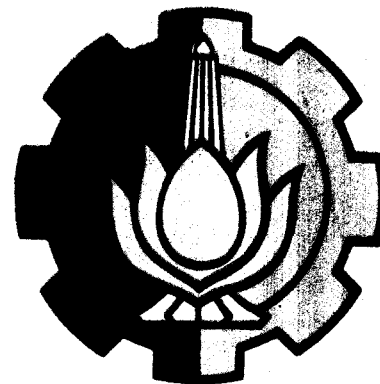


5486/ITS/W/93 ✓

PERPUSTAKAAN	
I T	
Tgl. Terima	18 DEC 1992
TA	
No. P. Edisi	605/6

PERENCANAAN DAN PEMBUATAN ALAT SISTEM PENGATURAN  
LAMPU LALU LINTAS YANG TERKOORDINASI  
DENGAN MENGGUNAKAN MIKROPROSSESOR 8088



PST

625.794 0285

Sol

P-1

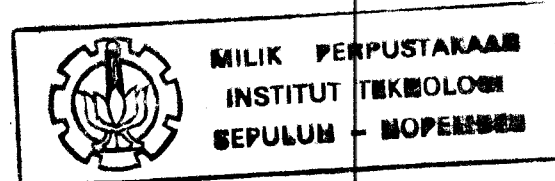
1992

Oleh

Mokhammad Solehuddin

Nrp: 2852200390

JURUSAN TEKNIK ELEKTRO  
FAKULTAS TEKNOLOGI INDUSTRI  
INSTITUT TEKNOLOGI SEPULUH NOPEMBER  
SURABAYA  
1992



**PERENCANAAN DAN PEMBUATAN ALAT SISTEM PENGATURAN  
LAMPU LALU LINTAS YANG TERKOORDINASI  
DENGAN MENGGUNAKAN MIKROPROSSESOR 8088**

**TUGAS AKHIR**

**Diajukan Guna Memenuhi Sebagian Persyaratan  
Untuk Memperoleh Gelar  
Sarjana Teknik Elektro  
Pada  
Bidang Studi Teknik Sistem Pengaturan  
Jurusan Teknik Elektro  
Fakultas Teknologi Industri  
Institut Teknologi Sepuluh Nopember  
Surabaya**

**Mengetahui / Menyetujui  
Dosen Pembimbing**



**DR. Ir. ABDULLAH ALKAFF**

**S U R A B A Y A  
NOPEMBER, 1992**

*kupersembahkan untuk  
Aba dan Emak tercinta  
serta saudara-saudaraku*

## ABSTRAK

---

---

Adanya dua persimpangan atau lebih yang berdekatan dan berurutan dapat menimbulkan kerugian waktu bagi pemakai jalan, bila lampu lalu lintas yang ada tersebut tidak saling mempengaruhi. Untuk mengatasi hal ini, dapat digunakan beberapa sistem pengatur lalu lintas. Salah satu alternatif sistem tersebut adalah lampu lalu lintas sistem progresif dengan menggunakan mikroprosesor 8088 yang dapat mengatur urutan nyala lampu lalu lintas bagi persimpangan-persimpangan tersebut. Dengan sistem tersebut diharapkan kendaraan yang telah melewati satu persimpangan tidak akan terhalang oleh lampu merah pada persimpangan berikutnya.

Untuk dapat mengefektifkan sistem tersebut, maka dipasang suatu detektor kendaraan pada ruas jalan antar persimpangan yang dapat mendeteksi kepadatan kendaraan di ruas jalan tersebut. Yang akhirnya mikroprosesor dapat menentukan offset yang sesuai pada pengkoordinasian antar persimpangan tersebut.

Dengan membuat model lampu lalu lintas sistem progresif tersebut, dapat diketahui perilaku lampu lalu lintas terhadap setiap kondisi kepadatan kendaraan.

---

---

## DAFTAR ISI

BAB	HALAMAN
JUDUL .....	i
PENGESAHAN .....	ii
ABSTRAK .....	iii
DAFTAR ISI .....	iv
DAFTAR GAMBAR .....	viii
DAFTAR TABEL .....	x
KATA PENGANTAR .....	xi
I. PENDAHULUAN .....	1
1.1 Latar Belakang .....	1
1.2 Permasalahan .....	2
1.3 Batas Permasalahan .....	3
1.4 Sistematika Pembahasan .....	4
II. TEORI DASAR SISTEM LALU LINTAS .....	6
2.1 Pendahuluan .....	6
2.2 Penentuan Lama Waktu Nyala Lampu .....	7
2.2.1 Penentuan interval kuning .....	7
2.2.2 Penentuan interval hijau .....	8
2.3 Koordinasi Antar persimpangan .....	10
2.3.1 Sistem sinyal progresip .....	12
III. MIKROPROSESSOR 8088 BESERTA KOMPONEN PENUNJANG .....	16
3.1 Pendahuluan .....	16

BAB	HALAMAN
3.2 Sistem Mikroprosessor .....	16
3.3 Arsitektur Sistem 3 Bus .....	17
3.3.1 Sistem address bus .....	18
3.3.2 Sistem data bus .....	19
3.4 Unit Memory .....	20
3.4.1 Read only memory .....	20
3.4.1.1 Sistem pembacaan data dari ROM .....	21
3.4.2 Random access memory .....	23
3.4.2.1 Sistematika pembacaan data dari RAM .....	23
3.4.2.1 Sistematika penulisan data ke RAM .....	25
3.5 Mikroprosessor 8088 .....	26
3.5.1 Arsitektur mikroprosessor 8088	26
3.5.2 Sistem mode minimum .....	29
3.5.3 Sistem mode maksimum .....	32
3.5.4 Register mikroprosessor 8088 .....	33
3.6 Programable Periperal Interface PPI 8255 .....	38
3.6.1 Blok diagram PPI 8255 .....	39
3.6.2 Pengoperasian PPI 8255A .....	41
3.6.3 Menghubungkan PPI 8255 dengan mikro prosessor 8088 .....	43
3.7 Address Decoding .....	44

BAB	HALAMAN
3.8 Buffering .....	45
IV. PENGAMBILAN DATA DAN PERHITUNGAN .....	47
4.1 Pendahuluan .....	47
4.2 Survey Spot Speed .....	47
4.3 Peramalan Volume Kendaraan .....	48
4.3.1 Faktor pertumbuhan kendaraan .....	48
4.3.2 Penyesuaian volume kendaraan ke tahun 1992 .....	51
4.4 Perhitungan Ekivalensi Volume Kendaraan	53
4.4.1 Persimpangan A .....	53
4.4.2 Persimpangan B .....	54
4.5 Perhitungan Interval Nyala Lampu .....	56
4.5.1 Persimpangan A .....	56
4.5.2 Persimpangan B .....	59
4.6 Pengkoordinasian Antar Persimpangan	60
V PERENCANAAN DAN PEMBUATAN ALAT .....	63
5.1 Pendahuluan .....	63
5.2 Perencanaan CPU 8088 Dalam Minimum Mode	65
5.2.1 Rangkaian clock .....	65
5.2.2 Rangkaian reset .....	66
5.2.3 Buffer .....	67
5.2.4 Control bus .....	67
5.2.5 Rangkaian decoder memory .....	68
5.2.6 Rangkaian decoder unit I/O .....	71

BAB	HALAMAN
5.3 Rangkaian Detektor .....	71
5.4 Rangkaian Keluaran .....	73
5.5 Perencanaan Software .....	73
5.6 Modifikasi Sistem Rancangan .....	74
5.6.1 Modifikasi rangkaian detektor .....	74
5.6.2 Modifikasi rangkaian keluaraan .....	77
5.7 Keadaan Khusus .....	77
VI. KESIMPULAN DAN SARAN .....	79
DAFTAR PUSTAKA .....	81
LAMPIRAN .....	82
LAMPIRAN A .....	82
- Listing Program .....	82
- Gambar dan Rangkaian Alat yang dibuat .....	93
LAMPIRAN B .....	94
- Kecepatan dan Volume Kendaraan .....	94
- Type beberapa Detektor Kendaraan .....	98
LAMPIRAN C DATA SHEET .....	109

## DAFTAR GAMBAR

GAMBAR	HALAMAN
1. 1 SKEMA LOKASI PENELITIHAN .....	3
2. 1 SKETSA RUAS JALAN DENGAN TIGA PERSIMPANGAN .....	13
2. 2 BAGIAN RUAS JALAN .....	14
3. 1 SISTEM MIKROPROSSESSOR .....	17
3. 2 ARSITEKTUR SISTEM 3 BUS .....	18
3. 3 DIAGRAM PEMBACAAN DATA DARI ROM .....	22
3. 4 DIAGRAM PEMBACAAN DATA DARI RAM .....	24
3. 5 DIAGRAM WAKTU PENULISAN DATA DARI ROM .....	25
3. 6 KONFIGURASI PIN 8088 .....	28
3. 7 MODE MINIMUM 8088 MPU .....	30
3. 8 REGISTER MIKROPROSSESSOR 8088 .....	34
3. 9 FLAG REGISTER 8088 .....	37
3.10 BLOK DIAGRAM PPI 8255 .....	40
3.11 FORMAT CONTROL WORD PPI 8255 .....	42
3.12 HUBUNGAN LENGKAP PPI 8255 DENGAN MIKROPROSESOR 8088 .....	44
4. 1 VOLUME KENDARAAN DI LOKASI PENELITIHAN TAHUN 1989 .....	49
4. 2 PENYESUAIAN VOLUME KENDARAAN TAHUN 1992 .....	52
4. 3 EKIVALENSI VOLUME KENDARAAN KE SMP .....	57
5. 1 BLOK DIAGRAM SISTEM YANG DIBUAT .....	64
5. 2 RANGKAIN CLOCK DAN RESET 8284 .....	66

GAMBAR	HALAMAN
5. 3 RANGKAIAN CONTROL BUS .....	68
5. 4 MEMORI MAP SISTEM .....	69
5. 5 RANGKAIAN DECODER ROM .....	69
5. 6 RANGKAIAN DECODER RAM .....	70
5. 7 RANGKAIAN DECODER I/O .....	72
5. 8 RANGKAIAN DETEKTOR KENDARAAN .....	72
5. 9 RANGKAIAN UNTUK MENYALAKAN LAMPU LED .....	73
5.10 FLOW CHART DARI SISTEM YANG DIBUAT .....	75
5.11 RANGKAIAN KELUARAN 8255 DENGAN JALA-JALA PLN	77
5.12 PENANGANAN KEADAAN KHUSUS .....	78

## DAFTAR TABEL

TABEL	HALAMAN
3.1 OPERASI BUS CYCLE MODE MINIMUM .....	31
3.2 OPERASI BUS CYCLE MODE MAKSIMUM .....	33
3.3 STATUS INTRUKSI QUEUE .....	33
3.4 OPERASI REGISTER MIKROPROSESSOR 8088 .....	35
3.5 KEGUNAAN ADDRESS PIN AO, A1, CS .....	41
4.1 FAKTOR EKIVALENSI KENDARAAN .....	53
4.2 INTERVAL NYALA LAMPU PERSIMPANGAN A .....	59
4.3 INTERVAL NYALA LAMPU PERSIMPANGAN B .....	60
5.1 TABEL KEBENARAN DEKODER 74LS139 .....	68
5.2 PERENCANAAN DEKODER ROM .....	70
5.3 PERENCANAAN DECODER RAM .....	70
5.4 ALAMAT PORT 8255 .....	71

## KATA PENGANTAR

Dengan bermacam-macam kesulitan, hambatan-hambatan dan usaha yang tak kenal lelah, akhirnya berkat pertolongan dan rakhmat Allah s.w.t, Tugas Akhir ini dapat diselesaikan yang merupakan syarat utama untuk meraih gelar sarjana pada Jurusan Teknik Elektro Fakultas Teknologi Industri Institut Teknologi Sepuluh Nopember (ITS).

Pada kesempatan ini penulis ingin menyampaikan rasa terima kasih yang sebesar-besarnya kepada :

- Bapak DR. Ir. Abdullah Alkaff selaku dosen wali dan dosen pembimbing yang telah banyak meluangkan waktu dan membantu di dalam menyelesaikan tugas akhir ini.
- Bapak DR. Ir. Mohammad Rameli selaku koordinator bidang studi teknik sistem pengaturan.
- Bapak Ir. Katjuk Astrowulan MSEE selaku ketua jurusan Teknik Elektro Fakultas teknologi Industri - ITS.
- Rekan-rekan mahasiswa dan juga semua pihak yang telah membantu, memberikan saran dan dukungan kepada penulis di dalam menyelesaikan tugas akhir ini.

Sesungguhnya hasil Tugas Akhir ini masih jauh dari sempurna, oleh karena terbatasnya kemampuan dan pengetahuan penulis. Untuk itu saran dan kritik pembaca sangat penulis harapkan.

Akhir kata, besar harapan penulis agar hasil Tugas Akhir ini dapat bermanfaat bagi semua pihak yang membutuhkannya.

Surabaya, Juli 1992

Penulis

## BAB I

### PENDAHULUAN

#### 1.1 Latar Belakang

Perkembangan yang pesat di bidang ekonomi, teknologi dan jumlah penduduk mengakibatkan jumlah sarana dan prasarana yang pesat pula. Tetapi umumnya terjadi ketidak seimbangan antara pertumbuhan sarana dan prasarana transportasi sehingga terjadi peningkatan volume lalu lintas yang tinggi. Sehingga kondisi lalu lintas akan semakin padat yang selanjutnya dapat menimbulkan kemacetan atau bahkan kecelakaan. Penyebab lain terjadi kemacetan lalu lintas ini adalah adanya suatu kecenderungan di kalangan masyarakat tertentu, bahwa mereka lebih senang menggunakan kendaraan pribadi dari pada kendaraan umum.

Permasalahan lalu lintas ini umumnya terjadi di persimpangan jalan. Untuk mengatasi permasalahan lalu lintas di persimpangan tersebut sudah dipasang alat pengatur arus lalu lintas yang dinamakan lampu lalu lintas atau traffic light. Namun lampu lalu lintas yang ada tersebut tidak saling mempengaruhi (tidak terkoordinasi). Sehingga bila ada beberapa persimpangan jalan yang berdekatan laju kendaraan akan banyak mengalami hambatan.

Berhubung dengan hal di atas, ada kemungkinan suatu kendaraan yang telah berhenti di salah satu persimpangan jalan (karena lampu merah menyala) harus berhenti lagi dipersimpangan jalan berikutnya (karena lampu merah juga sedang menyala).

Masalah di atas dapat diatasi dengan menerapkan mikroprosesor untuk mengatur nyala lampu lalu lintas pada daerah tersebut. Hal ini mengingat bahwa mikroprosesor dapat diprogram sesuai dengan karakteristik dinamik dari lalu lintas pada persimpangan-persimpangan di atas.

### 1.2 Permasalahan

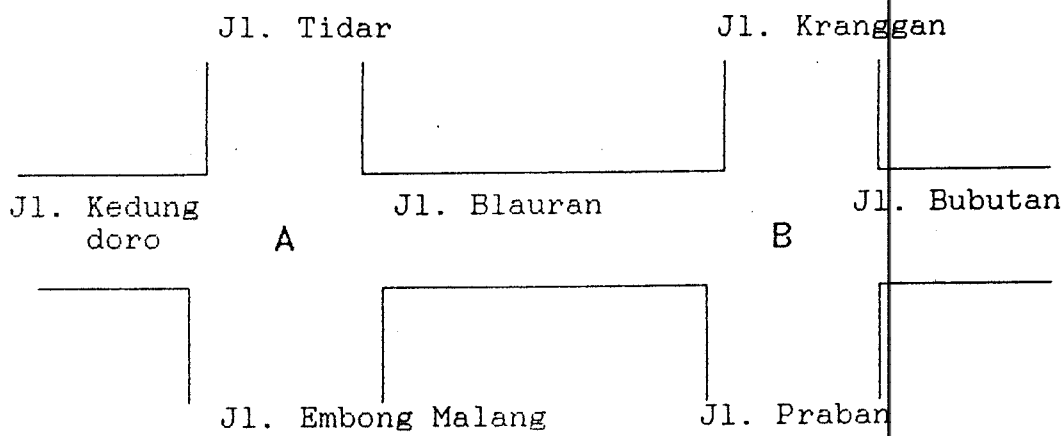
Masalah-masalah di atas harus dapat diatasi sehingga tercipta arus lalu lintas yang lebih lancar. Untuk mengatasi kemacetan lalu lintas pada beberapa persimpangan jalan yang berurutan dan berdekatan, perlu dirancang suatu sistem lampu lalu lintas yang terkoordinasi satu dengan yang lainnya. Pada Tugas Akhir ini akan digunakan sistem progresif yaitu sistem koordinasi beberapa persimpangan yang panjang siklus yang sama, namun phase merah dan hijau dapat bervariasi sesuai dengan kondisi masing-masing. Pengaturan waktu salah satu lampu relatif terhadap lampu berikutnya (yang selanjutnya dinamakan offset), disusun sedemikian rupa sehingga diperoleh gerakan lalu lintas yang kontinyu. Sistem yang dimaksud adalah sistem mikroprosesor yang akan mempunyai keluwesan terhadap kondisi

kepadatan kendaraan pada persimpangan. Yaitu dengan cara memprogram sistem mikroprosesor sesuai dengan karakteristik dinamik dari lalu lintas pada masing-masing persimpangan.

### 1.3 Batas Permasalahan

Untuk menyelesaikan Tugas Akhir ini, pertama-tama harus ditentukan adanya persimpangan yang berurutan dan berdekatan, yang masing-masing persimpangan terdapat lampu lalu lintasnya. Penulis menentukan lokasi penelitiannya di jantung kota Surabaya, yaitu persimpangan jalan Kedungdoro dengan jalan Embong Malang dan persimpangan jalan Blauran dengan jalan Kranggan. Sketsa lokasi penelitian ini diperlihatkan pada gambar 1.1

Jalan Blauran, pada ruas antara titik A dan titik B mempunyai arus lalu lintas satu arah. Sehingga kendaraan yang berasal dari persimpangan A akan langsung menuju persimpangan B.



GAMBAR 1.1 SKEMA LOKASI PENELITIAN

Sedang mengenai perangkat keras yang akan dibuat sebagai inti dari Tugas Akhir ini adalah berupa suatu model lampu lalu lintas. Yaitu dibuat suatu model jalan dengan persimpangannya dengan lampu LED yang berwarna merah, kuning dan hijau.

#### 1.4 Sistematika Pembahasan

Setelah pendahuluan disajikan dalam BAB I ini, akan dijelaskan :

- BAB II : TEORI DASAR SISTEM LALU LINTAS akan diuraikan tentang penentuan lamanya interval hijau, kuning, merah menyalah. Kemudian dilanjutkan pengkoordinasian antar persimpangan.
- BAB III : SISTEM MIKROPROSESSOR, akan dibahas mengenai pembentukan sistem mikroprosesor yang meliputi hardwarnya yaitu mikroprosesor 8088, 3-sistem bus, memory serta komponen utama lainnya.
- BAB IV : PENGAMBILAN DATA DAN PERHITUNGANNYA akan diuraikan mengenai metode pengambilan data volume lalu lintas, kecepatan kendaraan, serta mengenai data lainnya. Kemudian akan dianalisa data tersebut untuk menghitung interval hijau, kuning, merah pada masing-masing persimpangan serta offset dari antar persimpangan.
- BAB V : PERENCANAAN DAN PEMBUATAN ALAT, akan dibahas

mengenai hardware dan softwarenya.

- BAB VI : KESIMPULAN, akan dibahas mengenai kesimpulan-kesimpulan yang didapat setelah mengerjakan Tugas Akhir.

## BAB II

### TEORI DASAR SISTEM LALU LINTAS

#### 2.1 Pendahuluan

Beberapa istilah yang sering digunakan pada sistem lalu lintas di antaranya<sup>1</sup> :

- a. Kapasitas yaitu jumlah maksimum kendaraan yang melewati suatu ruas jalan atau jalur dalam satu atau dua arah selama periode normal.
- b. Kecepatan yaitu tingkat pergerakan lalu lintas kendaraan atau komponen lalu lintas lainnya yang dinyatakan dalam jarak per waktu.
- c. Kepadatan yaitu jumlah kendaraan yang menggunakan suatu ruas jalan atau jalur tertentu. Yang dinyatakan dalam kendaraan per panjang.
- d. Cycle time (cycle length) yaitu waktu yang dibutuhkan untuk nyala lampu satu urutan secara lengkap. Dinyatakan dalam detik.
- e. Traffic phase yaitu sebagian dari cycle yang menetapkan waktu dari tiap phasenya.
- f. Interval yaitu sebagian dari traffic phase yang menentukan lamanya sebuah lampu menyala.

<sup>1</sup>. HAPPY BUDHIATI, Studi Dua Persimpangan Kusuma Bangsa, tugas akhir Sipil ITS 1987, hal 19.

Di Jalan

- g. Interval kuning sering disebut interval peringatan yaitu waktu nyala lampu kuning yang mengikuti interval hijau sebelum interval merah.
- h. Delay yaitu waktu yang hilang pada saat lalu lintas tertahan atau terhambat oleh beberapa elemen. Di mana pengemudi tidak dapat menguasainya.

## 2.2 Penentuan Lama Waktu Nyala Lampu

Pada umumnya, warna lampu yang dipakai untuk lampu lalu lintas (dari bawah ke atas atau dari kiri ke kanan) adalah HIJAU-KUNING-MERAH. Warna merah berarti kendaraan dilarang masuk persimpangan, warna kuning berarti peringatan bagi pengendara bahwa lampu hijau akan segera berganti merah dan warna hijau berarti kendaraan diperbolehkan berjalan menuju persimpangan.

### 2.2.1 Penentuan interval kuning

Dalam sistem lalu lintas diperlukan interval kuning ini karena :

- a. Mengisyaratkan kepada pengemudi bahwa interval hijau telah berakhir dan supaya berhenti dengan hati-hati, karena lampu merah segera akan menyala.
- b. Mempersilakan kendaraan yang tepat atau sebelum lampu kuning menyala, menyeberang persimpangan dan selama lampu kuning menyala kendaraan-kendaraan ini telah sampai di phase seberangnya. Sehingga tidak mengganggu kendaraan-kendaraan yang akan berjalan dari phase yang lainnya.

Dalam hal ini, interval kuning sering disebut interval pembersihan artinya persimpangan dibersihkan terhadap kendaraan.

Interval lampu kuning ini diberikan oleh rumus <sup>2</sup>:

$$t_a = t_d + \frac{U}{2a^2} + \frac{W+L}{U} \quad 2.1$$

dengan :  $t_a$  = interval waktu kuning (detik)

$t_d$  = waktu reaksi dari pengemudi (detik)

$U$  = kecepatan rata-rata (meter per detik)

$W$  = lebar persimpangan jalan (meter)

$L$  = panjang kendaraan (meter)

$a$  = perlambatan kendaraan (meter per detik <sup>2</sup>)

### 2.2.2 Penentuan interval hijau

Interval hijau dari kendaraan yang bergerak melintasi persimpangan dapat ditentukan dari panjang siklus dikurangi total waktu yang hilang terjadi pada kendaraan pertama melewati persimpangan, sehingga setiap fasanya waktu yang hilang adalah <sup>3</sup> :

$$K = k_1 + k_2 \quad 2.2$$

dimana :  $K$  = total waktu yang hilang (detik)

$k_1$  = waktu yang hilang saat mulai berjalan  
(detik)

<sup>2</sup>. MARTIN WOHL AND BRIAN V. MARTIN, Traffic analysis, McGRAW-HILL BOOK COMPANY, 1967, hal 447

System

<sup>3</sup>. Ibit, hal. 450

$k_2$  = waktu yang hilang saat menunggu kendaraan terakhir melintasi persimpangan (detik)

Harga  $k_1$  dapat diambil secara pendekatan yaitu sebesar 3,7 detik untuk setiap phasenya tetapi  $k_2$  tergantung pada kecepatan kendaraan, lebar persimpangan dan panjang kendaraan. Secara umum, total interval hijau yang efektif adalah<sup>4</sup> :

$$G_E = C - \sum_i^p k_i \quad 2.3$$

dengan :  $G_E$  = total interval hijau efektif (detik)

$C$  = panjang siklus

$k_i$  = total waktu yang hilang pada phase ke  $i$  (detik)

$p$  = jumlah phase

Total interval hijau yang efektif ini dapat dihasilkan dengan merencanakan volume lalu lintas setiap phasenya. Untuk distribusi  $G_E$  yang proporsional, phase hijau total (termasuk interval kuning) dapat diperoleh dari rumus<sup>5</sup> :

$$G_i = \frac{Dv_i}{Dv} G_E + k_i \quad 2.4$$

dengan :  $G_i$  = panjang waktu nyala hijau dan kuning pada phase ke  $i$ .

<sup>4</sup>, ibid, hal 451

<sup>5</sup>, ibid, hal 451

$D_{Vi}$  = volume total kendaraan pada phase ke i

$D_V$  = jumlah total volume kendaraan pada semua phase

Setelah waktu nyala lampu kuning dan hijau dapat ditentukan, maka nyala lampu merah dapat ditentukan yaitu sama dengan panjang siklus dikurangi dengan jumlah waktu nyala lampu kuning dan hijau.

### 2.3 Koordinasi Antar Persimpangan

Pada umumnya, setiap persimpangan utama dikontrol dengan lampu lalu lintas terutama pada pertemuan yang volume kendaraannya sangat tinggi. Sehingga kendaraan-kendaraan yang akan berubah arah perjalanan akan mengalami kesukaran, kecuali ada sinyal lalu lintas yang mengatur. Terkadang jarak antar persimpangan ini sangat berdekatan letaknya, sehingga kita dapat menganggap kendaraan-kendaraan yang melewati jalan antar persimpangan tersebut merupakan suatu kelompok kendaraan.

Untuk mendapatkan arus lalu lintas yang lancar, tidak cukup hanya dengan pengaturan setiap persimpangan, arus lalu lintas yang lancar dan menerus belum diperoleh. Oleh karena itu, adalah sangat penting untuk mengkoordinasikan lampu lalu lintas yang mempunyai jarak yang relatif dekat, sehingga dapat mengurangi delay.

Beberapa kegunaan pengaturan dari pada pengkoordinasi antar persimpangan antara lain :

1. meningkatkan kapasitas

2. mengurangi delay dan kemacetan
3. mengurangi dan mencegah kecelakaan
4. meningkatkan keamanan pemakai jalan
5. meningkatkan perawatan jalan

Pada daerah perkotaan di mana terdapat banyak persimpangan dan arus lalu lintasnya berurutan, maka dapat diterapkan beberapa koordinasi lampu lalu lintas yaitu<sup>6</sup> :

- a. Sistem simultan : Pada sistem ini semua lampu lalu lintas sepanjang jalan akan menyala dengan warna yang sama dalam waktu yang bersamaan. Di samping itu panjang siklusnya juga sama. Sistem ini sangat cocok, untuk jarak antar persimpangan yang sangat dekat serta pada kecepatan yang tinggi.
- b. Sistem bergantian (alternate sistem) : Pada sistem ini satu group (rangkaian) lampu lalu lintas akan menyala merah, yang berikutnya menyala hijau dan seterusnya, sepanjang jalan tersebut. Sistem ini dapat menjadikan gerakan lalu lintas berjalan secara kontinyu. sistem ini efektif untuk dua jalan utama yang berpotongan dengan split 50-50 dan dengan kecepatan rencana  $U = 2S/C$ .
- c. Sistem progresip (progresive sistem) : Sistem ini dapat dipergunakan untuk persimpangan jalan yang berurutan.

---

<sup>6</sup>). HAPPY BUDIHATI, op. cit, hal 40

Masing-masing persimpangan akan mempunyai panjang siklus yang sama, namun interval merah dan hijau dapat bervariasi sesuai dengan kondisi masing-masing. Pengaturan waktu salah satu lampu relatif terhadap lampu berikutnya (yang selanjutnya dinamakan offset), disusun sedemikian rupa sehingga diperoleh gerakan lalu lintas yang kontinyu. Dengan sistem ini memungkinkan untuk menyingkronisasi jalan dua arah yang mempunyai jarak blok dan kecepatan kendaraan yang berbeda.

#### 2.3.1 Sistem sinyal progresip

Seperti yang telah dijelaskan di bagian awal dari sub bab ini, bahwa terdapat berbagai macam sinyalisasi lalu lintas di persimpangan jalan. Namun, sesuai dengan penelitian tugas akhir ini hanya akan dibahas sistem sinyal progresip saja.

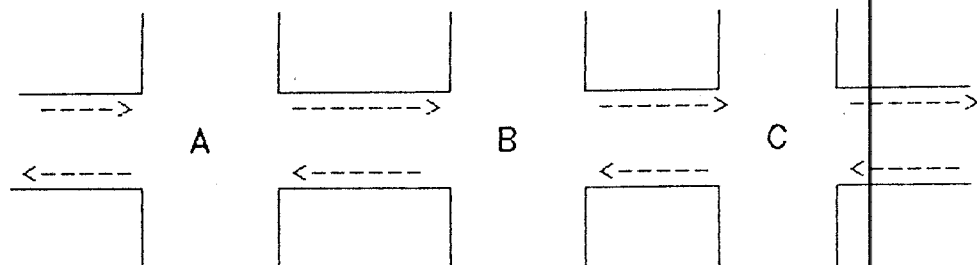
Pada kondisi lalu lintas yang padat, adanya lampu lalu lintas cenderung untuk membentuk kendaraan-kendaraan itu menjadi group-group yang diberi istilah platoon (peleton) dengan headway yang uniform. Bila pada suatu jalan mayor terdapat banyak persimpangan, maka dapat diusahakan agar peleton kendaraan tersebut dapat berjalan secara kontinyu setiap kali melewati persimpangan, yaitu dengan jalan menerapkan sistem sinyal progresip bagi lampu lalu lintas di daerah tersebut.

Keuntungan sistem ini bila dibandingkan dengan sistem individual adalah :

- waktu tunda (delay) dapat diperkecil sehingga perjalanan lebih singkat.
- jumlah pemberhentian akan berkurang
- kecepatan kendaraan dapat ditingkatkan

Pada umumnya, sistem lalu lintas terkoordinasi semacam ini akan beroperasi dengan baik apabila laju kendaraan pada jalan mayor lebih dominan bila dibandingkan dengan jalan minor. Dan jumlah kendaraan yang masuk ke jalan mayor tersebut relatif kecil.

Gambar 2.2 di bawah memperlihatkan sketsa ruas jalan dengan tiga buah persimpangan yang berdekatan. Arus lalu lintas pada ruas jalan ini mempunyai dua arah yaitu A ke C dan dari C ke A.



GAMBAR 2.1

#### SKETSA RUAS JALAN DENGAN TIGA PERSIMPANGAN

Misalnya interval "hijau" dimulai dari persimpangan A, yang juga dijadikan sebagai referensi waktu. Namun harus diberikan jarak waktu terhadap waktu referensi. Jarak waktu ini dinamakan "offset"(T). Offset ini akan bergantung pada jarak antar persimpangan yang berurutan

(S) dan berbanding terbalik dengan kecepatan kendaraan (U)  
yang dirumuskan<sup>7</sup>:

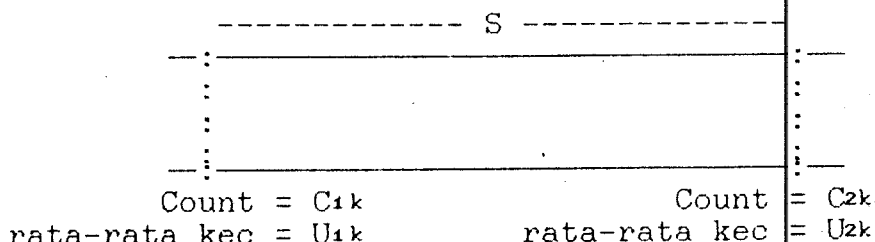
$$T = \frac{S}{U} \quad 2.5$$

di mana : T = offset (detik)

S = jarak antar persimpangan (meter)

U = kecepatan kendaraan (m/det)

Sedangkan kecepatan kendaraan pada suatu ruas jalan akan ditentukan oleh kepadatan kendaraan pada ruas jalan tersebut. Perhatikan gambar 2.2 di bawah ini, bagian ruas jalan sepanjang S meter pada saat t = kT jumlah kendaraan Y(k) yang ada pada bagian jalan tersebut. Untuk mengetahui Y(k) ini digunakan dua set detektor, satu pada bagian masuk untuk menghitung kendaraan C<sub>1k</sub> dan kecepatan U<sub>1k</sub> yang masuk pada bagian ini dalam waktu interval T detik antara kT - k+1T.



GAMBAR 2.2 BAGIAN DARI RUAS JALAN

Sedangkan bagian yang lain menghitung jumlah kendaraan C<sub>2k</sub> dan kecepatan U<sub>2k</sub> yang meninggalkan bagian ruas jalan

tersebut dalam interval yang sama t detik. Sehingga ada hubungan antara  $Y(k+1)$  dan  $Y(k)$  yaitu <sup>8</sup>:

$$Y(k+1) = Y(k) + C_1k - C_2k + W(k) \quad 2.6$$

di mana  $W(k)$  merupakan white noise yang disebabkan oleh kekurangtelitian detektor. Selanjutnya hubungan kecepatan rata-rata dan kepadatan lalu lintas dirumuskan sebagai berikut <sup>9</sup>:

$$U(k) = b_k e^{-[Y(k)/a_k S]^2} + n(k) \quad 2.7$$

di mana kepadatan diberikan dengan  $Y(k)/S$ ,  $a_k$  dan  $b_k$  adalah dua parameter yang diestimasi dan  $n(k)$  adalah white noise.

8.

MISCHA SCWARTZ, LEONARD SHAW, Signal  
Discrete Spectral Analysis, Detection and  
MC.Graw-Hill Inc 1975, hal 380.

Processing,  
estimation,

9.

Ibid. hal 381

### BAB III

#### MIKROPROSESSOR 8088 BESETA KOMPONEN PENUNJANG

---

##### 3.1 Pendahuluan

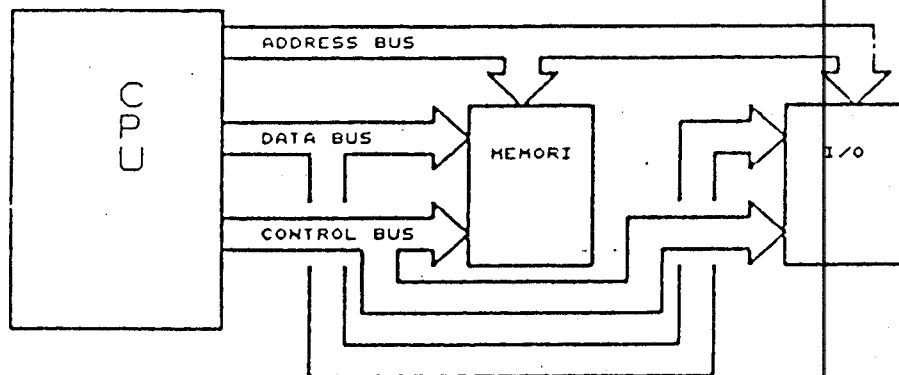
Pada bab ini akan dibahas mengenai sistem mikroprosesor 8088 sebagai unit pengendali beserta komponen-komponen penunjang dari alat yang dibuat, yaitu meliputi mikroprosesor 8088, arsitektur sistem 3 bus, EPROM, RAM, programmable periperal interface (PPI) 8255.

##### 3.2 Sistem Mikroprosesor

Sebuah mikroprosesor adalah merupakan produk dari teknologi LSI yang menghasilkan implementasi CPU dalam satu serpih. Dan sebuah Sistem Mikroprosesor adalah implementasi dari sebuah mikroprosesor (CPU) atau lebih dengan ditunjang oleh beberapa unit fungsional yang lain. Sebuah Sistem Mikroprosesor yang sederhana terlihat dalam gambar 3.1 terdiri atas :

- Unit pengolah pusat (CPU, Central Processing Unit) dalam sebuah chip tunggal yang di dalamnya terdapat ALU (Arithmatic Logic Unit) yang melakukan perhitungan dan unit pengendali yang berfungsi untuk menyerempakkan operasi sistem serta register-register internal.
- Unit Memory yang berfungsi untuk menyimpan informasi.

- Unit Input-Output (I/O) yang berfungsi untuk komunikasi dengan dunia luar.



GAMBAR 3.1 SISTEM MIKROPROSESSOR

Antara unit-unit diatas direalisasikan dalam arsitektur sistem 3 bus yaitu:

- Sistem address bus
- Sistem data bus
- Sistem control bus

### 3.3 Arsitektur Sistem 3 Bus

Sistem bus didefinisikan sebagai kumpulan dari jalur-jalur sinyal yang mempunyai hubungan fungsi dengan mikroprosesornya. Dan dikelompokkan berdasarkan fungsinya di mana mempunyai fungsi sebagai penghubung dalam suatu sistem yang terlihat dalam gambar 3.2.

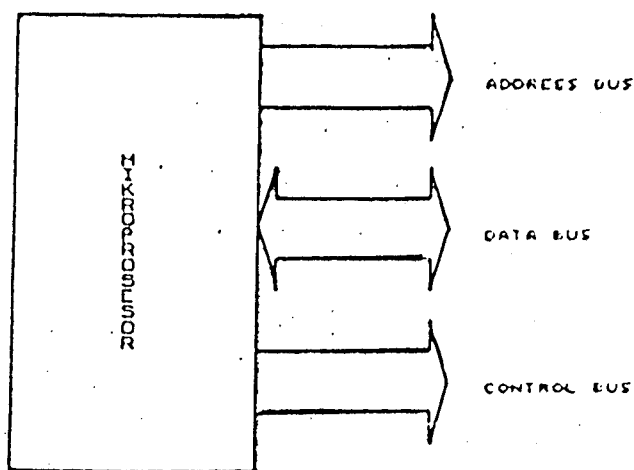
Sinyal-sinyal yang terdapat pada mikroprosesor 8 bit dapat digolongkan menjadi 3 buah system bus, yakni:

1. Sistem Address Bus.

2. Sistem Data Bus.

3. Sistem Kontrol Bus.

Karena terdiri dari 3 buah sistem bus maka disebut arsitektur sistem 3 bus.



GAMBAR 3.2 ARSITEKTUR SISTEM 3 BUS<sup>10</sup>

### 3.3.1 Sistem address bus

Address bus digunakan untuk mentransmisikan alamat ke dalam lokasi memory atau peranti I/O yang memungkinkan pentransferan data. System address bus merupakan pin output dari mikroprosesor yang akan dihubungkan dengan bus data. Karena address bus merupakan pin output maka hanya

<sup>10</sup>, JAMES W. COFFRON, Practical Hardware Detail for 8080, 8085, Z80 dan 6800, Prentice-Hall Inc. 1981 hal 5

mempunyai satu arah saja (Undirectional). Pada mikroprosesor 8 bit seperti 8088 bus alamat adalah 20 bit yang memungkinkan pengiriman sampai 1024 kbyte ( $2^{20}$ ) lokasi alamat ekstern. Pada delapan bit address yang mempunyai orde rendah digunakan untuk menentukan lokasi I/O, maka untuk I/O hanya dapat mempunyai lokasi sebanyak  $2^8 = 256$  lokasi. Bus alamat digunakan dalam hubungannya dengan bus data untuk menentukan sumber atau tujuan data yang dikirim pada data bus.

### 3.3.2 Sistem data bus

Sistem data bus merupakan sekumpulan jalur yang berfungsi untuk mengirim sinyal data menuju sistem memory dan ke sistem I/O, sebaliknya dari sistem memory atau I/O ke mikroprosesor. Jadi data bus bersifat dua arah (bidirectional).

Akan tetapi meskipun data bus bersifat bidirectional, dalam waktu yang bersamaan tidak dapat digunakan untuk mengirim dan menerima data. Jadi sinyal hanya dapat dikirim atau diterima pada satu arah saja pada satu saat.

CPU 8088 dilengkapi dengan delapan data biner yang diberi simbol D0-D7 di mana D0 adalah least significant bit sedang D7 adalah most significant bit. Data bus secara serentak membawa data valid dalam 8 bit atau data 1 byte dan oleh karena itu CPU 8088 disebut sebagai mikroprosesor 8 bit.

### 3.3.3 Sistem Kontrol Bus

Sistem kontrol bus pada mikroprosesor mempunyai empat buah sinyal yang mempunyai fungsi sama yaitu sebagai kontrol pada mikroprosesor. Keempat sinyal tersebut adalah

1. Memory Read (MEMR)
2. Memory Write (MEMW)
3. I/O Read (IOR)
4. I/O Write (IOW)

Kontrol bus ini merupakan sinyal output yang bersifat satu arah (Unidirectional). Sinyal MEMR aktif menunjukkan bahwa mikroprosesor sedang membaca data dari memory, bila sinyal MEMW aktif menunjukkan bahwa mikroprosesor sedang menulis data ke memory sedang untuk IOR dan IOW menyatakan bahwa mikroprosesor sedang menerima atau mengirim data ke peralatan luar. Dengan demikian fungsi sinyal kontrol adalah untuk menentukan hubungan kerja antara mikroprosesor dengan memory atau I/O baik kondisi Read atau Write.

### 3.4 Unit Memory

Memory merupakan tempat penyimpanan informasi yang dapat berupa data atau instruksi bagi suatu sistem mikroprosesor. Memory menurut fungsinya terdapat dari dua jenis, yaitu : ROM (Read Only Memory) dan RAM (Random Acces Memory).

#### 3.4.1 Read only memory

Dalam sistem mikroprosesor diperlukan suatu memory

untuk menyimpan data yang sulit untuk dihapus (nonvolatile), di mana data yang terdapat pada memory tersebut tidak akan hilang bila power supply dari sistem dimatikan. Begitu isi memory ini ditentukan oleh proses rakitan, maka isinya tidak dapat lagi dirubah. Isinya dapat dibaca tetapi tidak dapat diisi dengan program baru. Karena ROM isinya tidak mudah dihapus (nonvolatile) maka ROM dipakai untuk menyimpan program-program utama. Ada beberapa jenis dari memory yang bersifat non-volatile yang digunakan dalam suatu sistem mikroprosesor, yaitu <sup>11</sup>:

1. Read Only Memory (ROM)
2. Programable Read Only Memory (PROM)
3. Erasable Programable Read Only Memory (EPROM)
4. Electricity Alternate Read Only Memory (EAROM)

Untuk PROM, EPROM dan EAROM data atau informasi dimasukkan dalam memory chip dengan suatu alat yang dapat memberikan pulsa tegangan yang cukup tinggi ke dalam sel-sel memory chip. Pada EPROM informasi yang telah disimpan masih dapat dihapus dengan memberikan sinar ultraviolet dengan intensitas tertentu pada window dari IC pada EPROM.

#### 3.4.1.1 Sistematika pembacaan data dari ROM

Gambar 3.3 menunjukkan diagram waktu untuk urutan

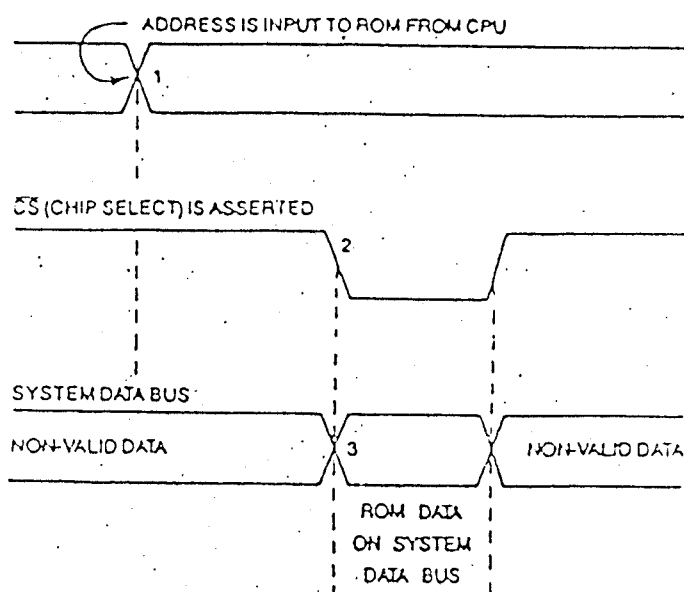
<sup>11</sup>, JAMES W. COFFRON, Z80 Applications, Sybex,  
hal. 1

Inc. 1983,

pembacaan data dari ROM.

Urutan-urutan proses pembacaan data dari ROM adalah sebagai berikut<sup>12</sup> :

1. CPU memberikan input address kepada ROM sesuai dengan lokasi yang akan dibaca .
2. CPU menunggu untuk selang waktu tertentu berkisar antara 100-840 nano detik. Selang waktu ini diperlukan oleh rangkaian didalam ROM untuk mengkode address yang diterima dan data bus berada dalam keadaan siap menerima data.



GAMBAR 3.3 DIAGRAM WAKTU PEMBACAAN DATA DARI ROM<sup>13</sup>

12. Ibid. hal. 5

13. Ibid. hal. 30

3. Signal chip select diaktifkan, maka data akan dikirim dari memory ke data bus.
4. Sinyal chip select tidak diaktifkan untuk meniadakan data dari ROM pada data bus, sehingga alamat dan jalur data pada ROM pada keadaan impedansi tinggi.

#### **3.4.2 Random access memory**

RAM merupakan sistem memory yang menyimpan data hanya untuk sementara (volatile), karena bila power supply dimatikan maka data yang disimpan akan hilang. Dinamakan Random Access Memory karena lokasi manapun dapat dicapai secara langsung dengan menempatkan inputnya.

Terdapat dua jenis memory RAM yang digunakan untuk menyimpan data yaitu :

- a. Static RAM
- b. Dynamic RAM

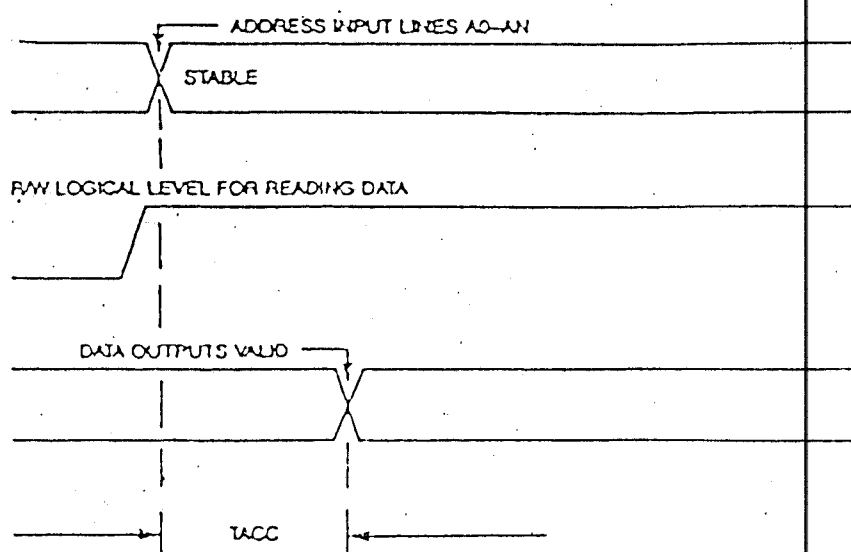
Static RAM dapat menyimpan data dan tetap stabil untuk selamanya selama daya tidak dimatikan, sedangkan Dynamic RAM harus diberi refresh cycle agar informasi dapat dipertahankan. Dalam perencanaan Tugas Akhir ini digunakan type RAM Static 6116 yang berkapasitas  $2048 \times 8$  bit sebagai tempat untuk menyimpan data sementara.

##### **3.4.2.1 Sistematika pembacaan data dari RAM**

Urutan-urutan sinyal yang diperlukan untuk membaca

data dari RAM sebagai berikut <sup>14</sup>:

1. Memory menerima address yang menentukan lokasi tertentu. Rangkaian decoder dalam RAM memilih elemen manakah yang harus diaktifkan.
2. Sinyal MEMR (Memory read) menjadi aktif dan memory langsung menerima sinyal ini.
3. Sistem menunggu dalam selang beberapa waktu tertentu (Read Access Time) sampai rangkaian di dalam RAM menjadi stabil.



GAMBAR 3. 4 DIAGRAM PEMBACAAN DATA DARI RAM 15

<sup>14</sup>, Ibid. hal. 30

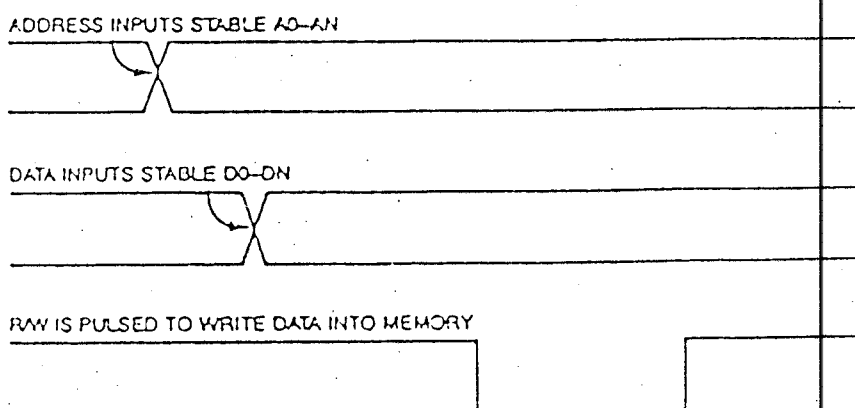
<sup>15</sup>, Ibid 30

4. Data akan dikirim dari memory ke data bus dan akan di-terima oleh mikroprosesor. Jika mikroprosesor terlalu cepat mengaktifkan sinyal chip select (tidak menunggu Read Access Time), maka mikroprosesor akan mendapat data yang salah.

### 3.4.2.2. Sistematika penulisan data ke RAM

Diagram waktu penulisan data ke RAM, seperti ditunjukkan dalam gambar 3.5, di mana proses penulisannya sebagai berikut<sup>16</sup>:

1. Address dari data yang akan ditulis dimasukkan ke dalam address dari memory yang sesuai dengan lokasi yang ditentukan.



GAMBAR 3.5 DIAGRAM WAKTU PENULISAN DATA DARI RAM<sup>17</sup>

<sup>16</sup>, ibid. hal. 31

<sup>17</sup>, ibid. hal. 31

2. Data yang akan diisi ke memory diletakkan ke data bus.
3. Mikroprosesor menunggu untuk selang waktu tertentu (Write Access Time) sampai rangkaian dalam RAM menjadi stabil.
4. Setelah Write Access Time, maka sinyal memory write diaktifkan sehingga data yang terdapat pada input RAM tertulis ke dalam elemen penyimpan pada RAM.

### **3.5 Mikroprosessor 8088**

Mikroprosesor ini diproduksi dengan menggunakan teknologi High Performance Metal Oxide (HMOS) dan dalam rangkaianya ekivalen dengan 29000 transistor yang dikemas dalam bentuk IC 40 pin.

Mikroprosesor 8088 adalah hasil perubahan dari mikroprosesor 8086 yang pertama kali diperkenalkan oleh intel pada tahun 1979. Perbedaan antara mikroprosesor 8088 dengan mikroprosesor 8086 adalah arsitektur hardware dalamnya. Seperti 8086, mikroprosesor 8088 jumlah jalur bit internalnya adalah 16 bit, tetapi jumlah jalur bit data bus externalnya sebanyak 8 bit sedangkan mikroprosesor 8086 sebanyak 16 bit.

Keterangan untuk arsitektur internal dan untuk masing-masing pin, baik input maupun output beserta fungsinya, akan dijelaskan pada penjelasan-penjelasan berikut.

#### **3.5.1 Arsitektur mikroprosesor 8088**

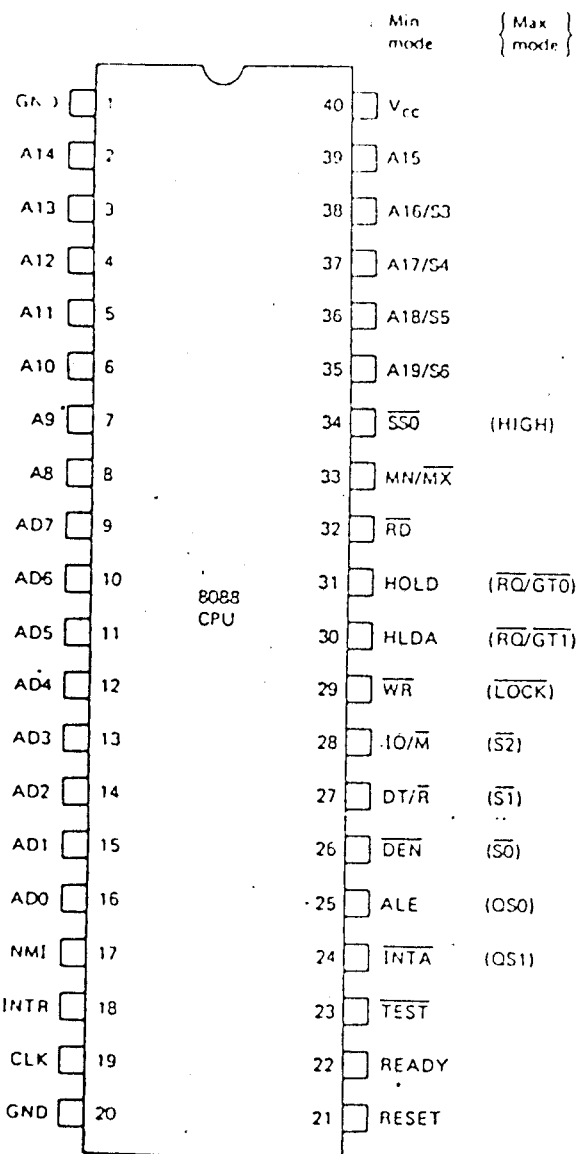
Konfigurasi pin diagram dari mikroprosesor 8088

dapat dilihat pada gambar 3.6. terlihat bahwa beberapa pin mempunyai fungsi ganda seperti address A0 - A7 yang dimultiplex dengan data D0 - D7.

Berikut di bawah ini diberikan penjelasan singkat dari pin-pin 8088 baik dalam mode minimum maupun dalam mode maksimum.

- ADO-AD7 berfungsi sebagai jalur address dan data yang bekerja secara multiplex. Jalur ini bekerja sebagai address (A0-A7) pada bus cycle yang pertama (T), dan pada bus cycle yang berikutnya (T2, T3 dan T4) jalur ini akan berfungsi sebagai jalur data.
- A8-A15 (Address Bus) berfungsi sebagai address bus.
- A16/S3-A19/S6 (Address/Status) berfungsi sebagai jalur address dan status yang bekerja secara multiplex. selama bus cycle yang pertama (T1), jalur ini berfungsi sebagai adres (A16-A19) untuk operasi memory, selama operasi memory, jalur ini akan low. Untuk bus cycle berikutnya jalur ini berfungsi sebagai penunjuk status dari 8088.
- RD (Read) disebut sebagai Read Strobe, bilamana aktif berarti mikroprosesor sedang melaksanakan membaca isi memory atau melakukan pembacaan isi port. Jika IO/M berlogika 0 berarti sedang membaca memory, tetapi jika IO/M 1 berarti membaca port.
- READY berfungsi sebagai isyarat permintaan (acknowledge) dari port atau memory yang akan dibaca isinya oleh mikroprosesor, bahwa pembacaan dapat dilangsungkan. Signal ini aktif "high".

- RESET, digunakan untuk mereset mikroprosesor (input aktif low).



GAMBAR 3.6 KONFIGURASI PIN 8088 <sup>18</sup>

- TEST, merupakan input aktif low, pin ini akan dianalisa

<sup>18</sup>. AVTAR SINGH dan W.A. TRIBLE, The 8088 Microprocessor Programming Interfacing, Software Hardware And Application, Prentice Hall Inc. 1988 hal 22.

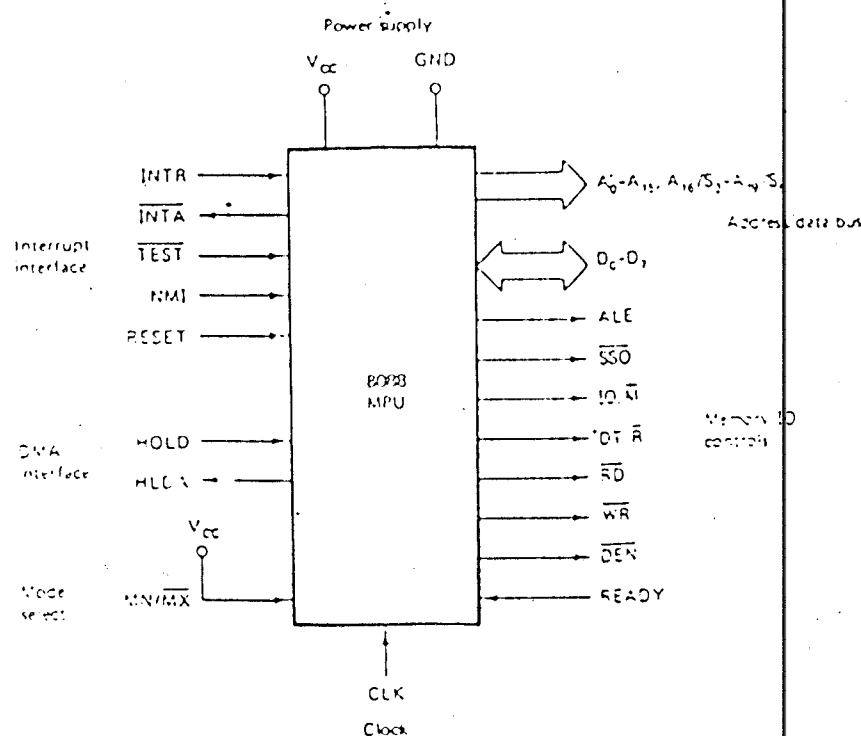
oleh intruksi 'wait for test' jika saat analisa kondisi pin ini low, maka instruksi akan dilanjutkan, tetapi jika kondisinya high, 8088 akan menunggu sampai pin TEST menjadi low.

- NMI, merupakan jenis interupt yang berasal dari hardware dan interrupt ini tidak dapat dicegah sama sekali. Program induk dalam keadaan apapun akan ditinggalkan untuk melanyani interrupt NMI.
- INTR, sinyal ini merupakan sinyal masukan yang berupa isyarat permintaan interup ke mikroprosesor 8088 dari perangkat keras atau di luar mikroprosesor 8088.
- CLK, clock merupakan input clock dari 8088 dan bus controller. Bentuk pulsa harus memiliki rise time minimal 10 nano detik.
- Vcc, merupakan pin power supply. Besar tegangan input yang diberikan pada pin ini adalah +5 Volt dengan toleransi 10 %.
- GND. dihubungkan dengan ground.
- MN/MX, merupakan pin yang menyatakan mode operasi mikroprosesor 8088. Jika input ini low, maka mikroprosesor akan beroperasi dengan mode maksimum. Sebaliknya jika input pin ini berlogika high, maka mikroprosesor 8088 beroperasi dengan mode minimum.

### 3.5.2 System mode minimum.

Mikroprosesor 8088 dapat dioperasikan pada sistem mode minimum dengan cara memberikan logika 1 pada pin

MN/MX. Pada operasi mode minimum, mikroprosesor 8088 mengendalikan sepenuhnya sinyal kontrol yang diperlukan pada operasi memory dan I/O.



GAMBAR 3.7 MODE MINIMUM 8088 MPU

Berikut ini akan dijelaskan pin-pin 8088 bila dioperasikan dalam mode minimum. Sedangkan blok diagram mode minimum 8088 MPU diberikan pada gambar 3.7 di atas.

- HOLD, merupakan input aktif high. Sinyal ini digunakan pada saat siklus DMA, yaitu jika peralatan eksternal akan mengambil alih kontrol system bus, maka peralatan eksternal harus memberikan logika 1 pada input HOLD.
- HLDA, merupakan output aktif high. sinyal ini digunakan pada siklus DMA, dan berfungsi untuk memberitahukan pada peralatan eksternal bahwa seluruh address bus, data bus

dan control bus 8088 berada dalam keadaan high.

- WR, sinyal ini menyatakan bahwa mikroprosesor sedang melaksanakan operasi write memory atau I/O tergantung dari pin IO/M. WR akan aktif pada siklus T2, T3 dan T4 dari siklus bus.
- IO/M, berfungsi untuk membedakan memory acces atau I/O acces. Bila kondisinya low, menyatakan I/O acces dan bila kondisinya high menyatakan acces.
- INTA (Interrupt acknowledge), menyatakan bahwa mikroprosesor 8088 telah mendeteksi adanya permintaan interrup.

TABEL 3.1 OPERASI BUS CYCLE MODE MINIMUM

IO/M	DT/R	SSO	OPERASI
1	0	0	Interrupt acknowledge
1	0	1	Read I/O port
1	1	0	Write I/O port
1	1	1	Halt
0	0	0	Code access

- DT/R (Data Transmit/receive), berfungsi untuk mengatur arah pengiriman dan penerimaan data bus.
- DEN (Data Enable), merupakan output low. Logika 0 pada pin ini menunjukkan bahwa pin ADO-AD7 saat itu terdapat informasi data D0-D7.
- ALE (Address Latch Enable), merupakan sinyal output dari mikroprosesor 8088 yang digunakan untuk menyimpan address ke dalam address latch.

- SSO (Status line), merupakan status line yang bersama-sama dengan IO/M dan DT/R membentuk suatu sistem decoding dari status bus cycle. Pada tabel 3.1 dapat dilihat fungsi yang dibentuk oleh ketiga sinyal tersebut.

### 3.5.3 Sistem mode maksimum

Dalam sub bab ini akan dijelaskan pin-pin 8088 yang beroperasi dalam mode maksimum.

- S2, S1, S0 (Status)

Sinyal-sinyal ini digunakan 8088 bus controller untuk membangkitkan seluruh sinyal control untuk I/O dan memory access. Kombinasi ketiga sinyal ini akan digunakan oleh bus control untuk I/O dan memory acces. Operasi yang ditunjukkan ketiga sinyal ini dapat dilihat pada tabel 3.2.

- RQ/GTO, RQ/GT1 (Request dan Grant)

Pin ini digunakan oleh pemakai bus lokal untuk meminta agar 8088 melepaskan sistem bus. Setiap pin bersifat bi-directional dan mempunyai fungsi yang sama dan RQ/GTO mempunyai prioritas yang lebih tinggi dari RQ/GT1.

- Lock

Sinyal lock diaktifkan oleh intruksi tambahan "lock", akan tetapi aktif sampai intruksi berikutnya selesai dilaksanakan. Sinyal Lock ini akan digunakan untuk memberitahukan kepada pemakai bus lokal agar tidak ikut

memakai bus karena sedang digunakan.

TABEL 3.2 OPERASI BUS CYCLE MODE MAKSUMUM

S2	S1	S0	OPERASI
1	0	0	Interrupt acknowledge
1	0	1	Read I/O port
1	1	0	Write I/O port
1	1	1	Halt
0	0	0	Code access
0	0	1	Read memory

- QS1. QSO (Queue Status)

menyatakan antrian instruksi pada mikroprosesor 8088 seperti yang dinyatakan oleh tabel 3.3.

- Pin 34 selalu aktif pada mode maksimum.

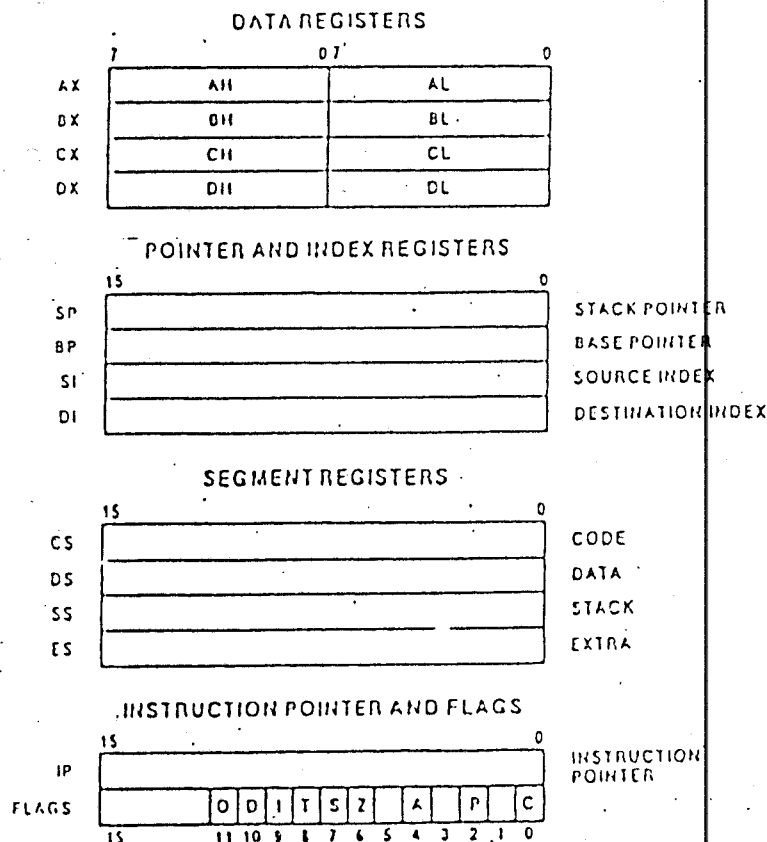
TABEL 3.3 STATUS INSTRUKSI

QS1	QSO	OPERASI
0	0	Tidak ada operasi
0	1	Op-Code byte pertama
1	0	Antrian kosong
1	1	Byte selanjutnya

### 3.5.4 Register mikroprosesor 8088

Mikroprosesor 8088 mempunyai 14 buah register 16 bit. Register-register ini dikelompokkan atas 5 buah group yaitu :

- Data register
- Instruction pointer register
- Pointer dan index register
- Segment register
- Flag register



GAMBAR 3.8 REGISTER MIKROPROSESSOR 8088

Data register terdiri dari 4 buah register yaitu Accumulator register (AX), Base register (BX), Count

register (CX), Data register (DX). Masing-masing register 16 bit ini dapat dioperasikan baik untuk 16 bit data operasi (word) atau dua 8-bit data operasi (byte). Jika register-register dioperasikan untuk operasi 8 bit, maka setiap register akan terbagi menjadi dua register yaitu : AH, AL, BH, BL, CH, CL, DH dan DL.

Register AX, BX, CX, dan DX memang disiapkan untuk register pengoperasi data, oleh karena itu register ini disebut sebagai register umum untuk mengoperasi data (General purpose register).

Instruction pointer register merupakan register 16 bit yang berfungsi mencatat offset address dari lokasi memory instruksi yang berikutnya pada harga base code segmen saat itu.

TABEL 3.4 OPERASI REGISTER MIKROPROSESSOR 8088

REGESTER	O P E R A S I
AX	Perkalian word, pembagian word, I/O
AL	Perkalian byte, pembagian byte, Translasi, Aritmatik desimal
AH	Perkalian byte, pembagian byte
BX	Translasi
CX	Operasi String
DX	Perkalian word, Pembagian word, I/O
SP	Operasi Stack
SI	Operasi String
DI	Operasi String

Pointer dan index register terdiri dari 4 buah register 16 bit yaitu : SP (Stack Pointer), BP (Base Pointer), SI (Source Index), DI (Destination Index).

Register-register ini hanya dapat dioperasikan untuk 16 bit. Fungsi dari register-register index dan pointer adalah untuk pembentukan memory efektif address (EA). Penggunaan register mikroprosesor 8088 ditunjukkan pada tabel 3.4.

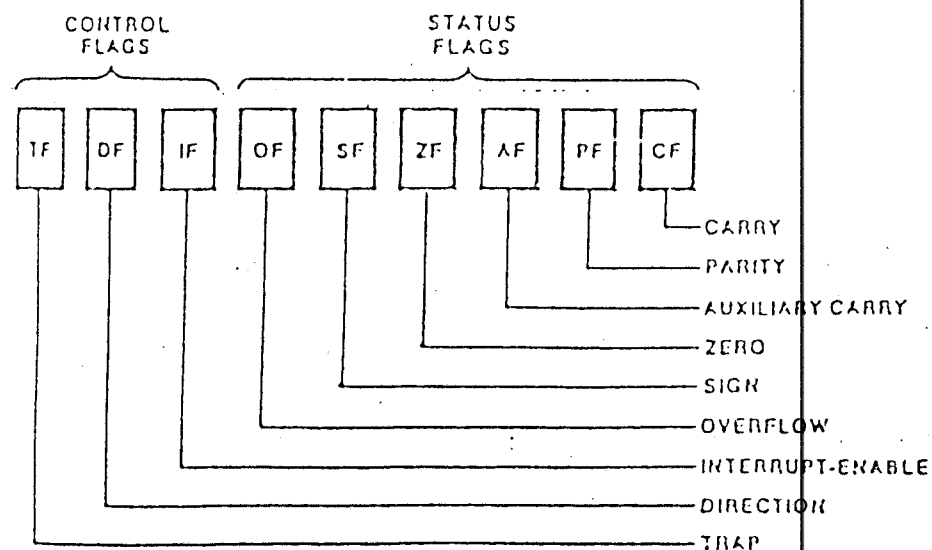
Mikroprosesor 8088 mencatat address untuk menunjukkan lokasi data di memory menggunakan segmen register ditambah dengan offset adres atau selisih address.

Kemampuan addressing dari register 8088 adalah 20 bit yaitu 1.048.576 (1M) lokasi address, tetapi ada pula intruksi dari register 8088 yang hanya dilaksanakan untuk 16 bit address. Cara yang dilakukan untuk mendapatkan 20 bit address dari 16 bit address adalah dengan menambahkan 16 bit offset address ke 16 bit segmen address yang digeser ke kiri sebanyak 4 kali atau dengan kata lain segmen addressnya dikalikan dengan 16 dan baru ditambahkan dengan offset address.

Flag register merupakan register pembantu terhadap semua operasi aritmatika dan logika. Bentuk bantuannya berupa menyimpan tanda keadaan operasi atau akibat operasi aritmatik yang terjadi. Jumlah bit akibat operasi itu berjumlah 9 bit dan letak bit tersebut pada flag register sudah ditentukan secara pasti. Susunan bit dari flag register dapat dilihat pada gambar 2.4. Selanjutnya

dijelaskan fungsi masing-masing bit.

- CF (Carry Flag), bit akan diset apabila terjadi carry out atau borrow pada high-order bit sebagai hasil operasi aritmatik.
- OF (Overflow Flag), bit ini akan diset apabila terjadi overflow atau hasil aritmatik terlalu besar untuk daerah yang dituju.
- SF (Sign Flag), menunjukkan tanda dari bilangan hasil operasi aritmatik. bila diset maka tanda bilangan adalah negatif.



GAMBAR 3.9 FLAG REGISTER 8088 20

20, ibid hal 37

- PF (Parity Flag), flag ini akan diset apabila hasil operasi mempunyai jumlah bit yang berlogika satu adalah genap.
- ZF (Zero Flag), flag diset apabila hasil operasi aritmatik nol.
- AF (Auxiliary carry flag), bit ini akan diset apabila dalam operasi aritmatik terdapat carry out, borrow dari nible perhitungan desimal.
- DF (Direction Flag), jika bit ini diset maka operasi string akan melakukan proses pengurangan secara otomatis dari high address. ke low address. Jika bit ini dibuat nol, maka pada operasi string akan dilakukan penambahan secara otomatis.
- IF (Interrupt Flag), apabila control flag diset, maka memungkinkan 8088 menerima external maskable interrupt.
- TF (Trap Flag), jika bit ini diset maka 8088 dalam mode single step. Setiap sebuah intruksi berakhir, maka interrupt akan dibangkitkan secara otomatis.

### 3.6 Programable Peripheral Interface PPI 8255

PPI 8255 merupakan piranti I/O yang luas digunakan, karena mudah pengoperasiannya dan kompetibel dengan berbagai tipe mikroprosessor, yang berfungsi untuk menghubungkan komponen luar dengan sistem mikroprosessor. Dikatakan port I/O karena disinilah informasi keluar masuk dari/ke dalam mikrokomputer. Komponen I/O PPI 8255 merupakan pararel I/O dan dapat diprogram untuk mentransfer data

dalam berbagai kondisi dari I/O yang sederhana sampai dengan interrupt I/O yang komplek.

PPI 8255 dibentuk dalam 40 pin dual in line package dan dikelompokkan dalam tiga port pararel 8 bit yaitu port A, port B, port C di mana port yang terahir yaitu port C dapat dipisah dalam 4 bit orde rendah dan 4 bit orde tinggi. Fungsi masing-masing port dapat diprogram sebagai input/output dengan cara menulis control word dalam control register .

PPI 8255 dapat diklasifikasikan dalam 2 mode yaitu mode bit Set/Reset (BSR) dan mode I/O. Mode BSR digunakan untuk men set/reset bit dalam port, sedang mode I/O dibagi dalam 3 mode yaitu mode 0, mode 1 dan mode 2. Dalam mode 0 semua port berfungsi sebagai I/O yang sederhana, mode 1 adalah mode handshake dan mode 2 di mana peripheral dapat menggunakan port A sebagai port data bi-directional.

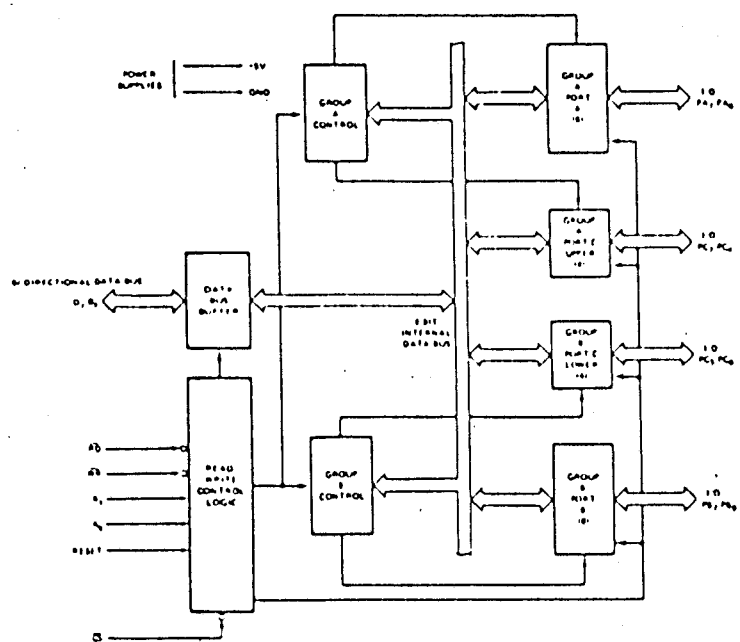
### 3.6.1 Blok diagram PPI 8255

Secara blok diagram PPI 8255A diperlihatkan dalam gambar 3.10 yang mempunyai dua kelompok 8 bit port A dan B dan kelompok 4 bit port C orde rendah dan orde tinggi, data bus buffer dan control logic.

Pada bagian control terdapat 6 jalur pengontrol sebagai berikut :

1. RD (Read) merupakan sinyal kontrol yang memungkinkan operasi baca, dimana jika sinyal berlogika 0, maka mikroprosesor membaca data pada I/O port.

2. WR (Write) merupakan sinyal kontrol yang memungkinkan operasi penulisan (write operation) dari I/O port yang dipilih.
3. RESET merupakan sinyal aktif high, sinyal yang akan mereset control register dan menseting semua port ke dalam mode input.



GAMBAR 3.10 BLOK DIAGRAM PPI 8255 <sup>21</sup>

4. CS (Chip Select) adalah sinyal pemilih, digunakan untuk mengaktifkan chip PPI 8255, bila mendapat logika "0" mikroprosesor dapat mengirim data atau menerima data dari PPI 8255.

5. Address Input (A0-A1) Kombinasi dari kedua address input ini menentukan register mana dari PPI 8255 yang akan menerima atau mengirim data dari atau ke mikroprosesor.

TABEL 3.5 KEGUNAAN ADDRESS PIN A0, A1 DAN CS

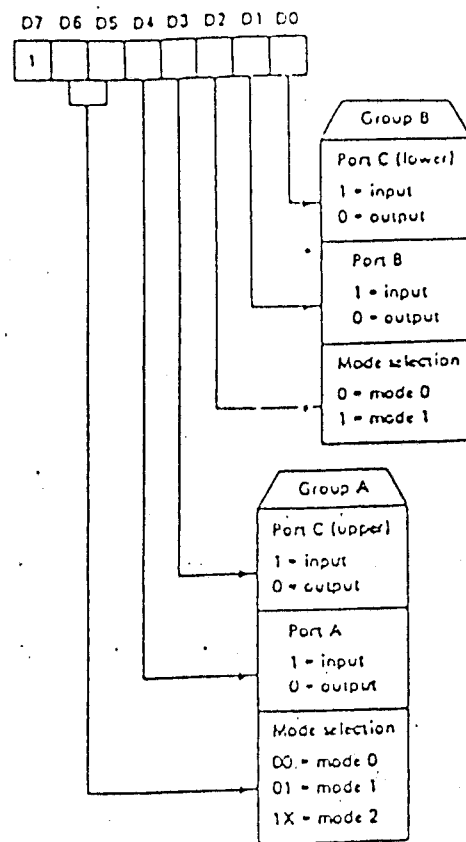
CS	A1	A0	YANG DIPILIH
0	0	0	PORT A
0	0	1	PORT B
0	1	0	PORT C
0	1	1	CONTROL REGISTER
1	x	x	8255 tidak dipilih

### 3.6.2 Pengoperasian PPI 8255A

Ada tiga macam basic mode operation dari PPI 8255 yang dapat dipilih melalui software (diprogram pada control word register) yaitu mode 0, mode 1 dan mode 2.

Pada gambar 3.11 diperlihatkan definisi bit dari control register, isi dari register ini disebut control register yang akan menentukan fungsi dari masing-masing port yaitu port A, port B dan port C .

Mode kerja dari PPI 8255 ditentukan melalui perangkat lunak. Untuk IC ini dilengkapi dengan kontrol register 8-bit. Ke dalam register-register ini dapat dituliskan logika 0 atau 1 untuk mengkonfigurasikan masing-masing port sebagai input atau output dan menentukan mode operasi. Pada gambar terlihat bahwa bit D0 sampai D2 terkorespondensi dengan group B. Bit D0 mengatur 4 bit bawah dari port C sebagai input atau output. Logika 1 pada D0 menjadikan input dan logika 0 menjadikannya output.



GAMBAR 3.11 FORMAT CONTROL WORD PPI 8255<sup>22</sup>

Bit D1 mengatur port B (8-bit) sebagai port input atau sebagai port output. Logika 1 pada bit ini menjadikan input dan logika 0 menjadikannya output.

Bit D2 menentukan mode kerja port B (8-bit) dan 4 bit bawah port B. Terdapat dua operasi yang dapat dipilih, yaitu mode 0 dan mode 1. Logika 1 pada bit ini menjadikan mode 0 dan logika 1 menjadikan mode 1.

---

<sup>22</sup>, ibid hal 242.

Bit D3 dan D4 menentukan operasi kerja 4 bit atas port C dan port A. Bit-bit ini bekerja seperti bit D0 dan bit D1. Untuk bit D5 dan bit D6 berfungsi untuk memilih salah satu dari 3 mode operasi, yaitu mode 0, mode 1 dan mode 2.

Bit D7 adalah mode set flag. Bit ini harus berlogika 1 (aktif) bila mode operasi akan diubah. Pada perencanaan tugas akhir ini hanya digunakan 1 mode saja, yaitu mode 0.

Ketiga port dari PPI 8255 ini memberikan 24 jalur input atau output yang digunakan untuk menginterface komponen diluar mikroprosesor. Sekali piranti ini diprogram menurut yang dikehendaki, maka kita dapat mengeluarkan data dengan instruksi OUT atau instruksi IN untuk mengambil data .

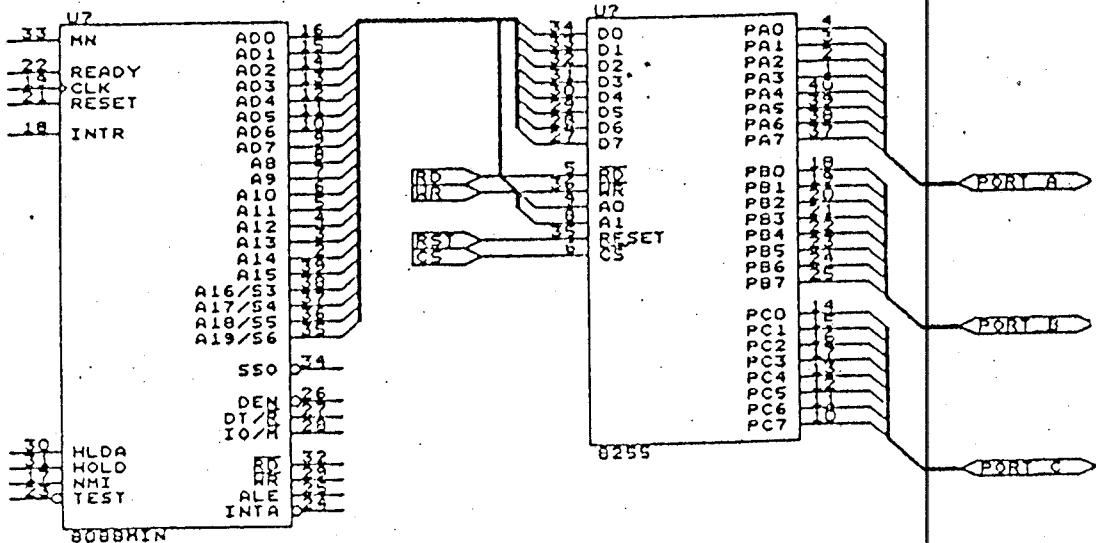
### 3.6.3 Menghubungkan PPI 8255 dengan mikroprosesor 8088

Telah diketahui bahwa PPI 8255 mempunyai dua buah address input, A0 dan A1 untuk memilih salah satu dari empat buah register yang dimilikinya. Dua address input ini dihubungkan ke A0 dan A1 dari mikroprosesor 8088. CS input line PPI 8255 digunakan untuk menempatkan PPI 8255 ke address I/O yang direncanakan.

Jadi input dari CS adalah output dari decoder yang mendekodekan alamat PPI tersebut, yaitu A0-A9.

Pin yang terahir PPI 8255 yang perlu dihubungkan adalah RESET input. Input ini membutuhkan logika 1 untuk

bisa bekerja, maka dari mikroprosesor 8088 dapat langsung disambung. Hubungan lengkap PPI 8255 dengan mikroprosesor 8088 ditunjukkan pada gambar 3.12.



GAMBAR 3.12

HUBUNGAN LENGKAP PPI 8255 DENGAN MIKROPROSESSOR 8088

### 3.7 Address Decoding

Decoding berfungsi untuk mendekodekan saluran address CPU untuk mengaktifkan komponen memory maupun komponen I/O agar data yang akan dibaca atau ditulis pada peranti tersebut tidak kacau. Hal ini dapat dimungkinkan dengan suatu cara yang disebut dengan Address decoding, di mana sinyal-sinyal pada address bus didecode sedemikian rupa sehingga setiap kombinasi pada address akan menghasilkan satu sinyal pilih yang akan mengaktifkan salah satu IC. Untuk berkomunikasi dengan peralatan I/O maka diperlukan suatu cara agar mikroprosesor dapat memilih atau menentukan salah satu IC atau peralatan

tertentu saja dengan mengaktifkan CS (Chip Select).

Beberapa metode yang dipergunakan untuk mendekode suatu address yaitu Gating dan Decoding.

- GATING :

Gating merupakan cara yang paling sederhana untuk mendekodekan suatu kombinasi address dengan menggunakan gate-gate logika seperti AND, OR, dan NOT. Cara ini tidak banyak digunakan karena tidak efisien untuk sinyal pilih yang banyak.

- DECODING :

Cara yang paling mudah dan efisien untuk decoding adalah dengan menggunakan dekoder. Dengan menggunakan dekoder maka setiap n macam kombinasi address dapat diperoleh sebanyak  $2^n$  sinyal pilih, sehingga dekoder ini cocok untuk sistem yang memerlukan sinyal pilih yang banyak .

Dalam perencanaan tugas akhir ini menggunakan dekoder 74LS138 untuk menentukan lokasi address EPROM, RAM, dan PPI 8255 sedang decoder 74LS139 dipakai untuk kontrol bus .

### 3.8 Buffering

Tiap masukan sebuah alat merupakan beban pada keluaran yang menggerakkannya. Sebagian besar komponen menggerakkan mulai dari satu sampai dua puluh komponen lainnya. Setiap komponen harus diperiksa karakteristik penggerakan serta pembebanan dan keluarannya.

Bus mikroprosesor harus berhubungan dengan setiap serpih masukan dan keluaran periferal dan memory sistem.

Semua mikroprosesor MOS kurang mampu untuk menggerakan keluarannya yang diperlukan dalam suatu sistem besar. Jika mikroprosesor dibebani melebihi fan out, akibatnya level tegangan pada pin-pin bus dapat turun sampai melebihi batas level marginnya yang mengakibatkan mikroprosesor memberikan informasi yang tidak benar, karena itu dipakai buffer atau penggerak untuk menaikkan daya penggerakan bus.

Misalnya jalur address pada mikroprosesor harus mendrive input address dari empat komponen memory dan dua komponen I/O, maka besarnya arus suplay untuk mendrive komponen memory dan komponen I/O harus sama dengan jumlah arus input dari keempat komponen memory ditambah dengan jumlah arus input dari kedua komponen I/O.

## B A B IV

### PENGAMBILAN DATA DAN PERHITUNGAN

---

#### 4.1 Pendahuluan

Sebelum merencanakan sistem pengatur lampu lalu lintas, terlebih dahulu dilakukan pengambilan data-data tentang volume dan kecepatan kendaraan pada daerah yang dijadikan obyek penelitian. Data-data ini nantinya digunakan untuk menentukan interval waktu penyalaan lampu lalu lintas di lokasi tersebut.

Untuk keperluan tugas akhir ini, dilakukan survey spot speed pada masing-masing ruas jalan di lokasi penelitian. Sedangkan untuk data volume kendaraan diambil data survey kendaraan yang dilakukan oleh laboratorium perhubungan, jurusan teknik sipil FTSP-ITS yang dilakukan pada hari sabtu tanggal 9 Desember 1989. Data-data penunjang lainnya diperoleh dari Biro Pusat Statistik Jawa Timur.

#### 4.2 Survey Spot Speed

Pelaksanaan survey spot speed untuk tugas akhir ini dilaksanakan lima hari pada bulan mei 1992. Metode pelaksanaan spot speed yang digunakan adalah cara yang paling sederhana yaitu dengan prinsip pengukuran waktu yang digunakan untuk menempuh jarak tertentu. Metode ini dipakai

karena lebih murah dan menggunakan peralatan sederhana.

Survey spot speed dilakukan pada lima lokasi yaitu : Jl.Kedungdoro, Jl.Embong Malang dan Jl.Tidar masuk menuju ke persimpangan A. Sedangkan Jl.Blauran, Jl.Praban sisi utara masuk ke persimpangan B.

#### **4.3 Peramalan Volume Kendaraan**

Karena data survey volume kendaraan yang ada adalah data pada tahun 1989 dari laboratorium perhubungan jurusan teknik sipil ITS, yang dapat dilihat pada gambar 4.1. Untuk penyesuaian data volume kendaraan ke tahun 1992 perlu diramalkan dengan menggunakan metode yang telah digunakan oleh Edi Napitulu dalam bukunya 'Studi Pembentahan Arus Lalu Lintas Daerah Wonokromo' tugas akhir jurusan teknik sipil ITS. Yaitu untuk mencari volume lalu lintas dan peramalannya pada daerah penelitian adalah dengan mengalikan volume lalu lintas dari data survey dengan faktor pertumbuhannya.

##### **4.3.1 Faktor pertumbuhan kendaraan**

Sesuai dengan data yang sudah ada pada lampiran B maka dapat diperoleh persamaan linier regresi sebagai berikut :

- persamaan linier regresi untuk PDRB (product domestic regional brutto) per penduduk :

$$Y = 9943.76 X - 196726178.24$$

- persamaan linier regresi untuk jumlah penduduk :

$$Y = 16154 X - 29945844$$

M	2765
TX	30
TR	2
BS	1335
SM	9205

Jl. Bubutan

M	7998
TX	1803
TR	72
BS	7
SM	8879

Jl. Kranggan

M	8128
TX	451
TR	0
BS	0
SM	5430

Jl. Blauran

M	14122
TX	3314
TR	295
BS	790
SM	25353

Jl. Praban

M	9435
TX	1295
TR	75
BS	7
SM	8879

A

M	3415
TX	854
TR	28
BS	443
SM	25353

M	649
TX	251
TR	49
BS	39
SM	1364

Jl. Embong Malang

M	3572
TX	889
TR	18
BS	348
SM	23158

Jl. Kedungdoro

M	1170
TX	30
TR	21
BS	0
SM	548

M	8100
TX	1471
TR	62
BS	26
SM	15 657

GAMBAR 4.1

VOLUME KENDARAAN DI LOKASI PENELITIAN TAHUN 1989

- persamaan linier regresi untuk mobil :

$$Y = 9098 X - 18006215$$

- persamaan linier regresi untuk taxi :

$$Y = 134.3 X - 263594$$

- persamaan linier regresi untuk truk :

$$Y = 2487.8 X - 4898265$$

- persamaan linier regresi untuk bus :

$$Y = 120.4 X - 236706$$

- persamaan linier regresi untuk sepeda motor :

$$Y = 15502.4 X - 304491710$$

di mana X menyatakan tahun.

Selanjutnya untuk mencari besarnya faktor pertumbuhan kendaraan dari masing-masing jenis kendaraan digunakan perumusan sebagai berikut <sup>23)</sup> :

- fp mobil =  $\frac{fp_{sur}}{PDRB}$  mobil x  $\frac{fp_{sur}}{PDRB}$  penduduk

- fp taxi =  $\frac{fp_{sur}}{PDRB}$  taxi x  $\frac{fp_{sur}}{PDRB}$  penduduk

- fp truk =  $\frac{fp_{sur}}{PDRB}$  truk x  $\frac{fp_{sur}}{PDRB}$  penduduk

- fp bus =  $\frac{fp_{sur}}{PDRB}$  bus x  $\frac{fp_{sur}}{PDRB}$  penduduk

- fp spdmtr =  $\frac{fp_{sur}}{PDRB}$  spdmtr x  $\frac{fp_{sur}}{PDRB}$  penduduk

di mana fp masing-masing kendaraan adalah faktor pertumbuhan masing-masing kendaraan di lokasi penelitian, dan  $\frac{fp_{sur}}{PDRB}$  adalah faktor pertumbuhan di Surabaya. Faktor pertumbuhan masing-masing kendaraan di surabaya adalah jumlah kendaraan tahun 1992 dibagi dengan jumlah masing-masing

23). EDDY NAPITULU, Studi Pembentahan Arus Lalu Lintas Di Daerah Wonokromo, tugas akhir 1989, hal 60.

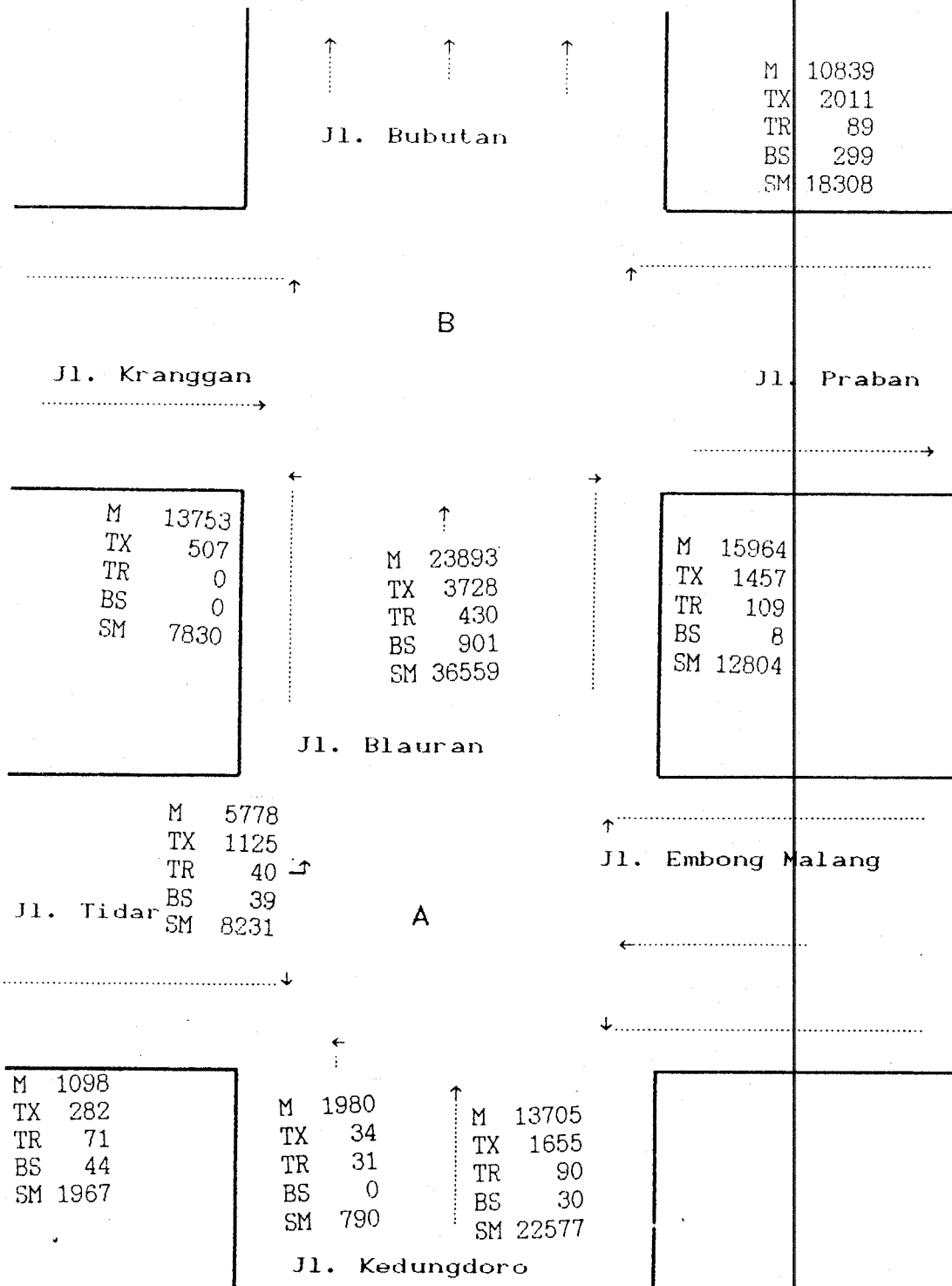
kendaraan tahun 1989. Faktor pertumbuhan PDRB/penduduk adalah PDRB/penduduk tahun 1992 di Surabaya dibagi dengan PDRB/penduduk tahun 1989. Faktor pertumbuhan penduduk di Surabaya adalah jumlah penduduk di Surabaya tahun 1992 dibagi dengan jumlah penduduk tahun 1989.

Dengan memasukan data-data yang ada diperoleh :

- fp mobil = 1.692
- fp taxi = 1.125
- fp truk = 1.456
- fp bus = 1.141
- fp spdmtr = 1.442

#### 4.3.2 Penyesuaian volume kendaraan ke tahun 1992

Untuk menyesuaikan besarnya volume kendaraan ke tahun 1992 pada lokasi penelitian adalah dengan mengalikan volume kendaraan data tahun 1989 yang terlihat pada gambar 4.1 dengan faktor pertumbuhan dari masing-masing jenis kendaraan. Dan hasilnya seperti pada gambar 4.2.



GAMBAR 4.2

PENYESUAIAN VOLUME KENDARAAN KE TAHUN 1992

#### 4.4 Perhitungan Ekivalen Volume Kendaraan

Setelah mengetahui volume kendaraan pada masing-masing ruas jalan, selanjutnya dicari ekivalen volume kendaraan ke satuan mobil penumpang (SPM) bagi semua jenis kendaraan yang menjadi obyek penelitian. Hal ini harus dilakukan karena rumus-rumus pada bab 2 hanya diperuntukkan pada kendaraan penumpang saja.

Menurut Laboratorium Perhubungan Jurusan Teknik Sipil ITS, faktor ekivalensi masing-masing kendaraan adalah :

TABEL 4.1 FAKTOR EKIVALENSI KENDARAAN

Jenis Kendaraan	Faktor Ekivalensi
Mobil + Taxi	1 SPM
Truk	3 SPM
Bus	2.5 SPM
Sepeda Motor	0.3 SPM

##### 4.4.1 Persimpangan A

Lokasi penelitian pada persimpangan A dibagi menjadi tiga phase. Phase 1 meliputi Jl.Kedungdoro menuju ke Jl.Tidar dan ke Jl.Blauran, phase 2 meliputi Jl.Embong Malang menuju ke JL.Tidar dan phase 3 meliputi JL.Tidar menuju ke Jl.Blauran dan ke JL.Kedungdoro. Kendaraan yang berasal dari JL.Embong Malang menuju ke JL.Kedungdoro dan ke Jl.Blauran tidak tergantung nyala lampu.

Berdasarkan tabel 4.1, volume yang ditunjukkan gambar 4.2 dirubah ke volume satuan kendaraan penumpang

dengan cara mengalikan masing-masing kendaraan dengan faktor ekivalensinya.

- phase 1 :

- volume dari Jl.Kedungdoro ke JL.Blauran,

$$(13705+1655) + 90 \times 3 + 30 \times 2.5 + 22577 \times 0.3$$

$$= 22478 \text{ SMP}$$

- volume dari Jl.Kedungdoro ke JL.Tidar,

$$(1980+34) + 31 \times 3 + 790 \times 0.3 = 2344 \text{ SMP}$$

Jumlah total volume kendaraan pada phase 1 adalah

$$DV_1 = 22478 + 2344 = 24822 \text{ SMP}.$$

- phase 2 :

- volume kendaraan dari Jl.Embong Malang ke Jl.Tidar,

$$DV_2 = (6044+1000) + 26 \times 3 + 397 \times 2.5 + 35394 \times 0.3$$

$$= 18732 \text{ SMP}.$$

- phase 3 :

- volume kendaraan dari Jl.Tidar ke Jl.Kedungdoro

$$(1098+282) + 71 \times 3 + 44 \times 2.5 + 1967 \times 0.3$$

$$= 2293 \text{ SMP}$$

- volume kendaraan dari Jl.Tidar ke Jl.blauran,

$$(5778+1125) + 40 \times 3 + 39 \times 2.5 + 8231 \times 0.3$$

$$= 9590 \text{ SMP}$$

Jumlah total volume kendaraan pada phase 3 adalah

$$DV_3 = 2293 + 9590 = 11883 \text{ SMP}$$

#### **4.4.2 persimpangan B**

Persimpanga B di bagi menjadi dua phase saja, yaitu phase 1 adalah volume kendaraan berasal dari Jl.Blauran

menuju ke Jl.Kranggan dan ke Jl.Bubutan. Sedangkan phase 2 adalah volume kendaraan berasal dari Jl.Praban menuju ke Jl.Bubutan atau dari JL.Kranggan menuju ke JL.Bubutan dan ke JL.Praban.

- phase 1 :

- volume kendaraan berasal dari Jl.Blauran ke Jl.Kranggan,

$$(13753+507) + 783 \times 0.3 = 14495 \text{ SMP}$$

- volume kendaraan dari Jl.Blauran ke Jl.Bubutan,

$$(23893+3728) + 430 \times 3 + 901 \times 2.5 + 36559 \times 0.3 \\ = 42132 \text{ SMP}$$

- volume kendaraan dari Jl.Blauran ke Jl.Praban,

$$(15964+1457) + 109 \times 3 + 8 \times 2.5 + 12804 \times 0.3 \\ = 21609 \text{ SMP}$$

Jumlah volume kendaraan phase 1 DV<sub>1</sub> = 78236 SMP.

- Phase 2 :

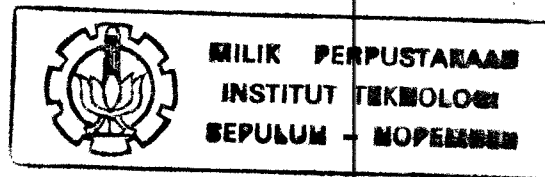
- volume kendaraan dari Jl.Kranggan,

$$(4678 + 1502) + 44 \times 3 + 3 \times 2.5 + 13273 \times 0.3 \\ = 10304 \text{ SMP}$$

- volume kendaraan dari Jl.Praban ke Jl.Bubutan,

$$(13533 + 2028) + 105 \times 3 + 305 \times 2.5 + 18308 \times 0.3 \\ = 22131 \text{ SMP}$$

karena volume kendaraan yang berasal dari Jl.Kranggan lebih kecil jika dibanding dengan Jl.Praban, maka dalam perhitungan interval lampu dipilih yang lebih besar yaitu yang bersaral dari Jl.Praban ke Jl.Bubutan. Sehingga jumlah kendaraan pada phase 2 DV<sub>2</sub> = 22131 SMP. Hasil



ekivalensi keseluruhan mobil penumpang dapat dilihat pada gambar 4.3.

#### 4.5 Perhitungan Interval Nyala Lampu

##### 4.5.1 Persimpangan A

Berdasarkan gambar 4.3 di bawah, maka dapat dilakukan perhitungan tentang interval lampu untuk setiap phase pada masing-masing persimpangan. Dari perhitungan yang telah didapat volume kendaraan masing-masing phase yaitu :

- phase 1  $DV_1 = 24882 \text{ SMP}$
- phase 2  $DV_2 = 18732 \text{ SMP}$
- phase 3  $DV_3 = 11883 \text{ SMP}$

sehingga jumlah kendaraan yang masuk pada persimpangan A adalah  $DVA = 55437 \text{ SMP}$ . Sedangkan lebar jalan pada setiap phase adalah :

- phase 1  $W_1 = 14.5 \text{ m}$
- phase 2  $W_2 = 12 \text{ m}$
- phase 3  $W_3 = 12 \text{ m}$

kecepatan rata-rata ruas jalan pada masing-masing phase :

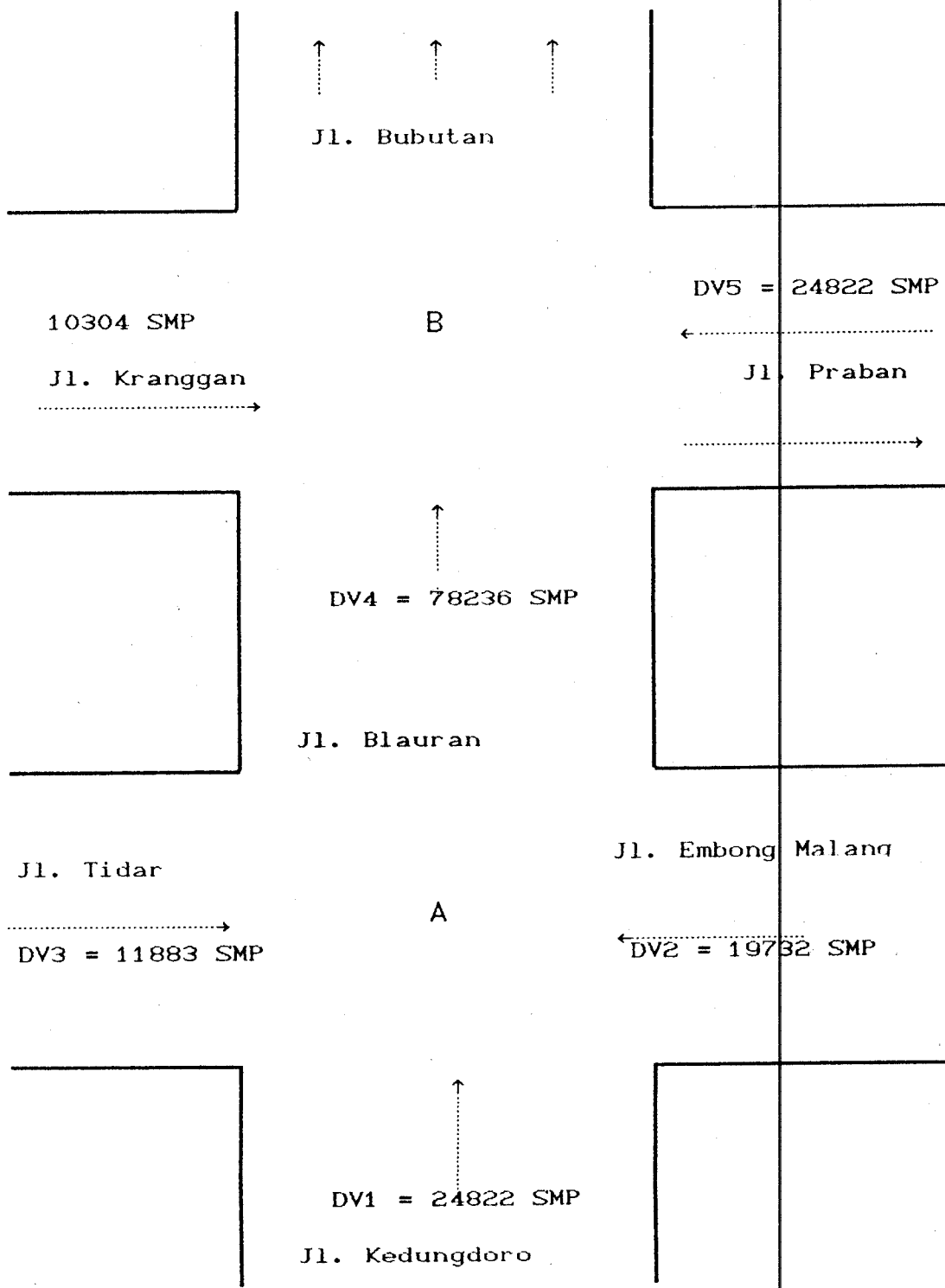
$$U_1 = 6.98 \text{ m/det}$$

$$U_2 = 6.10 \text{ m/det}$$

$$U_3 = 7.21 \text{ m/det}$$

Sedangkan untuk memenuhi data-data untuk perhitungan selanjutnya diambil pendekatan <sup>24)</sup> :

24). THEODORE M MATSON, Traffic Engineering, McGraw Hill  
1955, hal 420.



GAMBAR 4.3

EKIVALENSI VOLUME KENDARAAN KE SMP

- panjang kendaraan  $l = 4$  meter
- waktu reaksi pengemudi  $td = 1$  detik
- perlambatan mobil  $a = 3.6 \text{ m/det}^2$
- waktu hilang saat mulai jalan  $k_1 = 3.7$  detik
- panjang siklus C = 75 detik

**a. Perhitungan waktu hilang**

Pada persamaan 2.2 pada bab II telah dirumuskan :

$$K = k_1 + k_2, \text{ sedangkan } k_2 = \frac{W+L}{U}$$

sehingga dengan memasukkan masing-masing harga di atas diperoleh :

- phase 1  $K_1 = 6.35$  detik
- phase 2  $K_2 = 6.32$  detik
- phase 3  $K_3 = 5.92$  detik

**b. Perhitungan interval kuning**

Pada persamaan 2.1 pada bab II telah dirumuskan

$$ta = td + \frac{U}{2a} + \frac{W+L}{U}$$

- phase 1  $ta_1 = 1 + \frac{6.98}{2 \times 3.6} + \frac{14.5+4}{6.98} = 4.62 \approx 5$  det
- phase 2  $ta_2 = 1 + \frac{6.10}{2 \times 3.6} + \frac{12+4}{6.10} = 4.47 \approx 5$  det
- phase 3  $ta_3 = 1 + \frac{7.21}{2 \times 3.6} + \frac{12+4}{7.21} = 4.22 \approx 5$  det

**c. Perhitungan total interval hijau effektif**

Pada persamaan 2.3 pada bab II telah dirumuskan

$$GE = C - \sum_i^p k_i$$

sehingga didapat :

$$G_E = 75 - 6.35 - 6.32 - 5.92 = 56.41 \text{ detik}$$

**d. Perhitungan interval hijau**

Pada persamaan 2.4 dalam bab II telah dirumuskan

$$G_i = \frac{DV_i}{DV} G_E + K_i$$

sehingga dapat dihitung pada masing-masing phase adalah

- phase 1  $G_1 = \frac{24822}{55437} 56.41 + 6.35 = 31.6 \approx 32 \text{ detik}$

- phase 2  $G_2 = \frac{18732}{55437} 56.41 + 6.32 = 25.3 \approx 25 \text{ detik}$

- phase 3  $G_3 = \frac{11883}{55437} 56.41 + 5.92 = 18.01 \approx 18 \text{ detik}$

**e. Perhitungan interval merah**

Interval merah masing-masing phase adalah panjang siklus dikurangi interval hijau. Sehingga hasilnya dapat dilihat pada tabel 4.2.

TABEL 4.2 INTERVAL NYALA LAMPU PERSIMPANGAN A

phase	merah	hijau	kuning
1	43 det	27 det	5 det
2	50 det	20 det	5 det
3	57 det	13 det	5 det

**4.5.2 Persimpangan B**

Persimpangan B ini hanya terdiri dua phase yaitu

-phase 1  $DV_4 = 78.236 \text{ SMP}$

-phase 2  $DV_5 = 24.822 \text{ SMP}$

Jumlah volume kendaraan yang masuk pada persimpangan B  $DV_B$

= 103058. Sedangkan lebar jalan setiap phasenya adalah :

- phase 1  $W_4 = 14.5 \text{ m}$
- phase 2  $W_4 = 16 \text{ m}$

Kecepatan rata-rata kendaraan masing-masing phase adalah :

- phase 1  $U_4 = 6.355 \text{ m/det}$
- phase 2  $U_5 = 6.987 \text{ m/det}$

TABEL 4.3 INTERVAL NYALA LAMPU PERSIMPANGAN B

phase	merah	hijau	kuning	
1	21 det	49 det	5 det	
2	54 det	16 det	5 det	

Dengan cara perhitungan yang sama dengan yang digunakan pada persimpangan A, didapat tabel 4.3 di atas ini.

#### 4.6 Pengkoordinasian Antar Persimpangan

Telah dijelaskan dalam bab II beberapa macam cara pengkoordinasian antar persimpangan. Pada tugas akhir ini dipilih methode sistem progresip yaitu pengaturan lampu relatif terhadap lampu berikutnya, yang selanjutnya disebut offset. Pada persamaan 2.5 dirumuskan  $T = S/U$ , sedangkan kecepatan rata-rata kendaraan berubah terhadap kendaraan yang telah dirumuskan dalam persamaan 2.7.

Persamaan 2.7 di atas diasumsikan bahwa  $a_k$  dan  $b_k$  adalah parameter-parameter yang tidak berubah terhadap waktu. Yang berarti bahwa  $a_k = a_{k+1}, a_{k+2}, \dots$  dan  $b_k = b_{k+1}, b_{k+2}, \dots$ . Sehingga diperlukan dua syarat batas untuk meng-

hitung harga dua parameter yang tidak diketahui tersebut. Syarat batas yang pertama diambil dari hasil perhitungan sub bab sebelumnya. Sedangkan syarat batas yang ke dua diambil dari aturan kecepatan kendaraan dalam kota khususnya pada lokasi penelitian. Yaitu 40 Km per jam.

Dari perhitungan sebelumnya volume kendaraan pada ruas jalan Blauran  $DV_4 = 78236 \text{ SMP}$  selama empat belas jam. Sehingga didapat volume kendaraan pada setiap siklusnya 75 detik adalah 116.4 SMP.

Dengan memasukkan ke persamaan  $S = U \times t$ , rata-rata kecepatan jalan Blauran  $U_4 = 6.335 \text{ m per detik}$ , didapat jarak  $S = 475 \text{ meter}$ . maka didapat kepadatan kendaraan  $Y(k) = 116.4 \text{ SMP}/475 \text{ meter}$  atau  $Y(k) = 24.5 \text{ SMP per seratus meter}$ . Selanjutnya dimasukkan ke persamaan 2.7 menjadi :

$$6.335 = bk e^{-(24.5/ak)^2} \quad (4.1)$$

Syarat batas yang kedua adalah kecepatan kendaraan maksimum dalam kota khususnya pada jalan Blauran adalah 40 Km per jam atau 11.11 meter per detik, meskipun pada saat  $Y(k) = 0$ . Sehingga didapat :

$$11.11 = bk \quad (4.2)$$

Persamaan 4.2 ini dimasukkan ke persamaan 4.1 didapat harga  $ak = 0.32.68$ . Selanjutnya harga-harga ini dimasukkan ke persamaan 2.7 didapat :

$$U(k) = 11.11 e^{-(Y(k)/32.68)^2} \quad (4.3)$$

Persamaan 2.5 untuk menghitung offset antar persim-

pangan  $T = S/U$  di mana jarak antar persimpangan A dan persimpang B adalah 170 meter. Sedangkan rata-rata kecepatannya berubah terhadap kepadatan kendaraan yang telah dirumuskan pada persamaan (4.3). Sehingga didapat persamaan offset antar persimpangan yang berubah terhadap kepadatan kendaraan yaitu :

$$T = 15.30 e^{(Y(k)/32.68)^2} \quad (4.4)$$

## BAB V

### PERENCANAAN DAN PEMBUATAN ALAT

#### 5.1 Pendahuluan

Dalam bab IV telah didapat masing-masing interval nyala lampu pada setiap phase serta persamaan offset antar persimpangan. Sebagai tindak lanjutnya adalah merancang perangkat keras dan perangkat lunaknya.

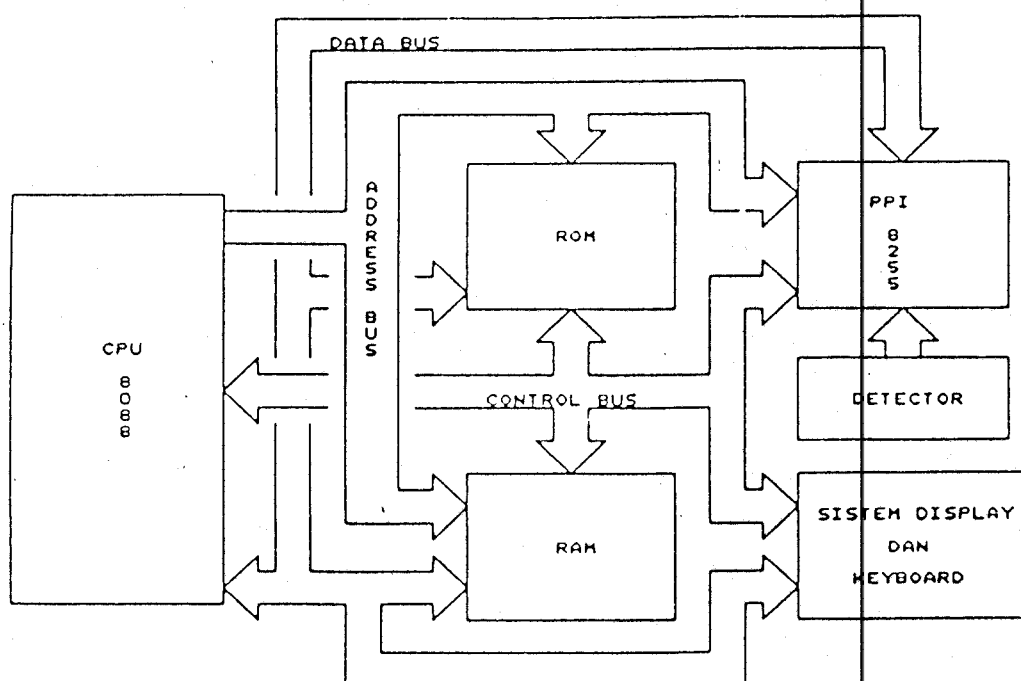
Selanjutnya pada bab ini akan dijelaskan perencanaan alat yang akan dibuat yang meliputi perencanaan perangkat keras dan perangkat lunak.

Untuk memperjelas sistem yang akan dibuat, blok diagram sistem ditunjukkan pada gambar 5.1. Sebagai pusat dari sistem tersebut adalah CPU 8088 akan menyalakan lampu dengan mengirim data tertentu. Sedangkan sebagai umpan balik berupa detektor yaitu suatu rangkaian yang mewakili sensor kepadatan kendaraan pada setiap saat.

Secara terperinci blok diagram tersebut mempunyai fungsi sebagai berikut :

- CPU 8088 sebagai unit pengendali dan pemroses data yang ditunjang dengan buffer yang berfungsi menguatkan dan mengatur arah sinyal.
- ROM sebagai penyimpan program dan ditunjang oleh decoder

yang berfungsi mendekodekan jalur address bus (A0-A19) menjadi suatu address tertentu sehingga suatu unit hanya dapat diaktifkan dengan memberi bilangan address yang benar.



GAMBAR 5.1 BLOK DIAGRAM SISTEM YANG DIBUAT

- RAM sebagai penyimpan data atau media storage yang volatile dan juga ditunjang decoder seperti ROM, tetapi ditunjukan pada alamat RAM.
- Unit PPI yang bekerja sebagai penghubung antara minimum sistem 8088 dengan dunia luar dalam hal ini tugasnya menerima data dari detektor dan mengeluarkan data ke sistem display.

- Sistem display adalah berupa lampu-lampu LED yang mewakili sebagai lampu-lampu lalu lintas. LED-LED ini dipasang pada papan model tersendiri.

### 5.2 Perencanaan CPU 8088 dalam Minimum Mode

Dalam perencanaan modul minimum sistem 8088 ini, terbagi menjadi beberapa tahap. Tahap tersebut adalah tahap perencanaan rangkaian clock, rangkaian buffer, control bus dan decoder memori dan unit input output.

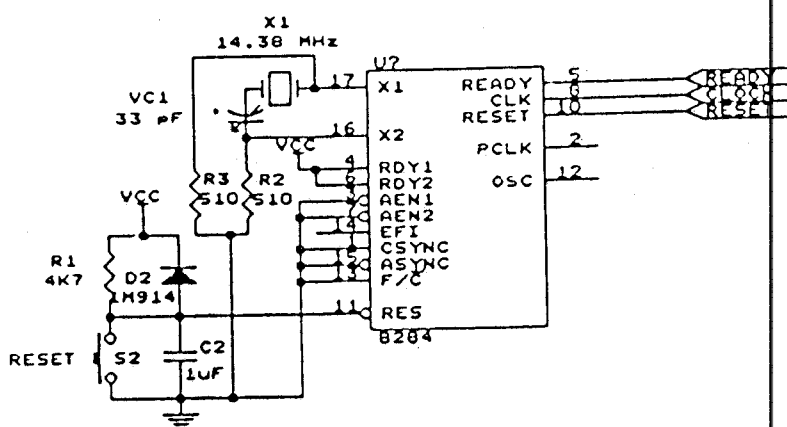
#### 5.2.1 Rangkaian clock

Dasar waktu untuk singkronisasi operasi-operasi internal dan eksternal mikroprosesor 8088 diberikan oleh input sinyal clok. Mikroprosesor 8088 yang beroperasi pada frekwensi clok 5 MHz. Clock secara eksternal dihasilkan oleh clok generator 8284. Dari gambar rangkaian clok terdapat dua output clock, yakni peripheral clock (PCLK) dan oscilator (OSC). Sinyal-sinyal ini diberikan untuk medrive IC-IC periperal. Sinyal clock output pada PCLK setengah dari frekwensi CLK, atau tergantung pada crystal yang dipasang. Sedangkan output OSC tiga kali lipat frekuensi output CLK.

Dalam perencanaan Tugas Akhir ini frekwensi clok 4.77 MHz digunakan crystal 14.31818 yang diinputkan pada X1 dan X2 dari 8284. Untuk lebih jelasnya dapat dilihat pada gambar 5.2.

### 5.2.2 Rangkaian reset

Pada waktu catu daya diberikan untuk pertama kali pada mikroprosesor (saat power up), semua register termasuk program counternya berada dalam keadaan acak (random). Karena itu diperlukan cara tertentu agar PC menunjuk pada lokasi awal program.



GAMBAR 5.2 RANGKAIAN CLOCK DAN RESET 8284

Sinyal reset juga diperlukan oleh CPU 8088 untuk menghentikan semua aktifitas yang dikerjakan dan memulai mengerjakan aktifitas awal. Secara normal sinyal reset digunakan untuk memulai sistem atau bila sistem gagal. Ketika sinyal reset "high" CPU 8088 akan melakukan instruksi yang ada pada address absolut FFFOH.

Untuk menghasilkan sinyal reset ini direncanakan dengan menggunakan sebuah schmitt trigger berbentuk gate NAND dan switch push button. Saat switch belum ditekan maka, output schmitt trigger sistem akan terreset.

### 5.2.3 Buffer

Buffer digunakan untuk menambah kemampuan mikroprosessor agar dapat dibebani beberapa IC.

Dalam perencanaan Tugas Akhir ini dibuat rangkaian buffer 74LS244 unidirectional untuk A8 sampai A15 dimana ke dua pin enable dari 74LS244 diketanahkan, untuk memisahkan antara address data pada pin ADO sampai AD7 menggunakan IC 74LS373 latch, di mana output controlnya diketanahkan, sedang pin latch enablenya dihubungkan langsung ke pin ALE 8088. Untuk address A16 sampai A19 diberikan IC latch 74LS373 di mana pin latch enablenya dihubungkan dengan ALE dari 8088. Untuk memperoleh data maka pin-pin ADO-AD7 juga dihubungkan ke bidirectional buffer 74LS245, dimana pin enablenya dihubungkan dengan pin DEN dari 8088, sedang pin directionalnya dihubungkan ke pin DT/R dari 8088.

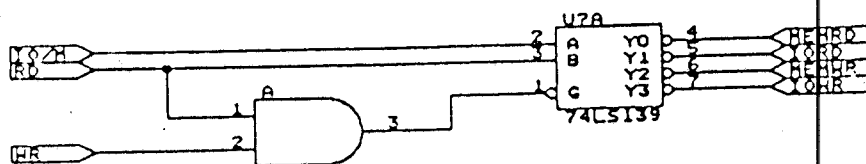
Rangkaian lengkap dari buffer dapat dilihat pada lampiran B pada bagian akhir buku ini.

### 5.2.4 Control bus

Untuk mendapatkan control bus, pin-pin IO/M dan RD masing-masing dihubungkan ke pin A dan B dari decoder 74LS139. Pin G dari 74LS139 dihubungkan dengan input RD dan WR yang merupakan sinyal aktif low dari 8088. Maka tabel kebenaran dari decoder 74LS139 adalah sebagai berikut :

TABEL 5.1 TABEL KEBENARAN DEKODER 74LS139

RD	IO/M	PIN YANG AKTIF
0	0	Y0 = MEMRD
0	1	Y1 = IORD
1	0	Y2 = MEMWR
1	1	Y3 = IOWR



GAMBAR 5.3 RANGKAIAN CONTROL BUS

#### 5.2.5 Rangkaian decoder memori

Sebelum merencanakan sistem hardware, terlebih dahulu dibuat memori map untuk mengalokasikan komponen memori yang digunakan. Pada gambar 5.4 diperlihatkan memori map dari sistem. Dalam perencanaan ini digunakan dua jenis memori yaitu ROM dan RAM.

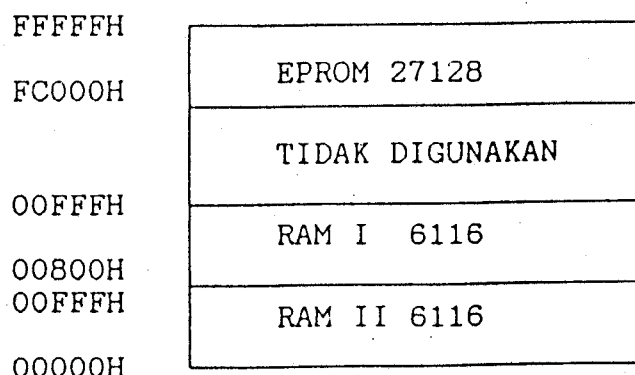
Pada perencanaan tugas akhir ini digunakan chip ROM dengan kapasitas 16KB (27128). Sedang untuk menyimpan data resident dipakai RAM 6116 (2KB)

1. Address 0000H - 007FFH, digunakan untuk RAM 6116 yang berfungsi untuk menyimpan data offset antar persimpangan dan jumlah kendaraan.
2. Address 00800H-00FFFH, yang berfungsi untuk ekspansi

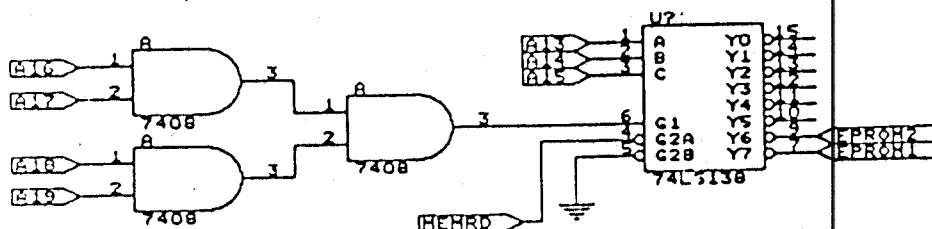
memori.

3. Address 01000H - FBFFFH, tidak digunakan
4. Address FC000H - FFFFFH, digunakan untuk EPROM yang berisi program untuk menjalankan seluruh sistem.

Untuk rangkaian decoder dipakai IC 74LS138 yakni suatu chip decoder 3 input 8 output. Sedangkan lengkapnya dapat dilihat pada gambar 5.5 untuk rangkaian decoder ROM dan gambar 5.6 untuk rangkaian decoder RAM.



GAMBAR 5.4 MEMORI MAP SISTEM



GAMBAR 5.5 RANGKAIAN DECODER ROM

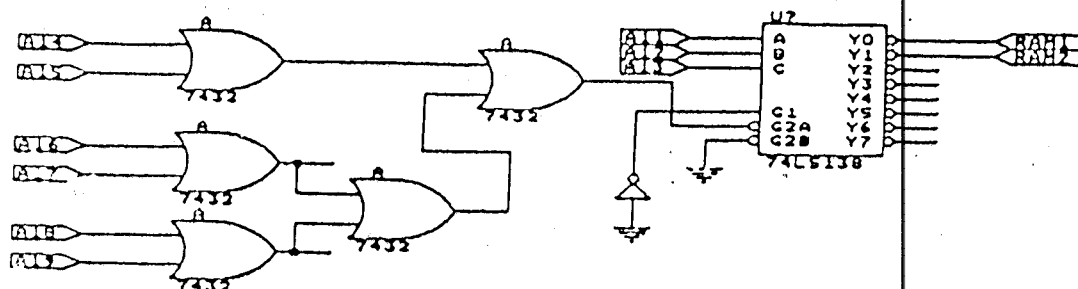
Jika diperhatikan untuk ROM 27128 mempunyai zone A13

sampai A19. Maka bila disusun dalam tabel perencanaan decoder, seperti pada tabel 5.2

TABEL 5.2 PERENCANAAN DECODER ROM.

		A19 - A0
EPROM 27128	FFFFFH	1111 1111 1111 1111 1111
	FC000H	1111 1100 0000 0000 0000

Sedangkan pada RAM 6116 mempunyai zone A11 sampai A19, maka bila disusun dalam tabel akan dihasilkan tabel 5.3 perencanaan decoder.



GAMBAR 5.6 RANGKAIAN DECODER RAM

TABEL 5.3 PERENCANAAN DECODER RAM

		A19 - A0
RAM 1 6116	00000H	0000 0000 0000 0000 0000
	00FFH	0000 0000 0111 1111 1111
RAM 2 6116	00800H	0000 0000 1000 0000 0000
	01FFFH	0000 0001 1111 1111 1111

### 5.2.6 Rangkaian decoder unit input output

Seperti halnya dalam decoding memori, maka komponen I/O perlu untuk di dekoding untuk mengatur lokasi dari beberapa chip I/O. Pada perencanaan Tugas Akhir ini dipakai 8255 yang memerlukan pengaturan alamat. Dalam perencanaan Tugas Akhir ini, untuk port A, B, C, dan CONW diberikan alamat 20, 21, 22, dan 23. Tabel 5.4 memperlihatkan pengalaman dari PPI 8255.

TABEL 5.4 ALAMAT PORT 8255

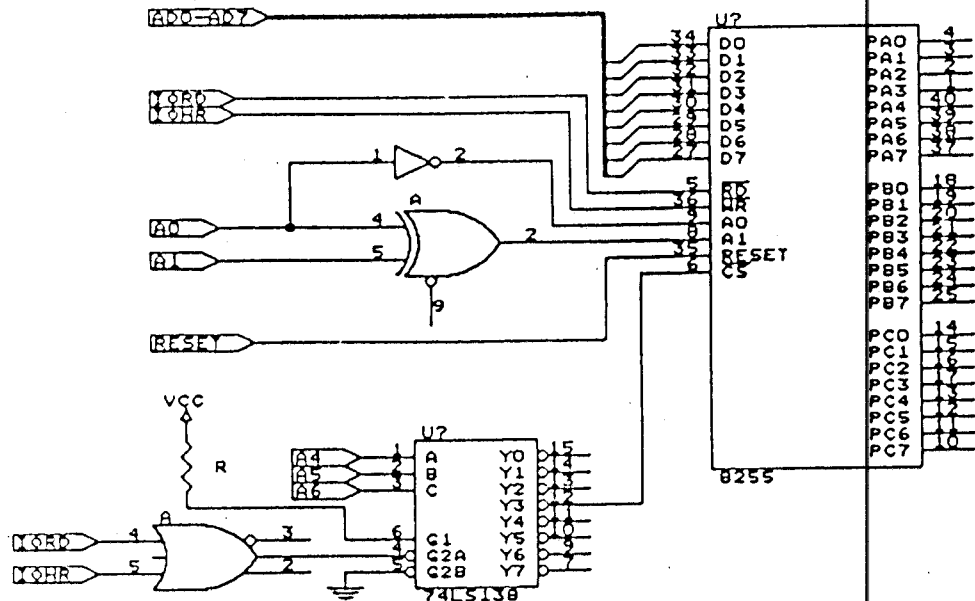
ALAMAT	A7	A6	A5	A4	A3	A2	A1	A0	
20	0	0	1	0	0	0	0	0	PORT A 8255
21	0	0	1	0	0	0	0	1	PORT B 8255
22	0	0	1	0	0	0	1	0	PORT C 8255
23	0	0	0	0	0	0	1	1	CONTOL WORD

Dari hasil tabel konfigurasi alamat maka dapat direncanakan hubungan pin-pin dari decoder yang dipakai yaitu 74LS138 yang mempunyai masukan sebanyak 6 pin. Skema dari rangkaian decoder I/O dapat dilihat pada gambar 5.7 yang menunjukkan hubungan pin-pin masukan dan pin-pin keluaran dari decoder 74LS138.

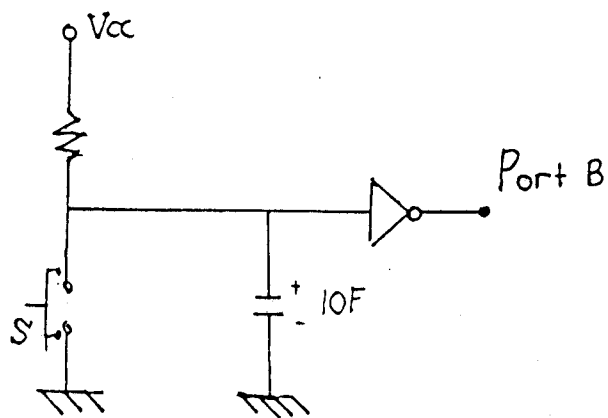
### 5.3 Rangkaian Detektor

Pada pembuatan model lampu lalu lintas ini untuk mendeteksi kepadatan kendaraan pada ruas JL. Blauran, digunakan detektor pust button yang bekerja berdasarkan

atas penekanan. Pada detektor masuk maka jika pust button



GAMBAR 5.7 RANGKAIAN DECODER I/O



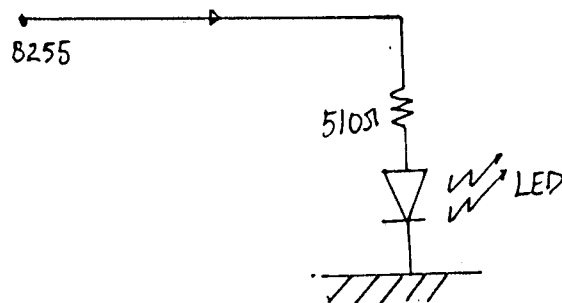
GAMBAR 5.8 RANGKAIAN DETEKTOR KENDARAAN

ditekan berarti ada kendaraan masuk dan pada detektor keluar bila pust button ditekan berarti ada kendaraan

lewat. Dimana pada setiap penekanan adalah satu SMP, sedangkan rangkaianya dapat dilihat pada gambar 5.8.

#### 5.4 Rangkaian keluaran

Seperti yang telah dijelaskan di bab terdahulu, bahwa sistem yang dibuat hanya berupa model bagi lampu-lampu lalu lintas maka, keluaran dari sistem ini berupa sinyal untuk menghidupkan atau mematikan lampu LED. Rangkaian untuk menghubungkan PPI 8255 dengan lampu LED ditunjukkan pada gambar 5.9



GAMBAR 5.9 RANGKAIAN UNTUK MENYALAKAN LED

#### 5.5 Perencanaan Software

Perencanaan perangkat keras seperti yang telah diuraikan di depan tidak akan dapat berfungsi bila tidak didukung oleh perangkat lunak. Perangkat lunak ini merupakan suatu program untuk mengaktifkan perangkat keras. Jadi perangkat lunak ini digunakan untuk mengatur kerja dari sistem secara keseluruhan mulai dari inisialisasi, pembacaan data dari detektor, pengolahan data, dan akhirnya mengendalikan nyala lampu LED.

Langkah pertama untuk merencanakan perangkat lunak adalah membuat suatu diagram pewaktuan bagi urutan penyalaan masing-masing LED dan kemudian diagram alirnya (flow chart bagi sistem yang dibuat). Selanjutnya baru disusun programnya.

Flow chart dari perencanaan alat ini dapat dilihat pada gambar 5.10 di bawah ini. sedangkan program dari sistem ini dapat dilihat dilampiran A.

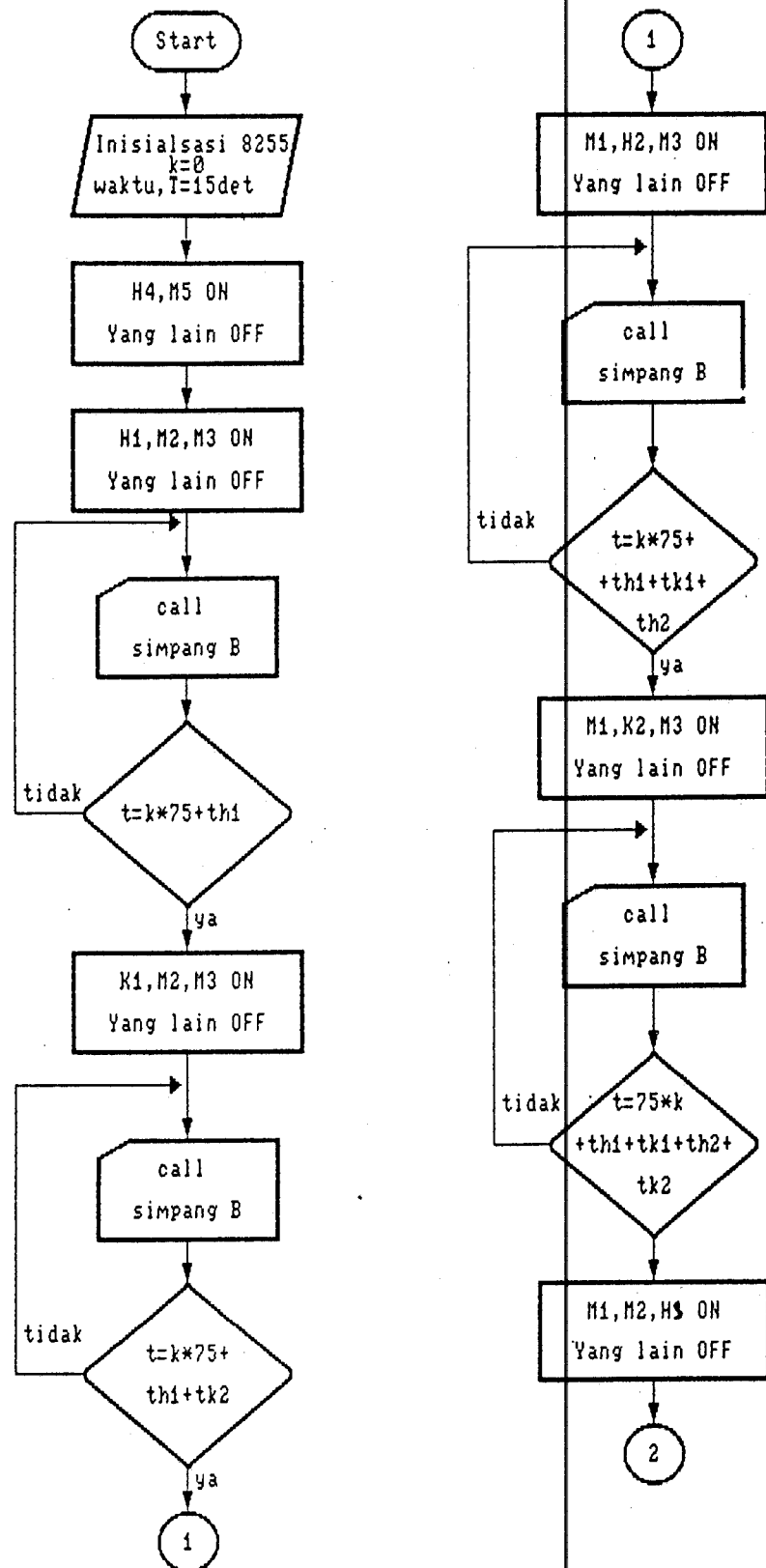
## 5.6 Penerapan Sistem Rancangan

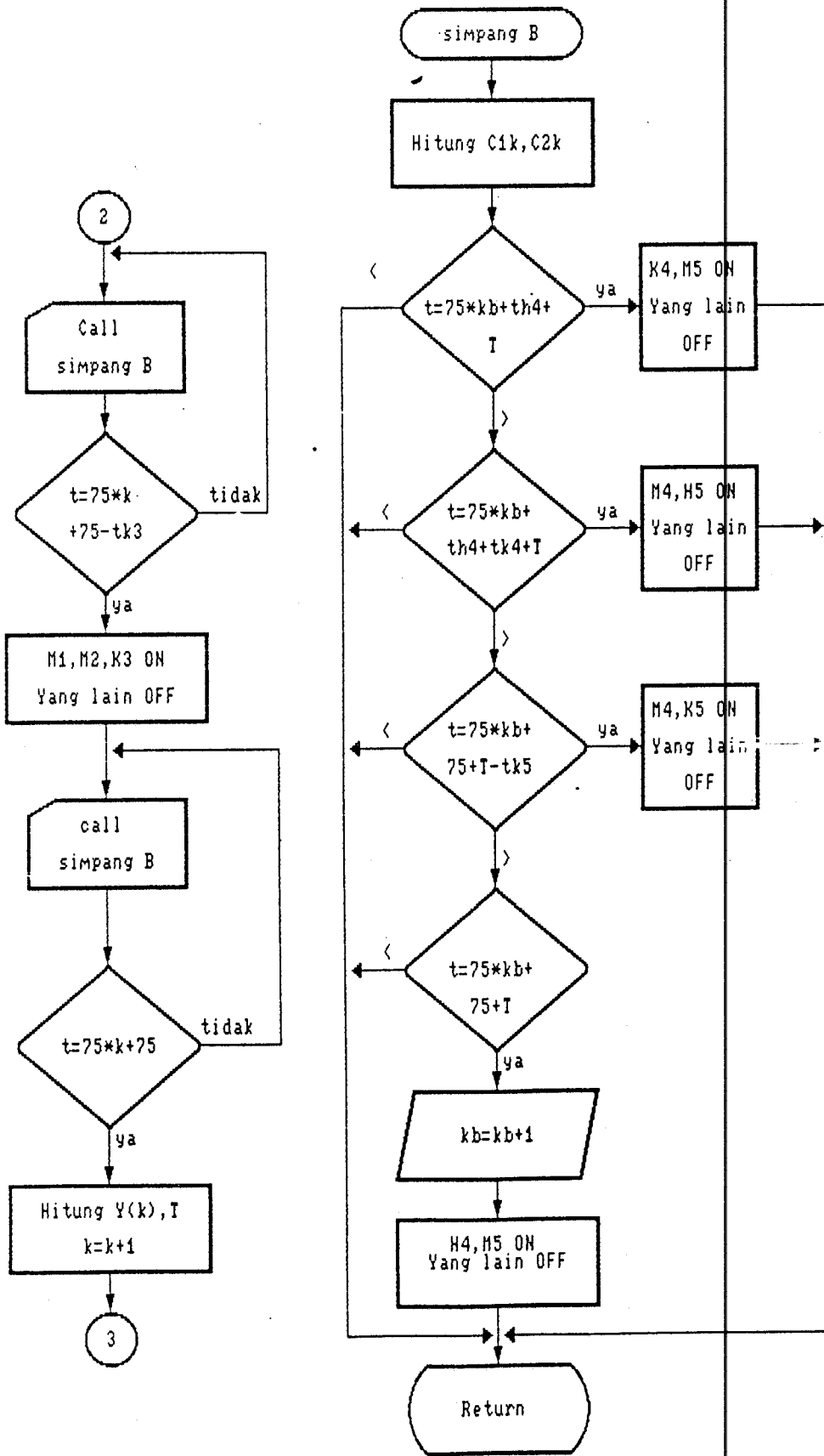
Untuk menerapkan hasil rancangan model lampu lalu lintas sistem progresif tersebut, maka perlu diadakan beberapa modifikasi pada model yang ada, meliputi modifikasi sistem detektor dan rangkaian keluaran.

### 5.6.1 Modifikasi rangkaian sistem detektor

Sistem detektor yang dipakai pada modul rancangan model tentunya tidak dapat dipakai untuk keperluan yang sebenarnya. Ada beberapa sistem detektor kepadatan kendaraan yang dapat digunakan, yang bekerja berdasarkan sinar infra merah, ultrasonik, kamera, dan lain-lain. Pada lampiran dapat dilihat dengan jelas perbandingan beberapa jenis detektor serta keuntungan dan kerugiannya.

Sistem detektor yang harus dipasang tersebut harus memenuhi persyaratan bahwa detektor tidak mudah terpengaruh oleh kondisi cuaca lingkungan sekitar di mana detektor dipasang.

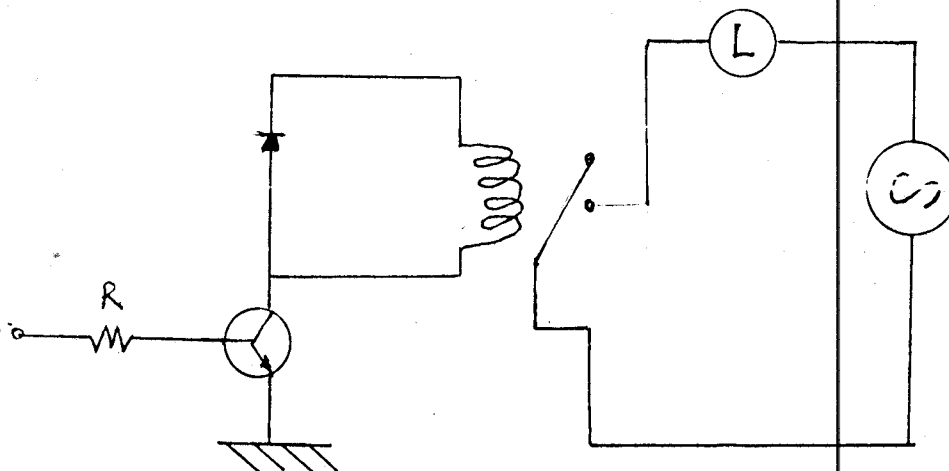




GAMBAR 5.10 FLOW CHART DARI SISTEM YANG DIBUAT

### 5.6.2 Modifikasi rangkaian keluaran

Untuk keperluan yang sebenarnya, maka lampu yang dipakai adalah lampu AC yang dihubungkan dengan jala-jala PLN. Dengan demikian diperlukan rangkaian tersendiri yang dapat memisahkan antara sinyal digital dengan sinyal analog. Rangkaian ini dapat dilihat gambar 5.11



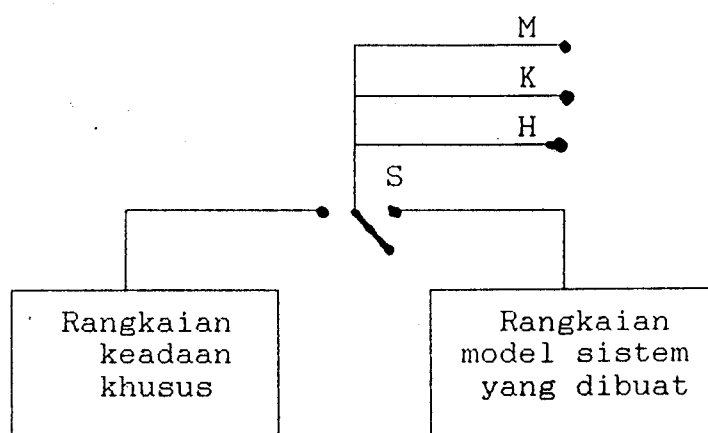
GAMBAR 5.11 RANGKAIAN KELUARAN 8255 DENGAN JALA-JALA PLN

### 5.7 Keadaan Khusus.

Bila ada suatu keadaan khusus yang harus mendapat prioritas, misalnya ada rombongan pejabat tinggi yang akan lewat, maka diperlukan suatu penanganan nyala lampu lalu lintas secara tersendiri pula pada daerah tersebut.

Kalau diambil contoh bahwa rombongan kendaraan yang mendapat prioritas tersebut akan melintasi persimpangan A Jl.Blauran ke Jl.Bubutan, maka pada saat rombongan ter-

sebut tiba, lampu H1, M2, M3 harus menyala pada persimpangan A. Sedangkan pada persimpangan B, lampu H4 dan M5 harus menyala. Hal ini dapat dilakukan dengan memindahkan saklar S ke keadaan khusus.



GAMBAR 5.12 PENANGANAN KEADAAN KHUSUS

## BAB VI

KESIMPULAN DAN SARAN

---

Dari uraian Tugas Akhir ini dapat diambil kesimpulan sebagai berikut :

- Pada suatu daerah di mana terdapat banyak deretan persimpangan jalan, penerapan sistem lampu lalu lintas sistem progresif lebih menguntungkan dibanding dengan sistem lain yang berdiri sendiri.
- Penggunaan minimum sistem dengan mikroprosesor 8088 untuk mengatur nyala lampu lalu lintas yang dilengkapi dengan rangkaian detektor kepadatan lalu lintas ini sangat tepat, karena setelah kepadatan lalu lintas terukur di umpan balikkan ke mikroprosesor. Sehingga mikroprosesor akan memberikan suatu keputusan yang tepat pada harga offset yang sesuai.
- Setiap kali offset berubah naik maka memperpanjang nyala lampu hijau pada phase empat pada siklus tersebut. Juga setiap kali offset turun, maka memperpanjang nyala lampu hijau phase lima pada siklus tersebut.
- Pemakaian minimum sistem dalam berbagai bidang dapat memberikan suatu kemudahan. Untuk keperluan yang berbeda hanya diperlukan sedikit modifikasi pada perangkat keras dan lunaknya.

Sudah menjadi tuntutan saat ini untuk mengkoordinasi<sup>8</sup> antar persimpangan yang berdekatan dan saling mempengaruhi, selanjutnya dari koordinasi antar persimpangan dikoordinasikan persimpangan-persimpangan dalam suatu kota yang diawasi oleh komputer sebagai pusat pengendalian.

## DAFTAR PUSTAKA

1. Douglas V. Hall, Microprocessor and Interfacing programming and Hardware, McGraw Hill Book Co. Singapore, 1986.
2. Eddy Napitulu, Studi Pemberahan Arus lalu lintas di Daerah Wonokromo, Tugas Akhir Sipil ITS 1989.
3. Happy Budhiati, Studi Dua persimpangan di Jalan Kusuma bangsa, Tugas Akhir Sipil ITS 1987.
4. James W. Coffron, Z80 Applications, Berkeley 1983.
5. James W. Coffron, Programming The 8086/8088, Sybex Inc, Berkeley California, 1984.
6. Lewis C. Eggerbrecht, Interfacing to IBM Personal Computer, Horward M. Sams & Co. Inc. 1985.
7. Martin Wohldan Brian V. Martin, Traffic System Analysis, McGRAW-HILL New York 1967.
8. Mischa Schwartz & Leonard Shaw, Signal processing, Discrete Spectral Analysis, Detections and Estimation.
9. Singh Avtar and Walter A. triebel, The 8088 Microprocessor Programming, Interfacing, Software, Hardware, and Applications, Prentice-Hall internasional Inc., Englewood Cliffs, 1989.
- 10 Theodore M. Matson dan Wilbur S. Smith dkk., Traffic Engineering, McGRAW-HILL, New York 1955.

```

=====
;=
;=      Program simulasi traffic light
;=
;=          oleh :
;=
;=      Mokhammad Solehuddin
;=      2852200390
;=
;=
;=      PORT A | D7 D6 D5 D4 D3 D2 D1 DO |
;=              |-----|
;=              | K3 H3 H1 K1 M1 H2 K2 M2 |
;=              |-----|
;=
;=      PORT C | D7 D6 D5 D4 D3 D2 D1 DO |
;=              |-----|
;=              | - M5 M3 H4 K4 M4 H5 K5 |
;=              |-----|
=====
```

Counter	equ 020h	;Variabel
AllCounter	equ 030h	
Offset	equ 040h	
Periode	equ 050h	
StatusLama	equ 060h	
StatusBaru	equ 070h	
StatusMed	equ 080h	
Kendaraan	equ 090h	
LED1	equ 0A0h	
LED2	equ 0E0h	
Digit13	equ 0C0h	
Digit24	equ 0D0h	
DataKu	equ 0E0h	
PortA1	equ 250h	;PPI pertama
PortB1	equ 251h	
PortC1	equ 252h	
PortCW1	equ 253h	
PortA2	equ 020h	;PPI kedua
PortB2	equ 021h	
PortC2	equ 022h	
PortCW2	equ 023h	
th1	equ 27	;Waktu Hijau 1
th2	equ 20	;Waktu Hijau 2
th3	equ 13	;Waktu Hijau 3
th4	equ 49	;Waktu Hijau 4
th5	equ 16	;Waktu Hijau 5
tk	equ 5	;Waktu Kuning

```

Sys8088 segment
assume cs:sys8088,ds:sys8088,ss:sys8088,es:sys8088
org 0
db 2000h dup (0FFh)
org 0

Awal:
Cli
mov ax,0 ;Inisialisasi Stack
mov ss,ax
mov ax,07FFh
mov sp,ax
mov ax,0
mov ds,ax
mov al,10000010b ;Inisialisasi PPI8255
mov dx,PortCW1 ;Port A - K3H3H1K1M1H2K2M2
out dx,al ;Port B - Input keyboard
;Port B7 - Input Time Base 1 Hz
;Port C - xxM5M3H4K4M4H5K5
mov al,10000000b ;Port B - Data 7's Segment
mov dx,PortCW2 ;Port C - Control 7's Segment
out dx,al

BalikNol: ;Clear buffer
mov si,0
mov cx,0ffh
mov al,0

NolKan:
mov [ds:si],al
inc si
loop NolKan
mov [ds:Counter],al ;Counter=0
mov al,15
mov cx,6
mov bx,0
mov si,DataKu

Isi05:
mov [ds:si+bx],al
inc bx
loop Isi05
mov cx,5
mov al,16
mov bx,6

Isi610:
mov [ds:si+bx],al
inc bx
loop Isi610
mov al,17
mov cx,5
mov bx,11

```

Isi1118:

```
    mov    [ds:si+bx],al
    inc    bx
    mov    [ds:si+bx],al
    inc    bx
    inc    al
    loop   Isi1118
    mov    cx,8
    mov    al,21
    mov    bx,19
```

Isi1926:

```
    mov    [ds:si+bx],al
    inc    bx
    inc    al
    Loop   Isi1926
    mov    al,30
    mov    [ds:si+bx],al
    mov    al,31
    mov    cx,4
    mov    bx,28
```

Isi2831:

```
    mov    [ds:si+bx],al
    inc    bx
    inc    al
    inc    al
    Loop   Isi2831
    mov    cx,4
    mov    al,41
    mov    bx,32
```

Isi3235:

```
    mov    [ds:si+bx],al
    inc    al
    inc    al
    inc    al
    inc    bx
    loop   Isi3235
    mov    al,54
    mov    cx,10
    mov    bx,36
```

Isi36L:

```
    mov    [ds:si+bx],al
    inc    al
    inc    al
    inc    al
    inc    al
    inc    bx
    Loop   Isi36L
    mov    dx,PortB1
    in     al,dx
    and   al,80h
```

```

mov [ds:StatusLama],al
mov ax,0
mov [ds:Kendaraan],ax ;Kendaraan=0
mov al,15
mov [ds:Offset],al ;offset (T) = 15
mov ax,0
mov [ds:AllCounter],ax ;Waktu = 0
mov [ds:Periode],al ;periode = 0
mov dx,PortB1
mov ah,[ds:StatusLama] ;Menunda 1 dt

```

## Tunda1Hz:

```

in al,dx
and al,80h
cmp al,ah
jz Tunda1Hz
mov [ds:statusLama],al
mov [ds:StatusMed],al
mov byte ptr [ds:LED1],00100001b ;H1M2M3H4M5
mov byte ptr [ds:LED2],01110000b
call NyalaLED
call TampilKendaraan

```

## LoopAwal:

```

call CheckTime ;Bandingkan Counter dengan
mov ah,th1 ;Waktu Hijau 1
mov al,[ds:Counter]
cmp al,ah
jb LoopAwal
mov byte ptr [ds:LED1],00010001b ;H1-K1
call NyalaLED

```

## Awal2:

```

call CheckTime ;Bandingkan Counter dengan
mov ah,th1 ;Waktu Hijau 1 +
add ah,tk ;Waktu Kuning +
mov al,[ds:Counter]
cmp al,ah
jb Awal2
mov byte ptr [ds:LED1],00001100b ;K1-M1 = M2-H2
call NyalaLED

```

## Awal3:

```

call CheckTime ;Bandingkan Counter dengan
mov ah,th1 ;Waktu Hijau 1 +
add ah,tk ;Waktu Kuning +
add ah,th2 ;Waktu Hijau 2 +
mov al,[ds:Counter]
cmp al,ah
jb Awal3
mov byte ptr [ds:LED1],00001010b ;H2-K2
call NyalaLED

```

```

Awal4:
    call CheckTime           ;Bandingkan Counter dengan
    mov ah,th1                ;Waktu Hijau 1 +
    add ah,tk                 ;Waktu Kuning +
    add ah,th2                ;Waktu Hijau 2 +
    add ah,tk                 ;Waktu Kuning
    mov al,[ds:Counter]
    cmp al,ah
    jb Awal4
    mov byte ptr [ds:LED1],01001001b   ;K2-M2 = M3-H3
    mov al,[ds:LED2]
    and al,11011111b          ;M3-H3
    mov [ds:LED2],al
    call NyalaLED

Awal5:
    call CheckTime           ;Bandingkan Counter dengan
    mov ah,th1                ;Waktu Hijau 1 +
    add ah,tk                 ;Waktu Kuning +
    add ah,th2                ;Waktu Hijau 2 +
    add ah,tk                 ; Waktu Kuning +
    add ah,th3                ;Waktu Hijau 3
    mov al,[ds:Counter]
    cmp al,ah
    jb Awal5
    mov byte ptr [ds:LED1],10001001b   ;H3-K3
    call NyalaLED

Awal6:
    Call CheckTime           ;Check counter apakah
    mov al,[ds:Counter]        ;sudah 75 detik ?
    cmp al,75
    jb Awal6
    mov byte ptr [ds:Counter],0      ;Counter = 0
    call hitung                ;Hitung T (offset)
    mov Byte ptr [ds:LED1],00100001b
    mov al,[ds:LED2]            ;H1M2M3
    or al,0010000b
    mov [ds:LED2],al
    Call NyalaLED
    jmp LoopAwal

CheckTime proc near
    push ax
    push bx
    push dx

CTO:
    mov bx,[ds:Kendaraan]     ;Check kendaraan
    mov dx,PortB1              ;Port B untuk kendaraan
    in al,dx                  ;B7 - 1 Hz
    mov ah,al                  ;B5 - Input 1
    and al,20h                 ;B4 - Input 2
    jnz CT1                   ;B3 - Input 3

```

```
inc    bx           ;B2 - Output 1

CT1:      mov    al,ah        ;B1 - Output 2
          and    al,10h       ;B0 - Output 3
          jnz    CT2
          inc    bx

CT2:      mov    al,ah
          and    al,8
          jnz    CT3
          inc    bx

CT3:      mov    al,ah
          and    al,4
          jnz    CT4
          cmp    bx,0
          je     CT6
          dec    bx

CT4:      mov    al,ah
          and    al,2

          jnz    CT5
          cmp    bx,0
          je     CT6
          dec    bx

CT5:      mov    al,ah
          and    al,1
          jnz    CT6
          cmp    bx,0
          je     CT6
          dec    bx

CT6:      mov    [ds:Kendaraan],bx
          Call   TampilKendaraan
          mov    dx,PortB1
          in    al,dx
          and    al,7Fh
          cmp    al,7Fh
          je     CT7
          Call   delay

CT7:      mov    ah,[ds>StatusMed]
          mov    dx,PortB1
          in    al,dx
          and    al,80h
```

```

    cmp al,ah
    je CTO           ;Check satu detik
    mov [ds>StatusMed],al
    mov ah,[ds>StatusLama]
    cmp al,ah
    jne CTO
    mov al,[ds:Counter]   ;Naikkan Counter
    inc al
    mov [ds:Counter],al
    mov ax,[ds:AllCounter] ;Naikkan waktu
    inc ax
    mov [ds:AllCounter],ax
    call Simpang        ;Simpangan ke dua
    pop dx
    pop bx
    pop ax
    ret
CheckTime endp

Hitung proc near
    push ax
    push bx
    mov bx,[ds:Kendaraan]
    cmp bx,42
    jbe HT1
    mov bx,42

HT1:
    mov si,DataKu
    mov al,[ds:si+bx]
    cmp al,75
    jbe HT2
    mov al,75

HT2:
    mov [ds:Offset],al
    pop bx
    pop ax
    ret
Hitung endp

Simpang proc near
    push ax
    push dx
    mov al,[ds:Periode]      ;Periode
    mov ah,0
    mov dl,75                ; * 75
    mul dl
    mov dx,ax
    mov al,th4
    mov ah,0
    add dx,ax                ; + waktu hijau 4
    mov al,[ds:Offset]
    mov ah,0

```

```

add  dx,ax          ; + offset (T)
mov  ax,[ds:AllCounter]
cmp  ax,dx          ; Bandingkan waktu dengan
jb   sip             ; Hasil diatas
jne  Simpang1
mov  ah,[ds:LED2]    ; H4-K4
and  ah,0010000b
or   ah,0100100b    ; K4M5
mov  [ds:LED2],ah
call NyalaLED
Sip:
jmp  Simpang5

Simpang1:
mov  ah,0
mov  al,tk
add  dx,ax          ; + waktu kuning
mov  ax,[ds:AllCounter] ; Bandingkan waktu dengan
cmp  ax,dx          ; Hasil diatas
jb   Simpang5
jne  Simpang2
mov  ah,[ds:LED2]    ; K4-M4
and  ah,0010000b
or   ah,00000110b   ; M4H5
mov  [ds:LED2],ah
call NyalaLED
jmp  Simpang5

Simpang2:
mov  al,[ds:Periode] ; Periode
inc  al              ; Periode = Periode + 1
mov  dl,75
mul  dl              ; * 75
mov  dx,ax
mov  al,tk
mov  ah,0
sub  dx,ax          ; - waktu kuning
mov  al,[ds:Offset]
mov  ah,0
add  dx,ax          ; + T
mov  ax,[ds:AllCounter] ; Bandingkan waktu dengan
cmp  ax,dx          ; Hasil diatas
jb   Simpang5
jne  Simpang3
mov  ah,[ds:LED2]    ; H5-K5
and  ah,0010000b
or   ah,00000101b   ; M4K5
mov  [ds:LED2],ah
call NyalaLED
jmp  Simpang5

Simpang3:
mov  ah,0
mov  al,tk

```

```

add  dx,ax          ; + Waktu kuning
mov  ax,[ds:AllCounter] ; Bandingkan Waktu dengan
cmp  ax,dx          ; Hasil diatas
jb   Simpang5
mov  al,[ds:Periode] ; Periode = Periode + 1
inc  al
mov  [ds:Periode],al
mov  ah,[ds:LED2]    ; H4M5
and  ah,0010000b
or   ah,0101000b
mov  [ds:LED2],ah
call NyalaLED

```

Simpang5:

```

pop  dx
pop  ax
Ret
Simpang endp

```

```

NyalaLED proc near
push dx
push ax
mov  al,[ds:LED1]
mov  dx,PortA1
out  dx,al          ;Nyalakan LED group 1
mov  al,[ds:LED2]
mov  dx,PortC1
out  dx,al          ;Nyalakan LED group 2
pop  ax
pop  dx
ret
NyalaLED endp

```

```

TampilKendaraan proc near
Push ax
Push dx
call Conversi
mov  al,[ds:Digit13]
mov  dx,PortB2
out  dx,al
mov  al,1
mov  dx,PortC2
out  dx,al
mov  al,0
mov  dx,PortC2
out  dx,al
mov  al,[ds:Digit24]
mov  dx,PortB2
out  dx,al
mov  al,2
mov  dx,PortC2
out  dx,al
mov  al,0
mov  dx,PortC2

```

```

out    dx,al
pop    dx
pop    ax
ret
TampilKendaraan endp

Conversi proc near
Push   ax
Push   bx
Push   cx
Push   dx
mov    ax,[ds:Kendaraan]
mov    dx,0
mov    bx,1000
div    bx
cmp    al,9
jbe    CN1
mov    al,9

CN1:
mov    bh,al           ;bh - digit 1
mov    ax,dx
mov    dl,100
div    dl
mov    bl,al           ;bl - digit 2
mov    al,ah
mov    ah,0
mov    dl,10
div    dl           ;dl - digit 3
mov    dx,ax           ;dh - digit 4
mov    cl,4
shl    dl,cl
or     bh,dl
mov    [ds:Digit13],bh
mov    cl,4
shl    dh,cl
or     bl,dh
mov    [ds:Digit24],bl
Pop    dx
Pop    cx
Pop    bx
Pop    ax
ret
Conversi endp

delay proc near          ;Delay Time
push   ax
push   cx
push   dx
mov    cx,20000
Delay1:
mov    ah,[ds>StatusMed]
mov    dx,PortB1
in     al,dx

```

```
and    al,80h
cmp    al,ah
jne    Delay2
loop   Delay1

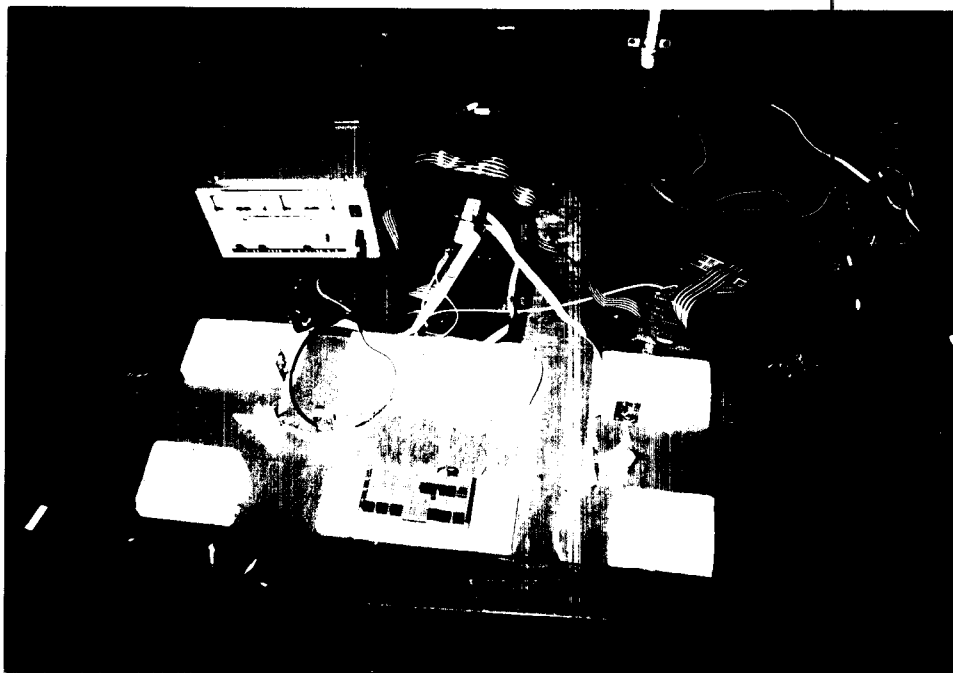
Delay2:
pop    dx
pop    cx
pop    ax
ret
delay endp

org 1FF0h
jmp Far ptr Awal

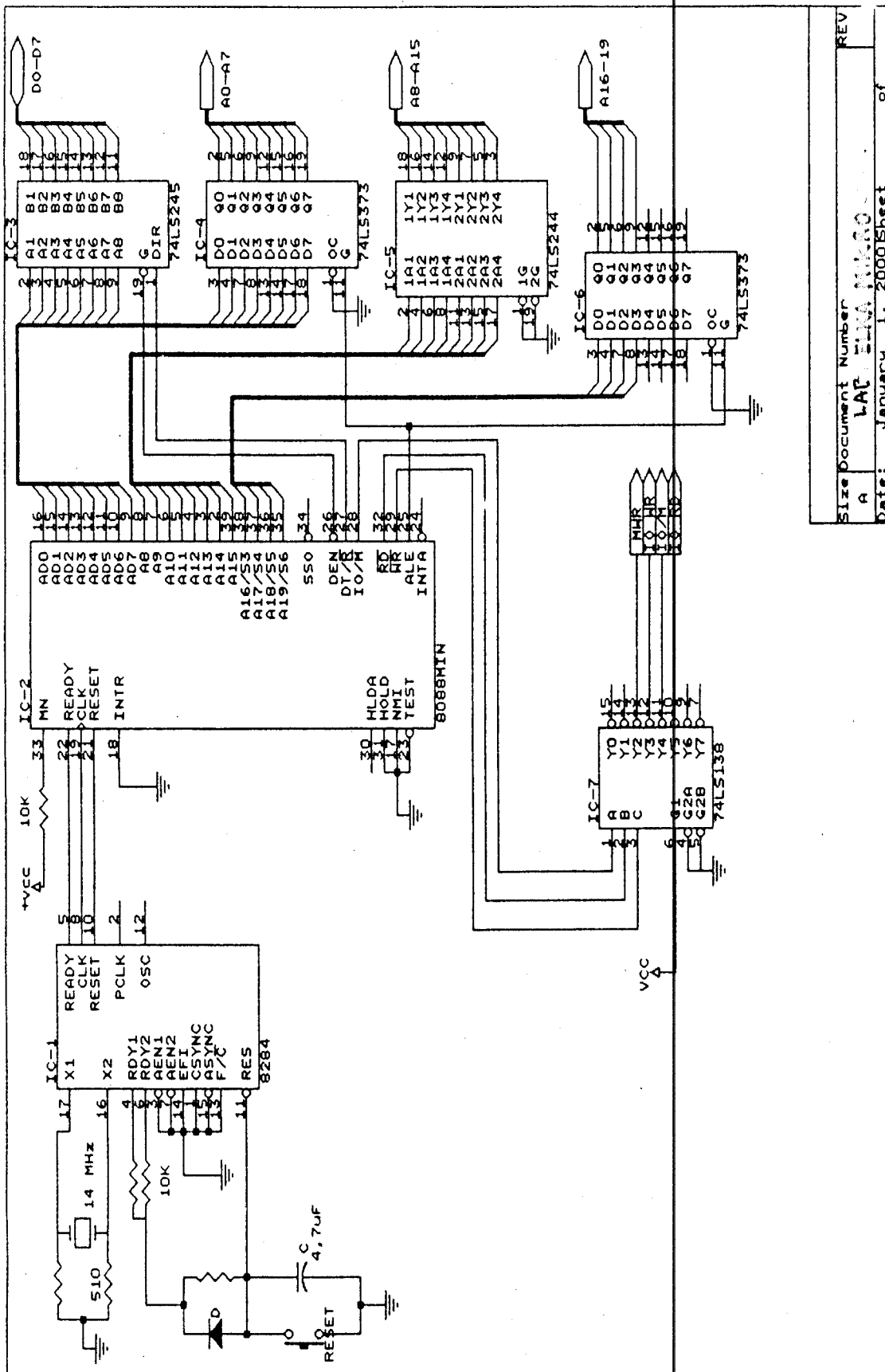
sys8088 ends
end
```

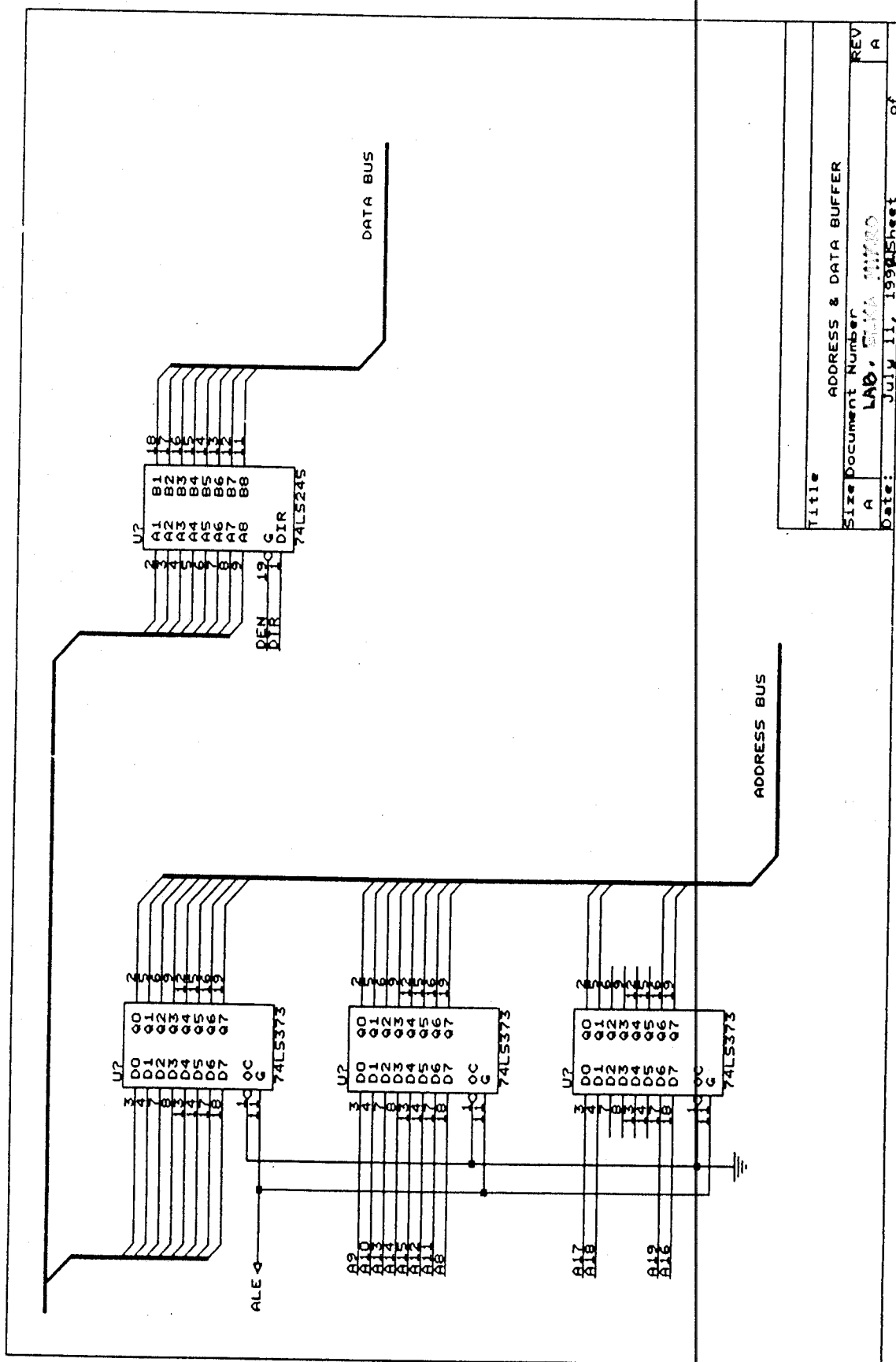


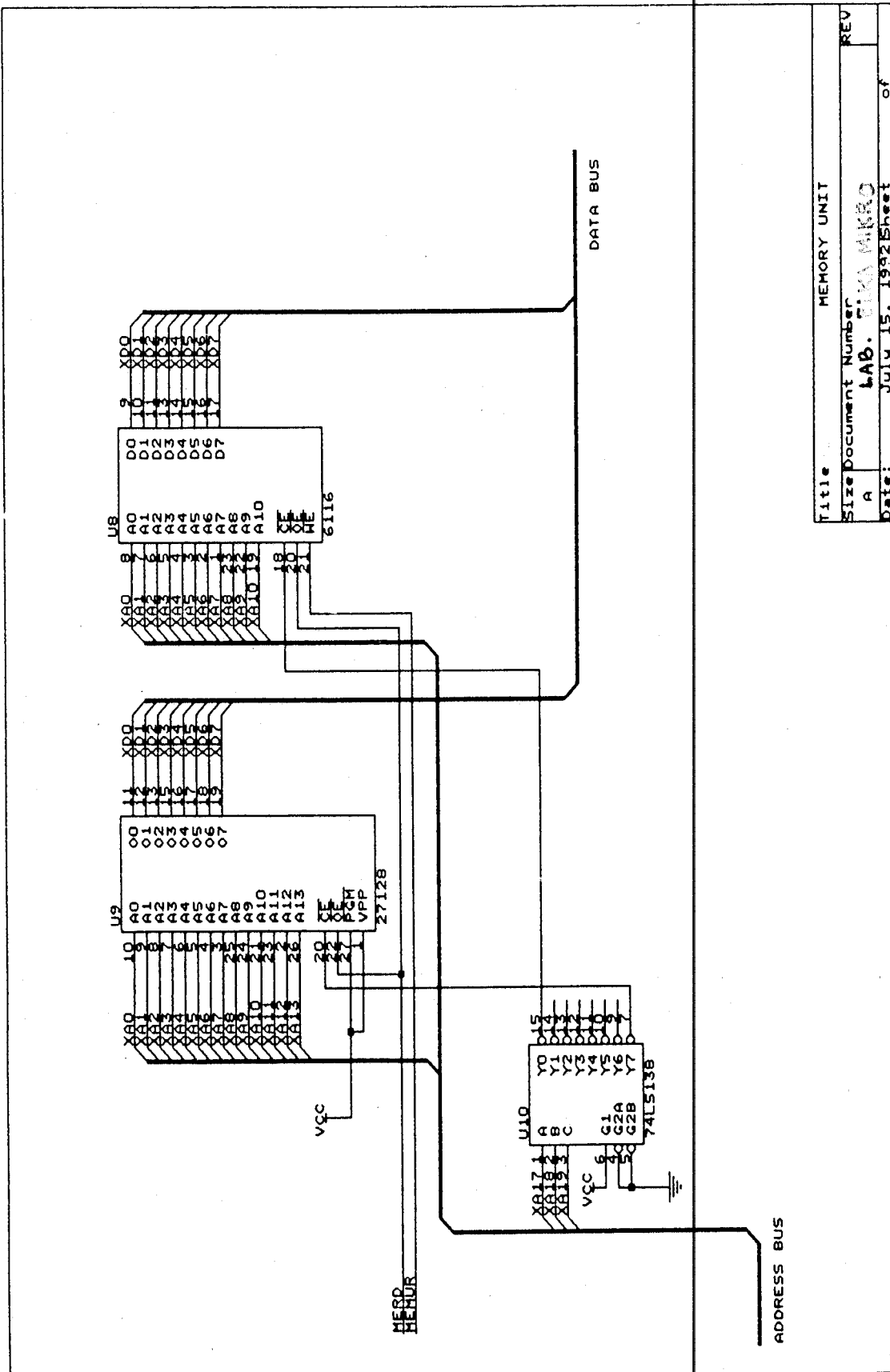
GAMBAR ALAT PENGATUR LAMPU LALU LINTAS  
DI INTERFACEKAN KE KOMPUTER

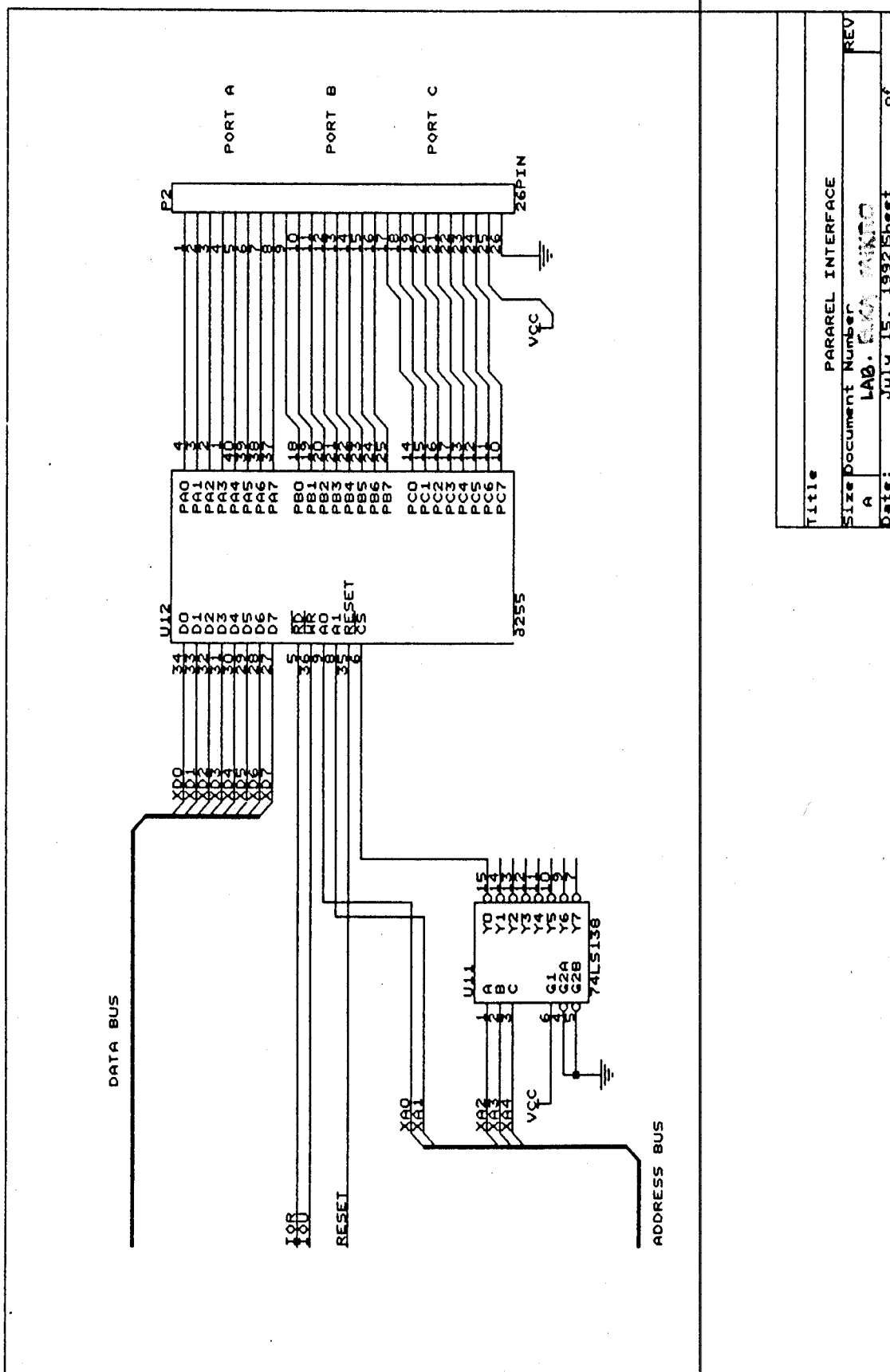


GAMBAR ALAT PENGATUR LALU LINTAS  
DENGAN MIKROPROSESSOR 8088









Title:		PARALLEL INTERFACE	
Size:		Document Number:	REV:
A	1	LAB. E&E	1
Date:		JULY 15, 1992 Sheet 1 of 4	

DATA SPOT SPEED DI JL.BLAURAN  
TANGGAL SURVE:SELASA, 2 JUNI 1992

: No	: WAKTU	: KEC	: KEC	: No	: WAKTU	: KEC	: KEC
:	: (dt)	: (m/dt)	: (km/jam)	:	: (dt)	: (m/dt)	: (km/jam)
:							
1	: 8.50	:	5.882	:	21.176	:	51
2	: 7.25	:	6.897	:	24.828	:	52
3	: 7.50	:	6.667	:	24.000	:	53
4	: 7.75	:	6.452	:	23.226	:	54
5	: 7.75	:	6.452	:	23.226	:	55
6	: 7.75	:	6.452	:	23.226	:	56
7	: 8.50	:	5.882	:	21.176	:	57
8	: 7.25	:	6.897	:	24.828	:	58
9	: 7.75	:	6.452	:	23.226	:	59
10	: 7.75	:	6.452	:	23.226	:	60
11	: 7.75	:	6.452	:	23.226	:	61
12	: 7.75	:	6.452	:	23.226	:	62
13	: 7.50	:	6.667	:	24.000	:	63
14	: 7.50	:	6.667	:	24.000	:	64
15	: 7.50	:	6.667	:	24.000	:	65
16	: 7.75	:	6.452	:	23.226	:	66
17	: 7.75	:	6.452	:	23.226	:	67
18	: 7.25	:	6.897	:	24.828	:	68
19	: 7.50	:	6.667	:	24.000	:	69
20	: 7.75	:	6.452	:	23.226	:	70
21	: 8.00	:	6.250	:	22.500	:	71
22	: 8.25	:	6.061	:	21.818	:	72
23	: 7.75	:	6.452	:	23.226	:	73
24	: 7.80	:	6.410	:	23.077	:	74
25	: 7.75	:	6.452	:	23.226	:	75
26	: 8.50	:	5.882	:	21.176	:	76
27	: 8.25	:	6.061	:	21.818	:	77
28	: 8.25	:	6.061	:	21.818	:	78
29	: 7.00	:	7.143	:	25.714	:	79
30	: 8.50	:	5.882	:	21.176	:	80
31	: 7.75	:	6.452	:	23.226	:	81
32	: 8.25	:	6.061	:	21.818	:	82
33	: 8.50	:	5.882	:	21.176	:	83
34	: 8.20	:	6.098	:	21.951	:	84
35	: 7.75	:	6.452	:	23.226	:	85
36	: 8.20	:	6.098	:	21.951	:	86
37	: 8.20	:	6.098	:	21.951	:	87
38	: 8.20	:	6.098	:	21.951	:	88
39	: 8.65	:	5.780	:	20.809	:	89
40	: 7.50	:	6.667	:	24.000	:	90
41	: 7.75	:	6.452	:	23.226	:	91
42	: 8.30	:	6.024	:	21.687	:	92
43	: 8.25	:	6.061	:	21.818	:	93
44	: 6.20	:	8.065	:	29.032	:	94
45	: 7.50	:	6.667	:	24.000	:	95
46	: 8.25	:	6.061	:	21.818	:	96
47	: 7.50	:	6.667	:	24.000	:	97
48	: 8.00	:	6.250	:	22.500	:	98
49	: 8.25	:	6.061	:	21.818	:	99
50	: 7.50	:	6.667	:	24.000	:	100
		RATA-RATA			KECEPATAN		6.355 : 22.877

DATA SPOT SPEED JL.PRABAN SISI UTARA  
TANGGAL SURVE:RABU, 3 JUNI 1992

=====				=====				=====			
No	WAKTU	KEC	KEC	No	WAKTU	KEC	KEC				
	(dt)	(m/dt)	(km/jam)		(dt)	(m/dt)	(km/jam)				
1	7.70	6.494	23.377	51	6.90	7.246	26.087				
2	7.60	6.579	23.684	52	6.90	7.246	26.087				
3	8.00	6.250	22.500	53	7.40	6.757	24.324				
4	8.20	6.098	21.951	54	7.60	6.579	23.684				
5	7.50	6.667	24.000	55	7.20	6.944	25.000				
6	7.60	6.579	23.684	56	7.30	6.849	24.658				
7	8.00	6.250	22.500	57	7.90	6.329	22.785				
8	8.40	5.952	21.429	58	7.50	6.667	24.000				
9	7.20	6.944	25.000	59	6.90	7.246	26.087				
10	7.00	7.143	25.714	60	6.20	8.065	29.032				
11	8.90	5.618	20.225	61	7.20	6.944	25.000				
12	8.00	6.250	22.500	62	6.30	7.937	28.571				
13	7.50	6.667	24.000	63	6.80	7.353	26.471				
14	8.40	5.952	21.429	64	6.20	8.065	29.032				
15	8.60	5.814	20.930	65	6.90	7.246	26.087				
16	8.20	6.098	21.951	66	6.50	7.692	27.692				
17	7.20	6.944	25.000	67	7.50	6.667	24.000				
18	6.90	7.246	26.087	68	7.20	6.944	25.000				
19	6.20	8.065	29.032	69	7.90	6.329	22.785				
20	7.00	7.143	25.714	70	8.00	6.250	22.500				
21	6.70	7.463	26.866	71	7.20	6.944	25.000				
22	7.50	6.667	24.000	72	7.50	6.667	24.000				
23	7.00	7.143	25.714	73	7.30	6.849	24.658				
24	6.50	7.692	27.692	74	7.40	6.757	24.324				
25	7.10	7.042	25.352	75	6.90	7.246	26.087				
26	6.40	7.813	28.125	76	7.30	6.849	24.658				
27	6.20	8.065	29.032	77	7.50	6.667	24.000				
28	6.80	7.353	26.471	78	7.20	6.944	25.000				
29	6.00	8.333	30.000	79	6.70	7.463	26.866				
30	8.90	5.618	20.225	80	7.10	7.042	25.352				
31	7.10	7.042	25.352	81	7.90	6.329	22.785				
32	7.00	7.143	25.714	82	6.20	8.065	29.032				
33	6.10	8.197	29.508	83	8.10	6.173	22.222				
34	6.00	8.333	30.000	84	6.20	8.065	29.032				
35	8.10	6.173	22.222	85	7.50	6.667	24.000				
36	6.90	7.246	26.087	86	6.50	7.692	27.692				
37	7.90	6.329	22.785	87	7.10	7.042	25.352				
38	7.40	6.757	24.324	88	7.20	6.944	25.000				
39	6.30	7.937	28.571	89	7.50	6.667	24.000				
40	6.80	7.353	26.471	90	7.30	6.849	24.658				
41	7.20	6.944	25.000	91	6.90	7.246	26.087				
42	7.30	6.849	24.658	92	8.00	6.250	22.500				
43	6.90	7.246	26.087	93	7.20	6.944	25.000				
44	7.10	7.042	25.352	94	7.30	6.849	24.658				
45	7.90	6.329	22.785	95	7.50	6.007	24.000				
46	7.20	6.944	25.000	96	6.40	7.813	28.125				
47	6.90	7.246	26.087	97	7.40	6.757	24.324				
48	6.90	7.246	26.087	98	6.20	8.065	29.032				
49	7.30	6.849	24.658	99	6.50	7.692	27.692				
50	7.30	6.849	24.658	100	7.20	6.944	25.000				
-----				-----							
RATA-RATA				KECEPATAN : 6.987 : 25.153 :							
-----				-----							

DATA SPOT SPEED JL.KEDUNGDORO  
TANGGAL SURVE:KAMIS, 4 JUNI 1992

100

No	WAKTU	KEC	KEC	No	WAKTU	KEC	KEC
	(dt)	(m/dt)	(km/jam)		(dt)	(m/dt)	(km/jam)
1	7.70	6.494	23.377	51	6.90	7.246	26.087
2	7.60	6.579	23.684	52	6.90	7.246	26.087
3	8.00	6.250	22.500	53	7.40	6.757	24.324
4	8.20	6.098	21.951	54	7.60	6.579	23.684
5	7.50	6.667	24.000	55	7.20	6.944	25.000
6	7.60	6.579	23.684	56	7.30	6.849	24.658
7	8.00	6.250	22.500	57	7.90	6.329	22.785
8	8.40	5.952	21.429	58	7.50	6.667	24.000
9	7.20	6.944	25.000	59	6.90	7.246	26.087
10	7.00	7.143	25.714	60	6.20	8.065	29.032
11	8.90	5.618	20.225	61	7.20	6.944	25.000
12	8.00	6.250	22.500	62	6.30	7.937	28.571
13	7.50	6.667	24.000	63	6.80	7.353	26.471
14	8.40	5.952	21.429	64	6.20	8.065	29.032
15	8.60	5.814	20.930	65	6.90	7.246	26.087
16	8.20	6.098	21.951	66	6.50	7.692	27.692
17	7.20	6.944	25.000	67	7.50	6.667	24.000
18	6.90	7.246	26.087	68	7.20	6.944	25.000
19	6.20	8.065	29.032	69	7.90	6.329	22.785
20	7.00	7.143	25.714	70	8.00	6.250	22.500
21	6.70	7.463	26.866	71	7.20	6.944	25.000
22	7.50	6.667	24.000	72	7.50	6.667	24.000
23	7.00	7.143	25.714	73	7.30	6.849	24.658
24	6.50	7.692	27.692	74	7.40	6.757	24.324
25	7.10	7.042	25.352	75	6.90	7.246	26.087
26	6.40	7.813	28.125	76	7.30	6.849	24.658
27	6.20	8.065	29.032	77	7.50	6.667	24.000
28	6.80	7.353	26.471	78	7.20	6.944	25.000
29	6.00	8.333	30.000	79	6.70	7.463	26.866
30	8.90	5.618	20.225	80	7.10	7.042	25.352
31	7.10	7.042	25.352	81	7.90	6.329	22.785
32	7.00	7.143	25.714	82	6.20	8.065	29.032
33	6.10	8.197	29.508	83	8.10	6.173	22.222
34	6.00	8.333	30.000	84	6.20	8.065	29.032
35	8.10	6.173	22.222	85	7.50	6.667	24.000
36	6.90	7.246	26.087	86	6.50	7.692	27.692
37	7.90	6.329	22.785	87	7.10	7.042	25.352
38	7.40	6.757	24.324	88	7.20	6.944	25.000
39	6.30	7.937	28.571	89	7.50	6.667	24.000
40	6.80	7.353	26.471	90	7.30	6.849	24.658
41	7.20	6.944	25.000	91	6.90	7.246	26.087
42	7.30	6.849	24.658	92	8.00	6.250	22.500
43	6.90	7.246	26.087	93	7.20	6.944	25.000
44	7.10	7.042	25.352	94	7.30	6.849	24.658
45	7.90	6.329	22.785	95	7.50	6.667	24.000
46	7.20	6.944	25.000	96	6.40	7.813	28.125
47	6.90	7.246	26.087	97	7.40	6.757	24.324
48	6.90	7.246	26.087	98	6.20	8.065	29.032
49	7.30	6.849	24.658	99	6.50	7.692	27.692
50	7.10	7.042	25.352	100	7.20	6.944	25.000
RATA-RATA				KECEPATAN : 6.987 : 25.153 :			

DATA SPOT SPEED JL.TIDAR  
TANGGAL SURVE:JUMAT, 5 JUNI 1992

:	No	:WAKTU	: KEC	: KEC	:	No	:WAKTU	: KEC	: KEC	:
:		(dt)	(m/dt)	(km/jam)	:		(dt)	(m/dt)	(km/jam)	:
:	1	: 7.10	: 7.042	: 25.352	:	51	: 7.80	: 6.410	: 23.077	:
:	2	: 6.30	: 7.937	: 28.571	:	52	: 7.20	: 6.944	: 25.000	:
:	3	: 6.00	: 8.333	: 30.000	:	53	: 8.00	: 6.250	: 22.500	:
:	4	: 7.50	: 6.667	: 24.000	:	54	: 8.00	: 6.250	: 22.500	:
:	5	: 6.80	: 7.353	: 26.471	:	55	: 6.80	: 7.353	: 26.471	:
:	6	: 6.40	: 7.813	: 28.125	:	56	: 8.10	: 6.173	: 22.222	:
:	7	: 6.80	: 7.353	: 26.471	:	57	: 6.10	: 8.197	: 29.508	:
:	8	: 7.80	: 6.410	: 23.077	:	58	: 7.90	: 6.329	: 22.785	:
:	9	: 6.90	: 7.246	: 26.087	:	59	: 6.40	: 7.813	: 28.125	:
:	10	: 8.10	: 6.173	: 22.222	:	60	: 7.50	: 6.667	: 24.000	:
:	11	: 6.10	: 8.197	: 29.508	:	61	: 8.10	: 6.173	: 22.222	:
:	12	: 6.20	: 8.065	: 29.032	:	62	: 5.70	: 8.772	: 31.579	:
:	13	: 5.70	: 8.772	: 31.579	:	63	: 6.70	: 7.463	: 26.866	:
:	14	: 7.00	: 7.143	: 25.714	:	64	: 7.60	: 6.579	: 23.684	:
:	15	: 7.20	: 6.944	: 25.000	:	65	: 9.20	: 5.435	: 19.565	:
:	16	: 6.30	: 7.937	: 28.571	:	66	: 7.30	: 6.849	: 24.658	:
:	17	: 5.80	: 8.621	: 31.034	:	67	: 6.60	: 7.576	: 27.273	:
:	18	: 6.20	: 8.065	: 29.032	:	68	: 5.20	: 9.615	: 34.615	:
:	19	: 8.00	: 6.250	: 22.500	:	69	: 7.80	: 6.410	: 23.077	:
:	20	: 5.20	: 9.615	: 34.615	:	70	: 7.20	: 6.944	: 25.000	:
:	21	: 6.80	: 7.353	: 26.471	:	71	: 8.10	: 6.173	: 22.222	:
:	22	: 5.30	: 9.434	: 33.962	:	72	: 6.20	: 8.065	: 29.032	:
:	23	: 7.20	: 6.944	: 25.000	:	73	: 7.00	: 7.143	: 25.714	:
:	24	: 5.50	: 9.091	: 32.727	:	74	: 5.80	: 8.621	: 31.034	:
:	25	: 7.10	: 7.042	: 25.352	:	75	: 6.80	: 7.353	: 26.471	:
:	26	: 8.10	: 6.173	: 22.222	:	76	: 6.30	: 7.937	: 28.571	:
:	27	: 7.20	: 6.944	: 25.000	:	77	: 5.30	: 9.434	: 33.962	:
:	28	: 7.20	: 6.944	: 25.000	:	78	: 7.20	: 6.944	: 25.000	:
:	29	: 8.10	: 6.173	: 22.222	:	79	: 8.10	: 6.173	: 22.222	:
:	30	: 5.70	: 8.772	: 31.579	:	80	: 6.78	: 7.375	: 26.549	:
:	31	: 6.70	: 7.463	: 26.866	:	81	: 8.00	: 6.250	: 22.500	:
:	32	: 7.60	: 6.579	: 23.684	:	82	: 6.60	: 7.576	: 27.273	:
:	33	: 9.20	: 5.435	: 19.565	:	83	: 7.50	: 6.667	: 24.000	:
:	34	: 7.30	: 6.849	: 24.658	:	84	: 6.40	: 7.813	: 28.125	:
:	35	: 6.60	: 7.576	: 27.273	:	85	: 7.80	: 6.410	: 23.077	:
:	36	: 5.20	: 9.615	: 34.615	:	86	: 8.50	: 5.882	: 21.176	:
:	37	: 7.80	: 6.410	: 23.077	:	87	: 6.30	: 7.937	: 28.571	:
:	38	: 7.20	: 6.944	: 25.000	:	88	: 7.40	: 6.757	: 24.324	:
:	39	: 8.00	: 6.250	: 22.500	:	89	: 8.50	: 5.882	: 21.176	:
:	40	: 8.00	: 6.250	: 22.500	:	90	: 7.30	: 6.849	: 24.658	:
:	41	: 6.80	: 7.353	: 26.471	:	91	: 7.40	: 6.757	: 24.324	:
:	42	: 8.10	: 6.173	: 22.222	:	92	: 6.80	: 7.353	: 26.471	:
:	43	: 6.10	: 8.197	: 29.508	:	93	: 7.40	: 6.757	: 24.324	:
:	44	: 7.90	: 6.329	: 22.785	:	94	: 7.20	: 6.944	: 25.000	:
:	45	: 6.40	: 7.813	: 28.125	:	95	: 7.00	: 7.143	: 25.714	:
:	46	: 7.50	: 6.667	: 24.000	:	96	: 6.40	: 7.813	: 28.125	:
:	47	: 6.80	: 7.353	: 26.471	:	97	: 7.50	: 6.667	: 24.000	:
:	48	: 7.40	: 6.757	: 24.324	:	98	: 7.60	: 6.579	: 23.684	:
:	49	: 6.80	: 7.353	: 26.471	:	99	: 6.80	: 7.353	: 26.471	:
:	50	: 6.10	: 8.197	: 29.508	:	100	: 8.00	: 6.250	: 22.500	:
:	RATA-RATA				KECEPATAN	:	7.214	:	25.971	:

## DATA SPOT SPEED JL. EMBONG MALANG

TANGGAL SURVE:SABTU, 6 JUNI 1992

: No	: WAKTU	: KEC	: KEC	: No	: WAKTU	: KEC	: KEC
	: (dt)	: (m/dt)	: (km/jam)		: (dt)	: (m/dt)	: (km/jam)
:	1	:	8.10	:	6.173	:	22.222
:	2	:	8.30	:	6.024	:	21.687
:	3	:	8.50	:	5.882	:	21.176
:	4	:	7.80	:	6.410	:	23.077
:	5	:	9.00	:	5.556	:	20.000
:	6	:	9.00	:	5.556	:	20.000
:	7	:	9.00	:	5.556	:	20.000
:	8	:	8.00	:	6.250	:	22.500
:	9	:	8.10	:	6.173	:	22.222
:	10	:	8.10	:	6.173	:	22.222
:	11	:	9.10	:	5.495	:	19.780
:	12	:	9.10	:	5.495	:	19.780
:	13	:	9.00	:	5.556	:	20.000
:	14	:	8.00	:	6.250	:	22.500
:	15	:	7.20	:	6.944	:	25.000
:	16	:	9.00	:	5.556	:	20.000
:	17	:	8.00	:	6.250	:	22.500
:	18	:	8.90	:	5.618	:	20.225
:	19	:	8.00	:	6.250	:	22.500
:	20	:	7.50	:	6.667	:	24.000
:	21	:	8.00	:	6.250	:	22.500
:	22	:	7.79	:	6.418	:	23.107
:	23	:	7.80	:	6.410	:	23.077
:	24	:	8.00	:	6.250	:	22.500
:	25	:	8.50	:	5.882	:	21.176
:	26	:	8.10	:	6.173	:	22.222
:	27	:	8.50	:	5.882	:	21.176
:	28	:	9.00	:	5.556	:	20.000
:	29	:	8.30	:	6.024	:	21.687
:	30	:	7.80	:	6.410	:	23.077
:	31	:	9.90	:	5.051	:	18.182
:	32	:	7.60	:	6.579	:	23.684
:	33	:	9.20	:	5.435	:	19.565
:	34	:	9.00	:	5.556	:	20.000
:	35	:	8.00	:	6.250	:	22.500
:	36	:	8.10	:	6.173	:	22.222
:	37	:	7.80	:	6.410	:	23.077
:	38	:	8.00	:	6.250	:	22.500
:	39	:	8.00	:	6.250	:	22.500
:	40	:	8.00	:	6.250	:	22.500
:	41	:	9.00	:	5.556	:	20.000
:	42	:	8.10	:	6.173	:	22.222
:	43	:	9.00	:	5.556	:	20.000
:	44	:	9.00	:	5.556	:	20.000
:	45	:	8.90	:	5.618	:	20.225
:	46	:	8.90	:	5.618	:	20.225
:	47	:	7.90	:	6.329	:	22.785
:	48	:	8.50	:	5.882	:	21.176
:	49	:	9.90	:	5.051	:	18.182
:	50	:	8.00	:	6.250	:	22.500
:							
			RATA-RATA			KECEPATAN	: 6.100 : 21.959 :

DATA VOLUME KENDARAAN DI TEMPAT LOKASI PENELITIAN  
14 JAM MULAI JAM 06.00-20.00 TANGGAL 9-DESEMBER 1989  
PENELITIHAN LABORATORIUM TEKNIK SIPIL ITS

- DARI JL.KEDUNGDORO KE JL.BLAURAN
  - o MOBIL = 8100
  - o TAXI = 1471
  - o TRUK = 62
  - o BUS = 26
  - o SEPEDA MOTOR = 15 657
- DARI JL.KEDUNGDORO KE JL.TIDAR
  - o MOBIL = 1170
  - o TAXI = 30
  - o TRUK = 21
  - o BUS = 0
  - o SEPEDA MOTOR = 548
- DARI JL.EMBONG MALANG KE JL.TIDAR
  - o MOBIL = 3572
  - o TAXI = 889
  - o TRUK = 18
  - o BUS = 348
  - o SEPEDA MOTOR = 23158
- DARI JL.TIDAR KE KEDUNGDORO
  - o MOBIL = 649
  - o TAXI = 251
  - o TRUK = 49
  - o BUS = 39
  - o SEPEDA MOTOR = 1364
- DARI JL.TIDAR KE JL.BLAURAN
  - o MOBIL = 3415
  - o TAXI = 854
  - o TRUK = 28
  - o BUS = 443
  - o SEPEDA MOTOR = 25353
- DARI JL.BLAURAN KE JL.KRANGGAN
  - o MOBIL = 8128
  - o TAXI = 451
  - o TRUK = 0
  - o BUS = 0
  - o SEPEDA MOTOR = 5430
- DARI JL.BLAURAN KE JL.BUBUTAN
  - o MOBIL = 14122
  - o TAXI = 3314

- o TRUK = 295
- o BUS = 790
- o SEPEDA MOTOR = 25353

- DARI JL.BLAURAN KE JL.PRABAN

- o MOBIL = 9435
- o TAXI = 1295
- o TRUK = 75
- o BUS = 7
- o SEPEDA MOTOR = 8879

- DARI JL.PRABAN KE BUBUTAN

- o MOBIL = 7998
- o TAXI = 1803
- o TRUK = 72
- o BUS = 7
- o SEPEDA MOTOR = 8879

- DARI JL.KRANGGAN

- o MOBIL = 2765
- o TAXI = 30
- o TRUK = 2
- o BUS = 1335
- o SEPEDA MOTOR = 9205

## DATA BANYAKNYA BUS DI SURABAYA

TAHUN (X)	BUS (Y)	XY	XX	YY
1986	2403	4772358	3944196	5774409
1987	2483	4933721	3948169	6165289
1988	2701	5369588	3952144	7295401
1989	2793	5555277	3956121	7800849
1990	2850	5671500	3960100	8122500
9940	13230	26302444	19760730	35158448

$$B = 120.4$$

$$A = -236709.2$$

## JUMLAH MOBIL DI KODYA SURABAYA

TAHUN (X)	MOBIL(Y)	XY	XX	YY
1986	58723	116623878	3944196	3448390729
1987	76089	151188843	3948169	5789535921
1988	83641	166278308	3952144	6995816881
1989	86652	172350828	3956121	7508569104
1990	98932	196874680	3960100	9787540624
9940	404037	803316537	19760730	33529853259

$$B = 9098.1$$

$$A = -18006215.4$$

## PRODUK DOMESTIK REGIONAL BRUTO PER KAPITA DI KODYA SURABAYA

TAHUN(X)	PDRB(Y)	XY	XX	YY
1986	806911.2365	1602525715.7	3944196	651105743590
1987	871184.4218	1731043446.1	3948169	758962296787
1988	876496.8029	1742475644.2	3952144	768246645494
1989	1091656.5550	2171304887.9	3956121	1191714034074
1990	1193894.0000	2375849060.0	3960100	1425382883236
9940	4840143.0162	9623198753.9	19760730	4795411603181
	B	= 89443.76602		
	A	= -196726178.24		

## JUMLAH TAXI DI KODYA SURABAYA

TAHUN (X)	BUS (Y)	XY	XX	YY
1986	3076	6108936	3944196	9461776
1987	3247	6451789	3948169	10543009
1988	3496	6950048	3952144	12222016
1989	3562	7084818	3956121	12687844
1990	3590	7144100	3960100	12888100
9940	16971	33739691	19760730	57802745
	B	= 134.3		
	A	= -263594.2		

## JUMLAH TRUK DI KODYA SURABAYA

TAHUN (X)	TRUK (Y)	XY	XX	YY
1986	42749	84899514	3944196	182747700
1987	45211	89834257	3948169	204403452
1988	46981	93398228	3952144	220721436
1989	49345	98147205	3956121	243492902
1990	53121	105710790	3960100	282184064
9940	237407	471989994	19760730	11335495549
	B	= 2487.8		
	A	= -4898265		

TABLE 24-5  
Types of Detectors

Measuring Capability								
Detector	Count	Presence	Speed	Occupancy	Queue Length	Method of Operation	Advantage	Disadvantages
Pressure	Yes	No	No	No	No	Weight of vehicle causes closure of metallic contacts to complete a circuit	<ol style="list-style-type: none"> <li>Well-defined detection zone</li> <li>Rugged construction</li> <li>Reliable</li> <li>Relatively inexpensive</li> <li>Capable of detecting all moving vehicles regardless of speed</li> <li>Low maintenance and easy to repair</li> </ol>	<ol style="list-style-type: none"> <li>Counts axles which yields poor count accuracy</li> <li>Does not measure presence</li> <li>Installation may disrupt traffic for excessive period of time</li> <li>Major resurfacing will render it inoperative</li> <li>Susceptible to damage by snowplow</li> <li>Cannot be easily relocated</li> </ol>
Magnetic, non-directional	Yes	No	No	No	No	Vehicle passage over wire coil embedded in roadway disturbs earth's lines of flux passing through coil and induces a voltage in the coil; voltage is amplified by high-gain amplifier to operate detector relay	<ol style="list-style-type: none"> <li>Under roadway and not subject to damage</li> <li>Relatively easy to install</li> <li>Does not necessitate closing of traffic lanes</li> <li>Relative ease of relocation</li> <li>Low maintenance</li> </ol>	<ol style="list-style-type: none"> <li>Nondirectional</li> <li>Difficult to set detection zone</li> <li>Subject to false calls where located near large dc lines</li> <li>Cannot detect presence</li> </ol>
Magnetic, directional (two-coil version)	Yes	No	No	No	No	Same method of operation as nondirectional magnetic detector	<ol style="list-style-type: none"> <li>Directional</li> <li>Not affected by dc lines in vicinity</li> <li>Well-defined detection zone</li> <li>Low maintenance</li> <li>Under roadway location and not subject to damage</li> </ol>	<ol style="list-style-type: none"> <li>Requires closing of traffic lane for installation</li> <li>More expensive than nondirectional magnetic detector</li> <li>Cannot detect presence</li> <li>Cannot be easily relocated</li> </ol>
Magnetometer	Yes	Yes	No	Yes	No	Similar method of operation as nondirectional and directional magnetic detectors; makes use of small cylindrical sensing head that is placed below pavement surface	<ol style="list-style-type: none"> <li>Relatively easy to install</li> <li>Capable of measuring count or presence</li> <li>Reliable</li> <li>Not affected by dc lines in vicinity</li> <li>Under roadway location and not subject to damage</li> <li>Relative ease of relocation</li> </ol>	<ol style="list-style-type: none"> <li>Requires closing of traffic lane for installation</li> <li>More expensive than nondirectional</li> <li>May double count some vehicles due to magnetic material distribution</li> <li>Poorly defined detection zone</li> </ol>
Loop, manual-tuned	Yes	Yes	Yes	Yes	Yes	Vehicle passage cuts magnetic lines of flux that are generated around the loop thereby increasing or decreasing the inductance so that a change is detected and transmitted to an amplifying circuit	<ol style="list-style-type: none"> <li>Size and shape of detection zone can easily be set by size of loop</li> <li>Excellent presence detector</li> <li>Capable of measuring all traffic parameters</li> <li>Relatively easy to install</li> <li>Relatively inexpensive to abandon loop and reuse amplifier at new location</li> <li>Capable of detecting small vehicles</li> <li>Under roadway location and not subject to damage</li> </ol>	<ol style="list-style-type: none"> <li>Cost of installation may be excessive</li> <li>Requires closing of traffic lane or lanes for short periods of time</li> <li>Difficult to tune in order to detect small and large vehicles</li> </ol>
Loop, self-tuning	Yes	Yes	Yes	Yes	Yes	Same method of operation as manual-tuned loop	Same advantages as manual-tuned loop except no initial or periodic tuning required	Same disadvantages as manual-tuned loop except that several poorly shielded amplifiers located in same cabinet may interfere with each other and response time may be slower than manual-tuned loop

TABLE 24-5 (continued)

Detector	Measuring Capability						Method of Operation	Advantages	Disadvantages
	Count	Presence	Speed	Occupancy	Queue Length				
Radar	Yes	No	Yes	No	No	Passage of vehicle reflects radar microwaves (Doppler principle) back to antenna to operate detector relay	1. Immune to electromagnetic interference 2. Does not necessitate closing of traffic lanes to install	1. Relatively expensive to purchase and install, particularly if existing lanes are not available for use 2. Requires FCC license to operate 3. Requires experienced personnel for installation and maintenance 4. Does not measure presence	
Sonic, pulsed	Yes	Yes	Yes	Yes	Yes	Emits bursts of energy at a rate of approximately 20 times per second; vehicle reduces wavelength resulting in the return signal arriving when receiver is open	1. Does not necessitate closing of traffic lanes to install 2. Does not require FCC license to operate 3. Can be used at locations with unstable pavement 4. Can classify vehicle by height	1. Same as 1 for radar detector 2. Somewhat inaccurate due to conical detection zone and wide variations in vehicle configurations and heights 3. Nondirectional 4. Sensitive to environmental conditions 5. Somewhat inaccurate under congested conditions	
Sonic, continuous wave	Yes	No	Yes	No	No	Operates on Doppler principle—same as radar	1. Same as 1, 2, and 3 for pulsed sonic detector plus improved accuracy for speed measurement	1. Same as 1, 4, 5 for pulsed sonic detector 2. Cannot detect presence	
Radio frequency	Special application for UTCS Bus Priority System					Bus transmitter sends signal to loop in pavement which relays signal to receiver unit; transmits information on two separate radio frequencies	1. Can be used to select special vehicles 2. Accurate and reliable	1. Relatively expensive to install	
Light emission photo electric	Yes	Yes	Yes	Yes	No	Passage of vehicle between light emitter and photoelectric cell interrupts transmitted beam which operates a detector relay	1. Accurate for vehicle passage in a single lane 2. Most suitable for conditions of uniform light	1. Inaccurate for detection of more than one traffic lane	
Infrared, interrupted beam	Yes	Yes	Yes	Yes	No	Same as photo-electric detector using infrared part of spectrum	Same as photoelectric	Same as photoelectric	
Infrared, reflected beam	Yes	Yes	Yes	Yes	No	Overhead transmitter-receiver notes vehicle passage by change in reflectivity between vehicle and pavement	1. Most suitable for conditions of uniform light	1. Expensive 2. Sensitive to ambient light and color of pavement 3. Sensitive to weather conditions 4. Inaccurate due to reflectivity difference	
High-intensity light	Yes	No	No	No	No	High-intensity light emitted from a device mounted on a priority vehicle is received by a light-sensitive detector indicating its presence	1. Provides a means to recognize selected vehicles	1. Expensive	

SOURCE: *Traffic Control Systems Handbook*, U.S. Department of Transportation, Federal Highway Administration, U.S. Government Printing Office, Washington, D.C., 1976.



PRELIMINARY

## IAPX 88/10 8-BIT HMOS MICROPROCESSOR 8088/8088-2

- 8-Bit Data Bus Interface
- 16-Bit Internal Architecture
- Direct Addressing Capability to 1 Mbyte of Memory
- Direct Software Compatibility with IAPX 88/10 (8088 CPU)
- 14-Word by 16-Bit Register Set with Symmetrical Operations
- 24 Operand Addressing Modes
- Byte, Word, and Block Operations
- 8-Bit and 16-Bit Signed and Unsigned Arithmetic in Binary or Decimal, Including Multiply and Divide
- Compatible with 8155-2, 8755A-2 and 8185-2 Multiplexed Peripherals
- Two Clock Rates:  
6 MHz for 8088  
8 MHz for 8088-2
- Available in EXPRESS
  - Standard Temperature Range
  - Extended Temperature Range

The Intel® IAPX 88/10 is a new generation, high performance microprocessor implemented in N-channel, depletion load, silicon gate technology (HMOS), and packaged in a 40-pin CerDIP package. The processor has attributes of both 8- and 16-bit microprocessors. It is directly compatible with IAPX 86/10 software and 8080/8085 hardware and peripherals.

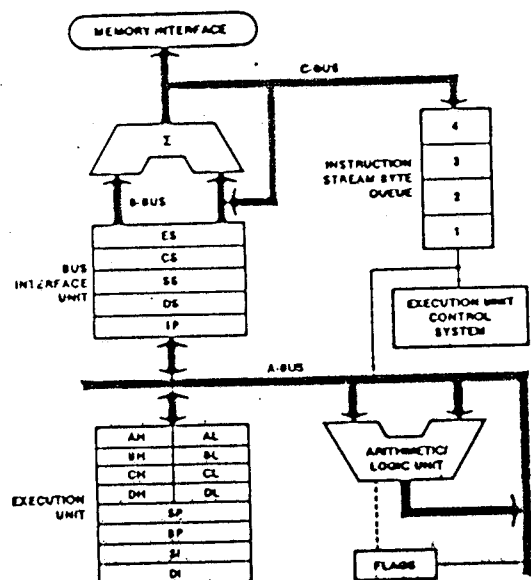


Figure 1. IAPX 88/10 CPU Functional Block Diagram

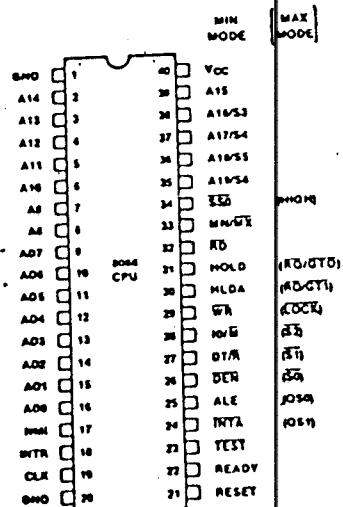


Figure 2. IAPX 88/10 Pin Configuration

Intel Corporation Assumes No Responsibility for the Use of Any Circuitry Other Than Circuitry Embedded in an Intel Product. No Other Circuit Patent Licenses are Impplied.  
© INTEL CORPORATION, 1980



Table 1. Pin Description

The following pin function descriptions are for 8088 systems in either minimum or maximum mode. The "local bus" in these descriptions is the direct multiplexed bus interface connection to the 8088 (without regard to additional bus buffers).

Symbol	Pin No.	Type	Name and Function
AD7-AD0	8-15	VO	Address Data Bus: These lines constitute the time multiplexed memory/I/O address (T1) and data (T2, T3, Tw, and T4) bus. These lines are active HIGH and float to 3-state OFF during interrupt acknowledge and local bus "hold acknowledge".
A15-A8,	2-6, 30	O	Address Bus: These lines provide address bits 8 through 15 for the entire bus cycle (T1-T4). These lines do not have to be latched by ALE to remain valid. A15-A8 are active HIGH and float to 3-state OFF during interrupt acknowledge and local bus "hold acknowledge".
A19/S6, A18/S5, A17/S4, A16/S3	35-38	O	Address/Status: During T1, these are the four most significant address lines for memory operations. During I/O operations, these lines are LOW. During memory and I/O operations, status information is available on these lines during T2, T3, Tw, and T4. S6 is always low. The status of the interrupt enable flag bit (S5) is updated at the beginning of each clock cycle. S4 and S3 are encoded as shown.  This information indicates which segment register is presently being used for data accessing.  These lines float to 3-state OFF during local bus "hold acknowledge".
RD	32	O	Read: Read strobe indicates that the processor is performing read cycle, depending on the state of the IOR/R pin or S2. This signal is used to read devices which reside on the 8088 local bus. RD is active LOW during T2, T3 and Tw of any read cycle, and is guaranteed to remain HIGH in local bus has floated.  This signal floats to 3-state OFF in "hold acknowledge".
READY	22	I	READY: Is the acknowledgement from the addressed memory or I/O device that it will complete the data transfer. The RDY signal from memory or I/O is synchronized by the 8284 clock generator to form READY. This signal is active HIGH. The 8088 READY input is not synchronized. Correct operation is not guaranteed if the set up and hold times are not met.
INTR	18	I	Interrupt Request: is a level triggered input which is sampled during the last clock cycle of each instruction to determine if the processor should enter into an interrupt acknowledge operation. A subroutine is vectored to via an interrupt vector lookup table located in system memory. It can be internally masked by software resetting the interrupt enable bit. INTR is internally synchronized. This signal is active HIGH.
TEST	23	I	TEST: Input is examined by the "wait for test" instruction. If the TEST input is LOW, execution continues, otherwise the processor waits in an idle state. This input is synchronized internally during each clock cycle on the CLK.
NMI	17	I	Non-Maskable Interrupt: is an edge triggered input which interrupt. A subroutine is vectored to via an interrupt vector lookup table located in system memory. NMI is not maskable internally by software. A transition from a LOW to HIGH initiates the interrupt at the end of the current instruction. This input is internally synchronized.



Table 1. Pin Description (Continued)

Symbol	Pin No.	Type	Name and Function
RESET	21	I	RESET: causes the processor to immediately terminate its present activity. The signal must be active HIGH for at least four clock cycles. It restarts execution, as described in the instruction set description, when RESET returns LOW. RESET is internally synchronized.
CLK	19	I	Clock: provides the basic timing for the processor and bus controller. It is asymmetric with a 33% duty cycle to provide optimized internal timing.
V <sub>CC</sub>	40		V <sub>CC</sub> : is the +5V ±10% power supply pin.
GND	1, 20		GND: are the ground pins.
MN/MX	33	I	Minimum/Maximum: Indicates what mode the processor is to operate in. The two modes are discussed in the following sections.

The following pin function descriptions are for the 8088 minimum mode (i.e., MN/MX = V<sub>CC</sub>). Only the pin functions which are unique to minimum mode are described; all other pin functions are as described above.

IO/M	28	O	Status Line: is an inverted maximum mode S2. It is used to distinguish a memory access from an I/O access. IO/M becomes valid in the T4 preceding a bus cycle and remains valid until the final T4 of the cycle (VO=HIGH, M=LOW). IO/M floats to 3-state OFF in local bus "hold acknowledge".
WR	29	O	Write: strobe indicates that the processor is performing a write I/O cycle, depending on the state of the IO/M signal. WR is active for T2, T3, and Tw of any write cycle. It is active LOW, and floats to 3-state OFF in local bus "hold acknowledge".
INTA	24	O	INTA: is used as a read strobe for interrupt acknowledge cycles during T2, T3, and Tw of each interrupt acknowledge cycle. It is active LOW
ALE	25	O	Address Latch Enable: is provided by the processor to latch the address into the 8282/8283 address latch. It is a HIGH pulse active during clock low of T1 of any bus cycle. Note that ALE is never floated.
DT/R	27	O	Data Transmit/Receive: is needed in a minimum system that desires to use an 8286/8287 data bus transceiver. It is used to control the direction of data flow through the transceiver. Logically, DT/R is equivalent to S1 in the maximum mode, and its timing is the same as for IO/M (T=HIGH, R=LOW). This signal floats to 3-state OFF in local "hold acknowledge".
DEN	26	O	Data Enable: is provided as an output enable for the 8286/8287 in a minimum system which uses the transceiver. DEN is active LOW during each memory and I/O access, and for INTA cycles. For a read or INTA cycle, it is active from the middle of T2 until the middle of T4, while for a write cycle, it is active from the beginning of T2 until the middle of T4. DEN floats to 3-state OFF during local bus "hold acknowledge".
HOLD, HLDA	30,31	I, O	HOLD: indicates that another master is requesting a local bus "hold". To be acknowledged, HOLD must be active HIGH. The processor receiving the "hold" request will issue HLDA (HIGH) as an acknowledgement, in the middle of a T4 or T1 clock cycle. Simultaneous with the issuance of HLDA the processor will float the local bus and control lines. After HOLD is detected as being LOW, the processor lowers HLDA, and when the processor needs to run again drive the local bus and control lines. Hold is not an asynchronous input. External synchronization should be provided if the system cannot otherwise guarantee the set up time.
SSO	34	O	Status Line: is logically equivalent to S0 in the maximum mode. The combination of SSO, IO/M and DT/R allows the system to completely decode the current bus cycle status.



Table 1. Pin Description (Continued)

The following pin function descriptions are for the 8088, 8228 system in maximum mode (i.e., MN/MX=GND.) Only the pin functions which are unique to maximum mode are described; all other pin functions are as described above.

Symbol	Pin No.	Type	Name and Function
S2, S1, S0	28-28	O	<p>Status: Is active during clock high of T4, T1, and T2, and is returned to the passive state (1,1,1) during T3 or during Tw when READY is HIGH. This status is used by the 8288 bus controller to generate all memory and I/O access control signals. Any change by S2, S1, or S0 during T4 is used to indicate the beginning of a bus cycle, and the return to the passive state in T3 or Tw is used to indicate the end of a bus cycle.</p> <p>These signals float to 3-state OFF during "hold acknowledge". During the first clock cycle after RESET becomes active, these signals are active HIGH. After this first clock, they float to 3-state OFF.</p>
RQ/GT0, RQ/GT1	30, 31	VO	<p>Request/Grant: pins are used by other local bus masters to force the processor to release the local bus at the end of the processor's current bus cycle. Each pin is bidirectional with RQ/GT0 having higher priority than RQ/GT1. RQ/GT has an internal pull-up resistor, so may be left unconnected. The request/grant sequence is as follows (See Figure 8):</p> <ol style="list-style-type: none"> <li>1. A pulse of one CLK wide from another local bus master indicates a local bus request ("hold") to the 8088 (pulse 1).</li> <li>2. During a T4 or T1 clock cycle, a pulse one clock wide from the 8088 to the requesting master (pulse 2), indicates that the 8088 has allowed the local bus to float and that it will enter the "hold acknowledge" state at the next CLK. The CPU's bus interface unit is disconnected logically from the local bus during "hold acknowledge". The same rules as for HOLD/HOLDA apply as for when the bus is released.</li> <li>3. A pulse one CLK wide from the requesting master indicates to the 8088 (pulse 3) that the "hold" request is about to end and that the 8088 can reclaim the local bus at the next CLK. The CPU then enters T4.</li> </ol> <p>Each master-master exchange of the local bus is a sequence of three pulses. There must be one idle CLK cycle after each bus exchange. Pulses are active LOW.</p> <p>If the request is made while the CPU is performing a memory cycle, it will release the local bus during T4 of the cycle when all the following conditions are met:</p> <ol style="list-style-type: none"> <li>1. Request occurs on or before T2.</li> <li>2. Current cycle is not the low bit of a word.</li> <li>3. Current cycle is not the first acknowledge of an interrupt acknowledge sequence.</li> <li>4. A locked instruction is not currently executing.</li> </ol> <p>If the local bus is idle when the request is made the two possible events will follow:</p> <ol style="list-style-type: none"> <li>1. Local bus will be released during the next clock.</li> <li>2. A memory cycle will start within 3 clocks. Now the four rules for a currently active memory cycle apply with condition number 1 already satisfied.</li> </ol>

Table 1. Pin Description (Continued)

Symbol	Pin No.	Type	Name and Function
LOCK	29	O	LOCK: indicates that other system bus masters are not to gain control of the system bus while LOCK is active (LOW). The LOCK signal is activated by the "LOCK" prefix instruction and remains active until the completion of the next instruction. This signal is active LOW, and floats to 3-state off in "hold acknowledge" edge.
QS1, QS0	24, 25	O	Queue Status: provide status to allow external tracking of the internal 8088 instruction queue. The queue status is valid during the CLK cycle after which the queue operation is performed.
-	34	O	Pin 34 is always high in the maximum mode.

## FUNCTIONAL DESCRIPTION

### Memory Organization

The processor provides a 20-bit address to memory which locates the byte being referenced. The memory is organized as a linear array of up to 1 million bytes, addressed as 0000H to FFFFH. The memory is logically divided into code, data, extra data, and stack segments of up to 64K bytes each, with each segment falling on 16-byte boundaries. (See Figure 3.)

All memory references are made relative to base addresses contained in high speed segment registers. The segment types were chosen based on the addressing needs of programs. The segment register to be selected is automatically chosen according to the rules of the following table. All information in one segment type share the same logical attributes (e.g. code or data). By structuring memory into relocatable areas of similar characteristics and by automatically selecting segment registers, programs are shorter, faster, and more structured.

Word (16-bit) operands can be located on even or odd address boundaries. For address and data operands, the least significant byte of the word is stored in the lower valued address location and the most significant byte in

the next higher address location. The BIU will automatically execute two fetch or write cycles for 16-bit operands.

Certain locations in memory are reserved for specific CPU operations. (See Figure 4.) Locations from addresses FFFF0H through FFFFFH are reserved for operations including a jump to the initial system initialization routine. Following RESET, the CPU will always begin execution at location FFFF0H where the jump must be located. Locations 00000H through 003FFH are reserved for interrupt operations. Four-byte pointers consisting of a 16-bit segment address and a 16-bit offset address direct program flow to one of the 256 possible interrupt service routines. The pointer elements are assumed to have been stored at their respective places in reserved memory prior to the occurrence of interrupts.

### Minimum and Maximum Modes

The requirements for supporting minimum and maximum 8088 systems are sufficiently different that they cannot be done efficiently with 40 uniquely defined pins. Consequently, the 8088 is equipped with a strap pin (MN/MX) which defines the system configuration. The definition of a certain subset of the pins changes, dependent on the condition of the strap pin. When the MN/MX pin is strapped to GND, the 8088 defines pins 24 through 31 and 34 in maximum mode. When the MN/MX pin is strapped to Vcc, the 8088 generates bus control signals itself on pins 24 through 31 and 34.

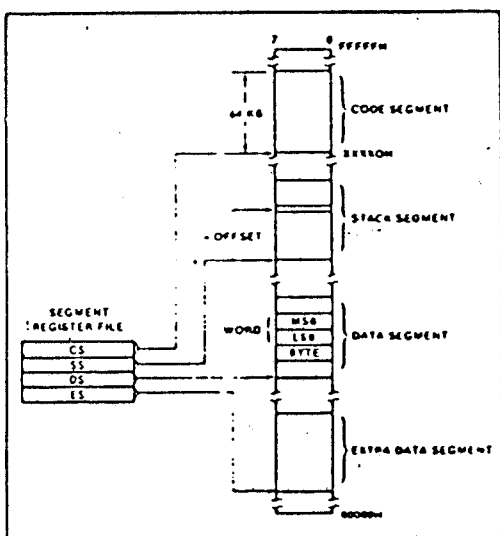


Figure 3. Memory Organization

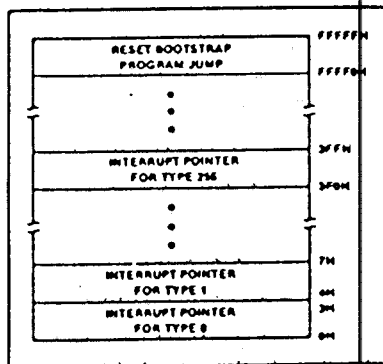


Figure 4. Reserved Memory Locations

Memory Reference Need	Segment Register Used	Segment Selection Rule
Instructions	CODE (CS)	Automatic with all instruction prefetch.
Stack	STACK (SS)	All stack pushes and pops. Memory references relative to BP base register except data references.
Local Data	DATA (DS)	Data references when: relative to stack, destination of string operation, or explicitly overridden.
External (Global) Data	EXTRA (ES)	Destination of string operations: Explicitly selected using a segment override.



The minimum mode 8088 can be used with either a multiplexed or demultiplexed bus. The multiplexed bus configuration is compatible with the MCS-85<sup>TM</sup> multiplexed bus peripherals (8156, 8158, 8355, 8755A, and 8185). This configuration (See Figure 5) provides the user with a minimum chip count system. This architecture provides the 8088 processing power in a highly integrated form.

The demultiplexed mode requires one latch (for 64K addressability) or two latches (for a full megabyte of addressing). A third latch can be used for buffering if the address bus loading requires it. An 8205 or 8207 transceiver can also be used if data bus buffering is required. (See Figure 6.) The 8088 provides DEN and DT/R to con-

trol the transceiver, and ALE to latch the addresses. This configuration of the minimum mode provides the standard demultiplexed bus structure with heavy bus buffering and relaxed bus timing requirements.

The maximum mode employs the 8288 bus controller. (See Figure 7.) The 8288 decodes status lines 50, 51, and 52, and provides the system with all bus control signals. Moving the bus control to the 8288 provides better source and sink current capability to the control lines, and frees the 8088 pins for extended large system features. Hardware lock, queue status, and two request/grant interfaces are provided by the 8088 in maximum mode. These features allow co-processors in local bus and remote bus configurations.

## 8255A/8255A-5 PROGRAMMABLE PERIPHERAL INTERFACE

- MCS-85™ Compatible 8255A-5
- 24 Programmable I/O Pins
- Completely TTL Compatible
- Fully Compatible with Intel® Microprocessor Families
- Improved Timing Characteristics
- Direct Bit Set/Reset Capability Enabling Control Application Interface
- Reduces System Package Count
- Improved DC Driving Capability
- Available in EXPRESS
  - Standard Temperature Range
  - Extended Temperature Range

The Intel® 8255A is a general purpose programmable I/O device designed for use with Intel® microprocessors. It has 24 I/O pins which may be individually programmed in 2 groups of 12 and used in 3 major modes of operation. In the first mode (MODE 0), each group of 12 I/O pins may be programmed in sets of 4 to be input or output. In MODE 1, the second mode, each group may be programmed to have 8 lines of input or output. Of the remaining 4 pins, 3 are used for handshaking and interrupt control signals. The third mode of operation (MODE 2) is a bidirectional bus mode which uses 8 lines for a bidirectional bus, and 5 lines, borrowing one from the other group, for handshaking.

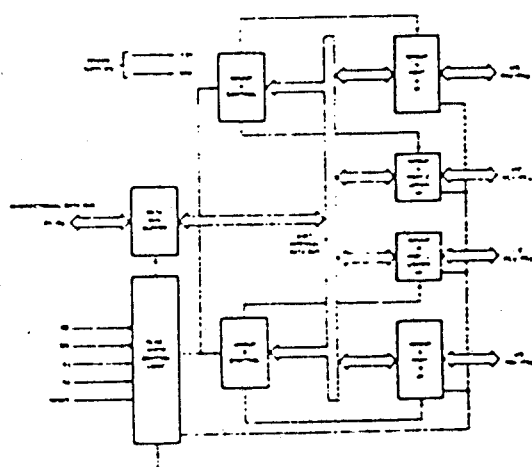


Figure 1. 8255A Block Diagram

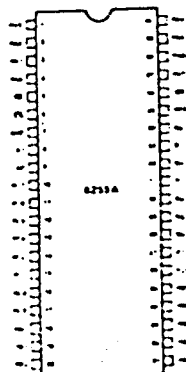


Figure 2. Pin Configuration



## 8255A FUNCTIONAL DESCRIPTION

### General

The 8255A is a programmable peripheral interface (PPI) device designed for use in Intel<sup>®</sup> microcomputer systems. Its function is that of a general purpose I/O component to interface peripheral equipment to the microcomputer system bus. The functional configuration of the 8255A is programmed by the system software so that normally no external logic is necessary to interface peripheral devices or structures.

### Data Bus Buffer

This 3-state bidirectional 8-bit buffer is used to interface the 8255A to the system data bus. Data is transmitted or received by the buffer upon execution of input or output instructions by the CPU. Control words and status information are also transferred through the data bus buffer.

### Read/Write and Control Logic

The function of this block is to manage all of the internal and external transfers of both Data and Control or Status words. It accepts inputs from the CPU Address and Control busses and in turn, issues commands to both of the Control Groups.

### (CS)

Chip Select A "low" on this input pin enables the communication between the 8255A and the CPU.

### (RD)

Read. A "low" on this input pin enables the 8255A to send the data or status information to the CPU on the data bus. In essence, it allows the CPU to "read from" the 8255A.

### (WR)

Write. A "low" on this input pin enables the CPU to write data or control words into the 8255A.

### (A<sub>0</sub> and A<sub>1</sub>)

Port Select 0 and Port Select 1. These input signals, in conjunction with the RD and WR inputs, control selection of one of the three ports or the control word registers. They are normally connected to the least significant bits of the address bus (A<sub>0</sub> and A<sub>1</sub>).

## 8255A BASIC OPERATION

A <sub>1</sub>	A <sub>0</sub>	RD	WR	(CS)	INPUT OPERATION (IREAD)
0	0	0	1	0	PORT A - DATA BUS
0	1	0	1	0	PORT B - DATA BUS
1	0	0	1	0	PORT C - DATA BUS
					OUTPUT OPERATION (IWRITE)
0	0	1	0	0	DATA BUS - PORT A
0	1	1	0	0	DATA BUS - PORT B
1	0	1	0	0	DATA BUS - PORT C
1	1	1	0	0	DATA BUS - CONTROL
					DISABLE FUNCTION
X	X	X	X	1	DATA BUS - 3-STATE
1	1	0	1	0	ILLEGAL CONDITION
X	X	1	1	0	DATA BUS - 3-STATE

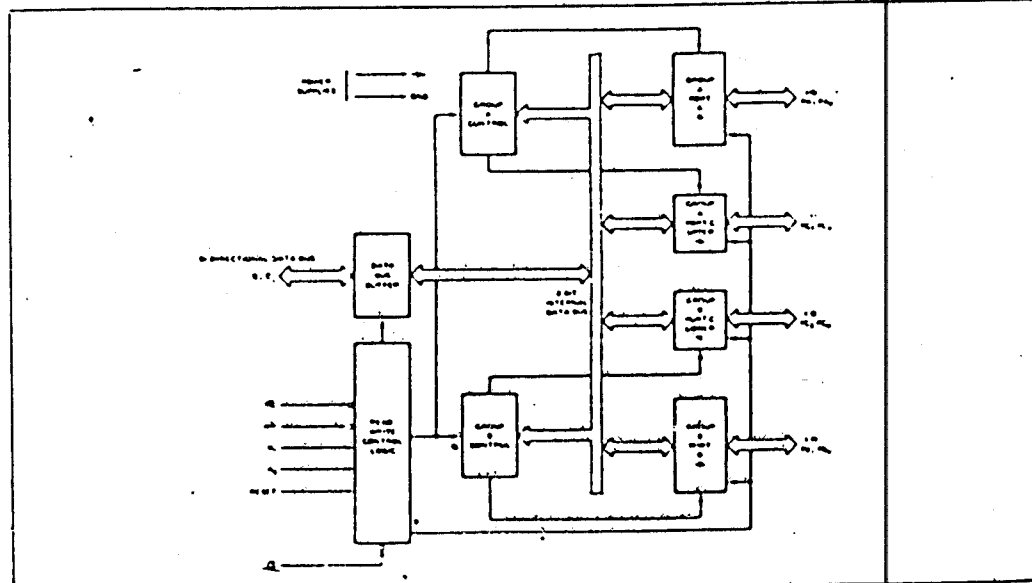


Figure 3. 8255A Block Diagram Showing Data Bus Buffer and Read/Write Control Logic Functions

١٦

8255A/8255A-5

RESET

**Reset.** A "high" on this input clears the control register and all ports (A, B, C) are set to the input mode.

#### **Group A and Group B Controls**

The functional configuration of each port is programmed by the systems software. In essence, the CPU "outputs" a control word to the 8255A. The control word contains information such as "mode", "bit set", "bit reset", etc., that initializes the functional configuration of the 8255A.

1. "Control blocks (Group A and Group B) accept "hands" from the Read/Write Control Logic, receives "ctrl words" from the internal data bus and issues the proper commands to its associated ports.

Control Group A – Port A and Port C upper (C7-C4)  
Control Group B – Port B and Port C lower (C3-C0)

The Control Word Register can Only be written into. No Read operation of the Control Word Register is allowed.

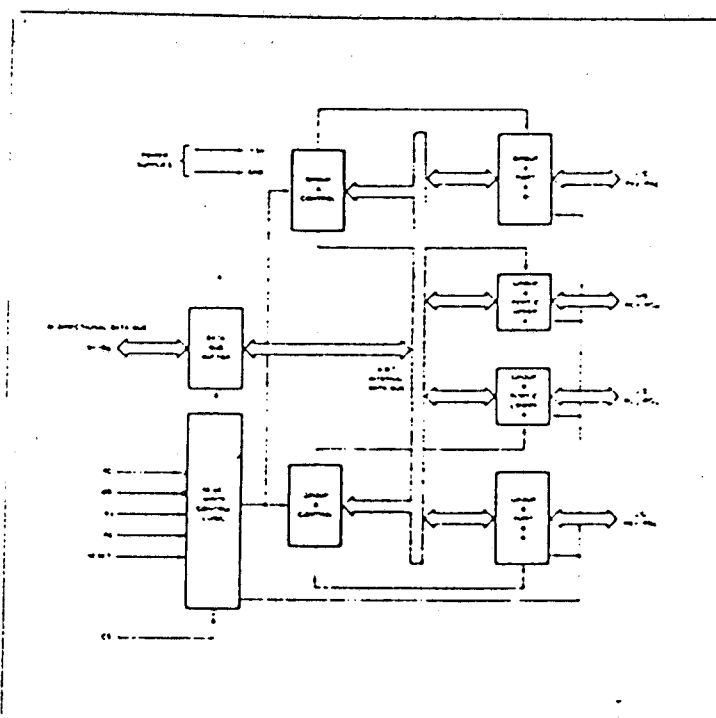
### Ports A, B, and C

The 8255A contains three 8-bit ports that can be configured in a wide variety of characteristics by the system software but special features or "personality" to further enhance the power and flexibility of the 8255A.

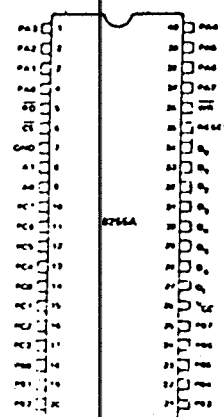
Port A: One 8-bit data output latch/buffer and one 8-bit data input latch.

Port B. One 8-bit data Input/Output latch/buffer and one 8-bit data Input buffer.

**Port C.** One 8-bit data output latch buffer and one 8-bit data input buffer (no latch for input). This port can be divided into two 4-bit ports under the mode control, and it can be used for the control signal outputs and status signal inputs in conjunction with ports A and B.



**Figure 4. 8225A Block Diagram Showing Group A and Group B Control Functions**



PIN NAMES

<u>U1</u> , <u>U2</u>	DATA BUS AND DIRECTIONALS
RESET	RESET INPUT
CS	CPU SELECT
RD	READ INPUT
WR	WRITE INPUT
AD[11]	PORT ADDRESS
DATA[16]	PORT ADDRESS
RD#PUB	PORT B INPUT
RD#PCB	PORT C INPUT
ACK	16 VOLTS
CGO	LOW LEVEL



## 8255A OPERATIONAL DESCRIPTION

### Mode Selection

There are three basic mode of operation that can be selected by the system software:

- Mode 0 - Basic Input/Output
- Mode 1 - Strobed Input/Output
- Mode 2 - Bi-Directional Bus

When the reset input goes "high" all ports will be set to the input mode (i.e., all 24 lines will be in the high impedance state). After the reset is removed the 8255A can remain in the input mode with no additional initialization required. During the execution of the system program any of the other modes may be selected using a single output instruction. This allows a single 8255A to service a variety of peripheral devices with a simple software maintenance routine.

The modes for Port A and Port B can be separately defined, while Port C is divided into two portions as required by the Port A and Port B definitions. All of the output registers, including the status flip-flops, will be reset whenever the mode is changed. Modes may be combined so that their functional definition can be "tailored" to almost any I/O structure. For instance; Group B can be programmed in Mode 0 to monitor simple switch closings or display computational results, Group A could be programmed in Mode 1 to monitor a keyboard or tape reader on an interrupt-driven basis.

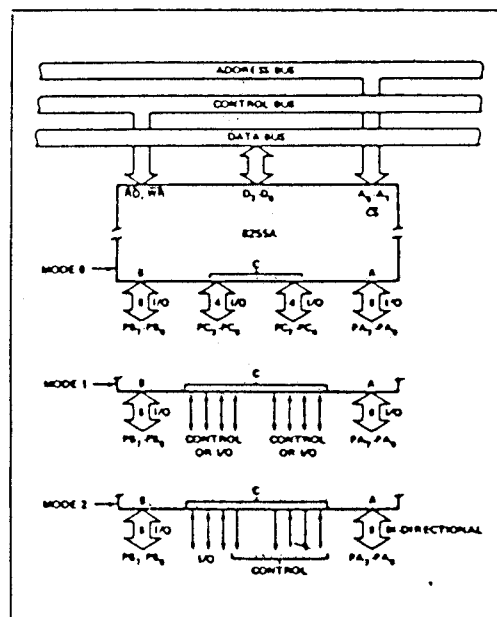


Figure 5. Basic Mode Definitions and Bus Interface

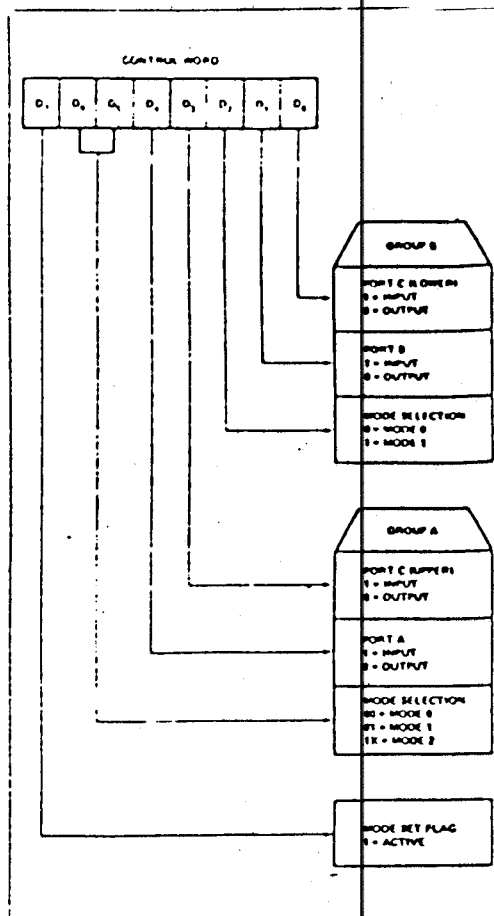


Figure 6. Mode Definition Format

The mode definitions and possible mode combinations may seem confusing at first but after a cursory review of the complete device operation a simple logical I/O approach will surface. The design of the 8255A has taken into account things such as efficient PCB board layout, functional flexibility to support almost any peripheral device with no external logic. Such design represents the maximum use of the available pins.

### Single Bit Set/Reset Feature

Any of the eight bits of Port C can be Set or Reset using a single OUTput instruction. This feature reduces software requirements in Control-based applications.

Intel

## 8255A/8255A-5

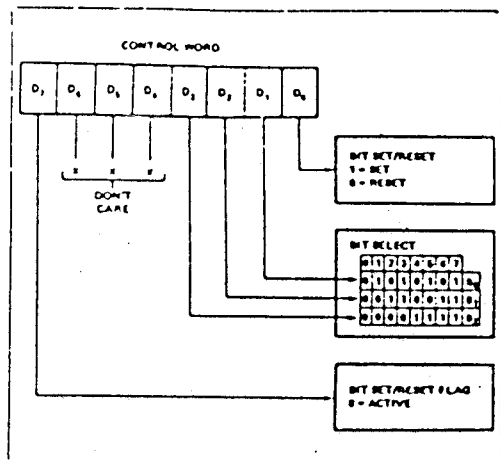


Figure 7. Bit Set/Reset Format

When Port C is being used as status/control for Port A or B, these bits can be set or reset by using the Bit Set/Reset operation just as if they were data output ports.

## Interrupt Control Functions

When the 8255A is programmed to operate in mode 1 or mode 2, control signals are provided that can be used as interrupt request inputs to the CPU. The interrupt request signals, generated from port C, can be inhibited or enabled by setting or resetting the associated INTE flip-flop, using the bit set/reset function of port C.

This function allows the Programmer to disallow or allow a specific I/O device to interrupt the CPU without affecting any other device in the interrupt structure.

## INTE flip-flop definition:

- (BIT-SET) — INTE is SET — Interrupt enable
- (BIT-RESET) — INTE is RESET — Interrupt disable

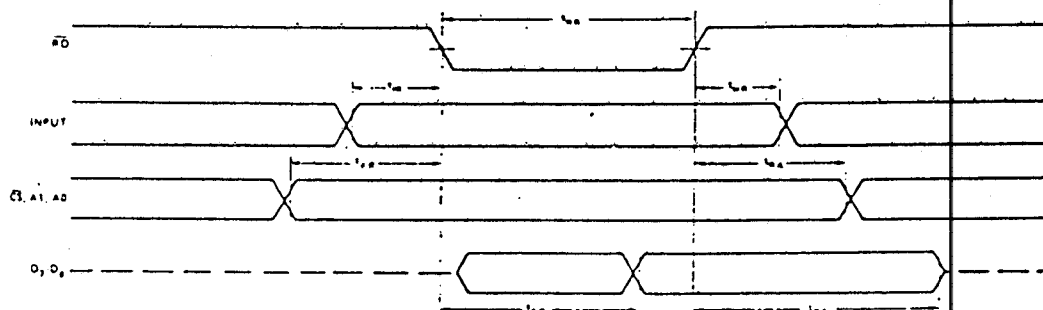
Note: All Mask flip-flops are automatically reset during mode selection and device Reset.

## Operating Modes

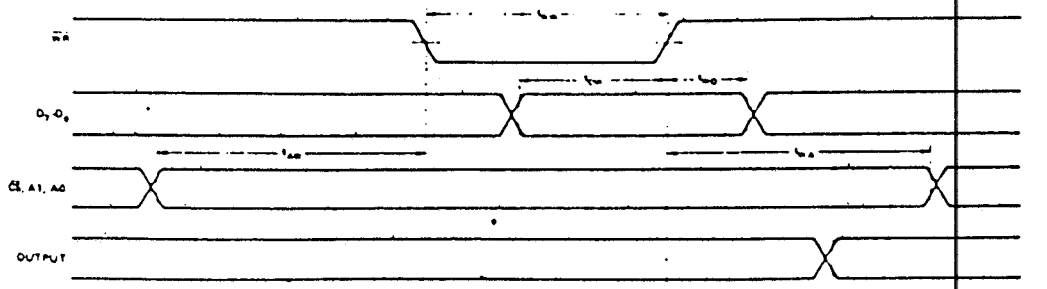
**MODE 0 (Basic Input/Output).** This functional configuration provides simple input and output operations for each of the three ports. No "handshaking" is required, data is simply written to or read from a specified port.

## Mode 0 Basic Functional Definitions:

- Two 8-bit ports and two 4-bit ports.
- Any port can be input or output.
- Outputs are latched.
- Inputs are not latched.
- 16 different Input/Output configurations are possible in this Mode.



MODE 0 (Basic Input)



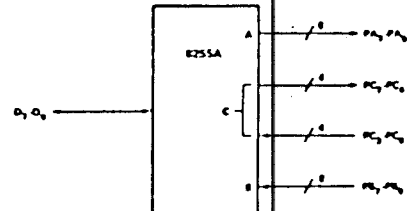
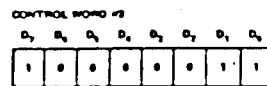
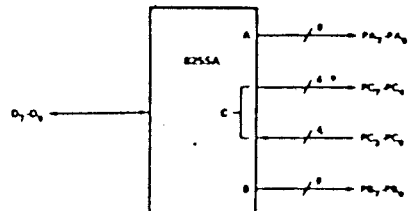
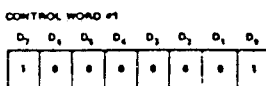
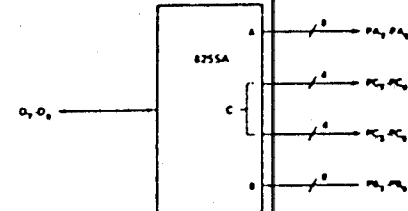
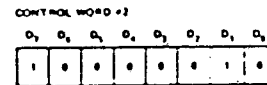
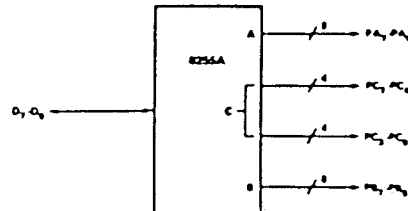
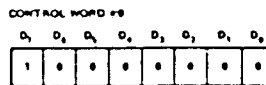
MODE 0 (Basic Output)

## 8255A/8255A-5

## MODE 0 Port Definition

				GROUP A		GROUP B		PORT C	
A	D <sub>3</sub>	D <sub>1</sub>	D <sub>0</sub>	PORT A	PORT C (UPPER)	*	PORT B	PORT C (LOWER)	
0	0	0	0	OUTPUT	OUTPUT	0	OUTPUT	OUTPUT	
0	0	0	1	OUTPUT	OUTPUT	1	OUTPUT	INPUT	
0	0	1	0	OUTPUT	OUTPUT	2	INPUT	OUTPUT	
0	0	1	1	OUTPUT	OUTPUT	3	INPUT	INPUT	
0	1	0	0	OUTPUT	INPUT	4	OUTPUT	OUTPUT	
0	1	0	1	OUTPUT	INPUT	5	OUTPUT	INPUT	
0	1	1	0	OUTPUT	INPUT	6	INPUT	OUTPUT	
0	1	1	1	OUTPUT	INPUT	7	INPUT	INPUT	
1	0	0	0	INPUT	OUTPUT	8	OUTPUT	OUTPUT	
1	0	0	1	INPUT	OUTPUT	9	OUTPUT	INPUT	
1	0	1	0	INPUT	OUTPUT	10	INPUT	OUTPUT	
1	0	1	1	INPUT	OUTPUT	11	INPUT	INPUT	
1	1	0	0	INPUT	INPUT	12	OUTPUT	OUTPUT	
1	1	0	1	INPUT	INPUT	13	OUTPUT	INPUT	
1	1	1	0	INPUT	INPUT	14	INPUT	OUTPUT	
1	1	1	1	INPUT	INPUT	15	INPUT	INPUT	

## MODE 0 Configurations



intel

## 8255A/8255A-5

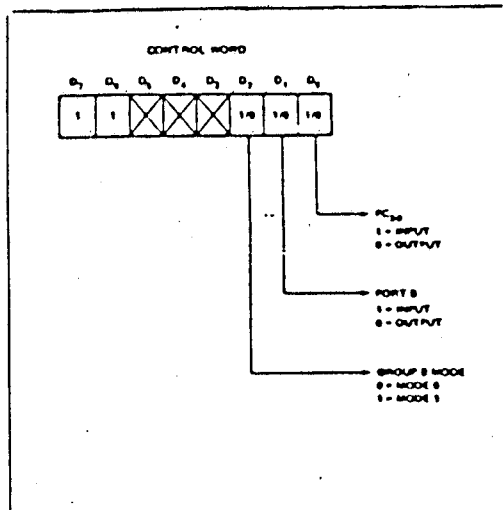


Figure 13. MODE Control Word

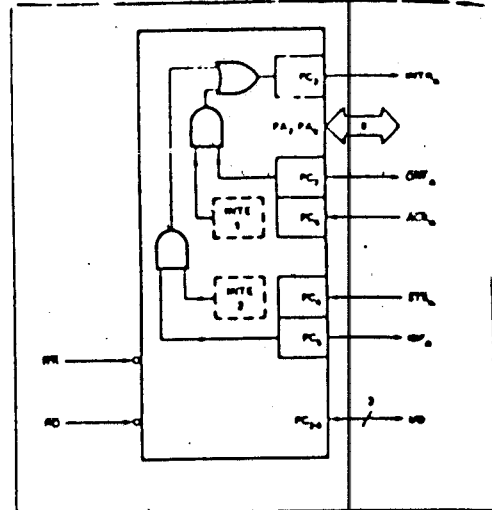


Figure 14. MODE 2

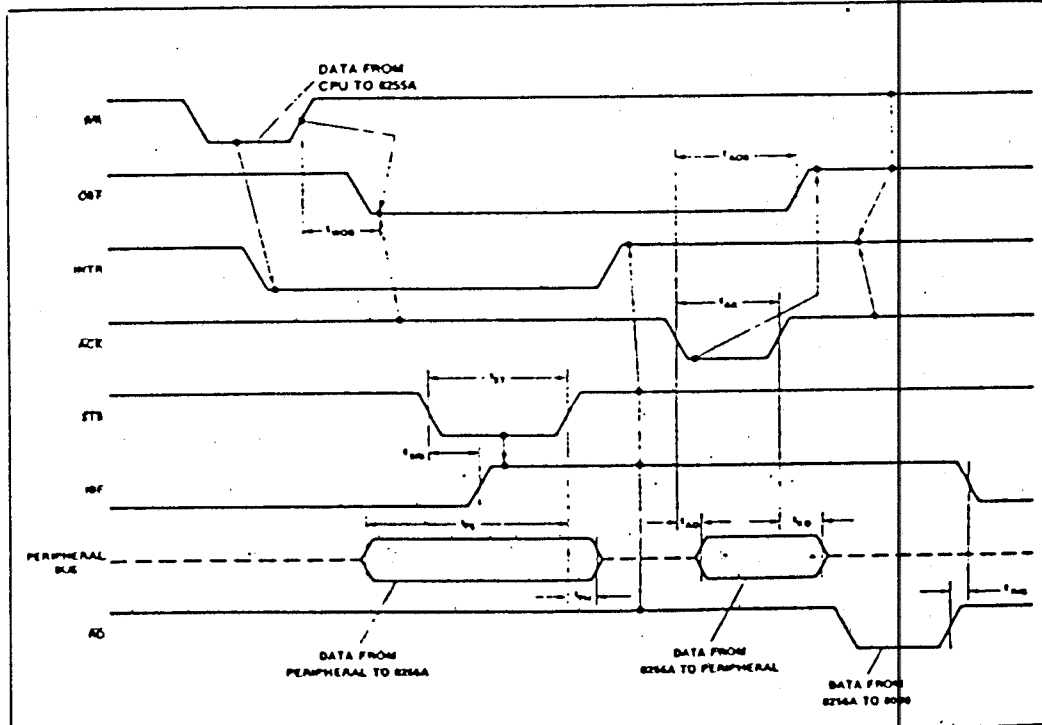


Figure 15. MODE 2 (Bidirectional)

NOTE: Any sequence where WR occurs before ACK and STB occurs before RD is permissible.  
(INTR = 1BF • MASK • STB • RD • OBF • MASK • ACK • WR)

## KURIKULUM VITAE



MOKHAMMAD SOLEHUDDIN adalah putra ke lima dari tujuh bersaudara, dari putra bapak H. Abdul Qodir dengan ibu Kasyiatun, dilahirkan di Sidoarjo pada tanggal 20 April 1966.

Pendidikan formal yang telah ditempuhnya adalah :

1. SD Negeri Tanjungsari Sepanjang, pada tahun 1972-1978.
2. SMP Negeri Taman Sidoarjo, pada tahun 1978-1982.
3. SMA Negeri Krian Sidoarjo, pada tahun 1982-1985.
4. Perguruan Tinggi ITS Surabaya Jurusan Teknik Elektro pada tahun 1984 - sekarang.

Pada bulan Oktober 1992 mengikuti seminar Tugas Akhir di Jurusan Teknik Elektro bidang studi Teknik Sistem Pengaturan sebagai salah satu syarat untuk mendapat gelar sarjana teknik elektro.